

# Cours d'analyse numérique

Laurent Seppecher & Grégory Vial

École Centrale de Lyon

*Année 2022-2023 – Semestre 5*

## Informations générales

- ▶ Monitorat ([romain.meaux@ecl21.ec-lyon.fr](mailto:romain.meaux@ecl21.ec-lyon.fr))

## Informations générales

- ▶ Monitorat ([romain.meaux@ecl21.ec-lyon.fr](mailto:romain.meaux@ecl21.ec-lyon.fr))
- ▶ Cours : pré-requis à regarder avant.

## Informations générales

- ▶ Monitorat ([romain.meaux@ecl21.ec-lyon.fr](mailto:romain.meaux@ecl21.ec-lyon.fr))
- ▶ Cours : pré-requis à regarder avant.
- ▶ TD : à préparer ! Utilisation des ordinateurs portables (Matlab).



## Informations générales

- ▶ Monitorat ([romain.meaux@ecl21.ec-lyon.fr](mailto:romain.meaux@ecl21.ec-lyon.fr))
- ▶ Cours : pré-requis à regarder avant.
- ▶ TD : à préparer ! Utilisation des ordinateurs portables (Matlab).
- ▶ Un tutoriel Matlab succinct est disponible (et à apprendre par cœur)

## Informations générales

- ▶ Monitorat ([romain.meaux@ecl21.ec-lyon.fr](mailto:romain.meaux@ecl21.ec-lyon.fr))
- ▶ Cours : pré-requis à regarder avant.
- ▶ TD : à préparer ! Utilisation des ordinateurs portables (Matlab).
- ▶ Un tutoriel Matlab succinct est disponible (et à apprendre par cœur)
- ▶ Contrôle des connaissances :

## Informations générales

- ▶ Monitorat (romain.meaux@ecl21.ec-lyon.fr)
- ▶ Cours : pré-requis à regarder avant.
- ▶ TD : à préparer ! Utilisation des ordinateurs portables (Matlab).
- ▶ Un tutoriel Matlab succinct est disponible (et à apprendre par cœur)
- ▶ Contrôle des connaissances :
  - ▶ Savoir-faire 25% : mini-test (1H lors du TD4) **à confirmer**  
*Autorisés : documents cours/TD, programmes matlab.*
  - ▶ Savoir 75% : examen terminal (1H30).  
*Autorisé : un A4 recto-verso manuscrit.*

---

# Introduction

---

# Plan du cours

- ▶ **Cours 1.** Systèmes linéaires et calcul de valeurs propres
- ▶ **Cours 2.** Interpolation et intégration numérique
- ▶ **Cours 3.** Optimisation numérique
- ▶ **Cours 4.** Approximation numérique des équations différentielles
- ▶ **Cours 5.** Discrétisation des EDP : l'équation de Laplace
- ▶ **Cours 6.** Discrétisation des EDP : l'équation de transport

## Un conseil



## Un conseil



« On ne peut pas faire de physique sans un bon niveau en mathématiques. Mais c'est vrai quelle que soit la science. Je vais même être caricatural : si vous voulez trouver du travail facilement, faites des maths. »

---

# COURS 1

## Systemes linéaires Calcul de valeurs propres

---



# Analyse numérique matricielle

## Le modèle de Léontiev en comptabilité nationale (version production)



- ▶  $d$  branches :  $B_i$  produit  $P_i$ .
- ▶ 1 bien  $P_j$  nécessite  $a_{ij}$  biens  $P_i$ ,
- ▶  $B_i$  produit une quantité  $q_i$ .

# Analyse numérique matricielle

## Le modèle de Léontief en comptabilité nationale (version production)



- ▶  $d$  branches :  $B_i$  produit  $P_i$ .
- ▶ 1 bien  $P_j$  nécessite  $a_{ij}$  biens  $P_i$ ,
- ▶  $B_i$  produit une quantité  $q_i$ .

Bilan pour la branche  $B_i$  :

$$q_i - \sum_{j=1}^d a_{ij} q_j = (Mq)_i \quad \text{avec} \quad M = I - A.$$

# Analyse numérique matricielle

## Le modèle de Léontiev en comptabilité nationale (version production)



- ▶  $d$  branches :  $B_i$  produit  $P_i$ .
- ▶ 1 bien  $P_j$  nécessite  $a_{ij}$  biens  $P_i$ ,
- ▶  $B_i$  produit une quantité  $q_i$ .

Bilan pour la branche  $B_i$  :

$$q_i - \sum_{j=1}^d a_{ij} q_j = (Mq)_i \quad \text{avec} \quad M = I - A.$$

Équilibre offre-demande :

$$Mq = \delta.$$

# Analyse numérique matricielle

## Le modèle de Léontiev en comptabilité nationale (version production)



- ▶  $d$  branches :  $B_i$  produit  $P_i$ .
- ▶ 1 bien  $P_j$  nécessite  $a_{ij}$  biens  $P_i$ ,
- ▶  $B_i$  produit une quantité  $q_i$ .

Bilan pour la branche  $B_i$  :

$$q_i - \sum_{j=1}^d a_{ij} q_j = (Mq)_i \quad \text{avec} \quad M = I - A.$$

Équilibre offre-demande :

$$Mq = \delta.$$

**Question** : quelle influence de la demande sur les quantités produites ?

⇒ système linéaire  $Mq = \delta$ .

# Analyse numérique matricielle

## Le modèle de Léontiev en comptabilité nationale (version bénéfice)



- ▶  $d$  branches :  $B_i$  produit  $P_i$ .
- ▶ 1 bien  $P_i$  nécessite
  - ▶  $a_{ji}$  biens  $P_j$ ,
  - ▶  $\ell_i$  travailleurs au salaire  $w$ .
- ▶  $B_i$  vend au prix  $\pi_i$ .
- ▶ salaire fonction linéaire des prix :  
$$w = \sum c_j \pi_j.$$

# Analyse numérique matricielle

## Le modèle de Léontiev en comptabilité nationale (version bénéfice)



- ▶  $d$  branches :  $B_i$  produit  $P_i$ .
- ▶ 1 bien  $P_i$  nécessite
  - ▶  $a_{ji}$  biens  $P_j$ ,
  - ▶  $\ell_i$  travailleurs au salaire  $w$ .
- ▶  $B_i$  vend au prix  $\pi_i$ .
- ▶ salaire fonction linéaire des prix :  
 $w = \sum c_j \pi_j$ .

Coût de production de la branche  $B_i$  :

$$\sum_{j=1}^d a_{ji} \pi_j + \ell_i w = \sum_{j=1}^d (a_{ji} + \ell_i c_j) \pi_j = (N\pi)_i \quad \text{avec} \quad N = A^T + \ell c^T.$$

# Analyse numérique matricielle

## Le modèle de Léontiev en comptabilité nationale (version bénéfice)



- ▶  $d$  branches :  $B_i$  produit  $P_i$ .
- ▶ 1 bien  $P_i$  nécessite
  - ▶  $a_{ji}$  biens  $P_j$ ,
  - ▶  $\ell_i$  travailleurs au salaire  $w$ .
- ▶  $B_i$  vend au prix  $\pi_i$ .
- ▶ salaire fonction linéaire des prix :  
 $w = \sum c_j \pi_j$ .

Coût de production de la branche  $B_i$  :

$$\sum_{j=1}^d a_{ji} \pi_j + \ell_i w = \sum_{j=1}^d (a_{ji} + \ell_i c_j) \pi_j = (N\pi)_i \quad \text{avec} \quad N = A^T + \ell c^T.$$

Profit relatif de la branche  $B_i$  :  $\tau_i = \frac{\pi_i - (N\pi)_i}{(N\pi)_i}$ .

# Analyse numérique matricielle

## Le modèle de Léontiev en comptabilité nationale (version bénéfice)



- ▶  $d$  branches :  $B_i$  produit  $P_j$ .
- ▶ 1 bien  $P_i$  nécessite
  - ▶  $a_{ji}$  biens  $P_j$ ,
  - ▶  $\ell_i$  travailleurs au salaire  $w$ .
- ▶  $B_i$  vend au prix  $\pi_i$ .
- ▶ salaire fonction linéaire des prix :  
 $w = \sum c_j \pi_j$ .

Coût de production de la branche  $B_i$  :

$$\sum_{j=1}^d a_{ji} \pi_j + \ell_i w = \sum_{j=1}^d (a_{ji} + \ell_i c_j) \pi_j = (N\pi)_i \quad \text{avec} \quad N = A^T + \ell c^T.$$

Profit relatif de la branche  $B_i$  :  $\tau_i = \frac{\pi_i - (N\pi)_i}{(N\pi)_i}$ .

**Question** : profit équilibré parmi les branches ?



# Analyse numérique matricielle

## Le modèle de Léontiev en comptabilité nationale (version bénéfice)



- ▶  $d$  branches :  $B_i$  produit  $P_j$ .
- ▶ 1 bien  $P_i$  nécessite
  - ▶  $a_{ji}$  biens  $P_j$ ,
  - ▶  $\ell_i$  travailleurs au salaire  $w$ .
- ▶  $B_i$  vend au prix  $\pi_i$ .
- ▶ salaire fonction linéaire des prix :  
 $w = \sum c_j \pi_j$ .

Coût de production de la branche  $B_i$  :

$$\sum_{j=1}^d a_{ji} \pi_j + \ell_i w = \sum_{j=1}^d (a_{ji} + \ell_i c_j) \pi_j = (N\pi)_i \quad \text{avec} \quad N = A^T + \ell c^T.$$

Profit relatif de la branche  $B_i$  :  $\tau_i = \frac{\pi_i - (N\pi)_i}{(N\pi)_i}$ .

**Question** : profit équilibré parmi les branches ?

$$\Rightarrow \text{Problème aux valeurs propres } N\pi = \frac{1}{1 + \tau} \pi$$

# Analyse numérique matricielle

## Résolution de systèmes linéaires

# Analyse numérique matricielle

## Résolution de systèmes linéaires


- ▶ **En théorie...** Soit  $A$  est inversible.  $\exists !x$  t.q.  $Ax = b$ . On a  $x = A^{-1}b$ .

# Analyse numérique matricielle

## Résolution de systèmes linéaires

▶ **En théorie...** Soit  $A$  est inversible.  $\exists!x$  t.q.  $Ax = b$ . On a  $x = A^{-1}b$ .

▶ **En pratique...**

▶ Soit  $H \in \mathbb{R}^{d \times d}$  t.q.  $H_{ij} = \frac{1}{i+j-1}$ .  [*hilbert.m*]


Rq.  $H$  est inversible et  $H^{-1} \in \mathbb{Z}^{d \times d}$  (*formule explicite*).

# Analyse numérique matricielle

## Résolution de systèmes linéaires

▶ **En théorie...** Soit  $A$  est inversible.  $\exists!x$  t.q.  $Ax = b$ . On a  $x = A^{-1}b$ .

▶ **En pratique...**

▶ Soit  $H \in \mathbb{R}^{d \times d}$  t.q.  $H_{ij} = \frac{1}{i+j-1}$ .  [*hilbert.m*]

Rq.  $H$  est inversible et  $H^{-1} \in \mathbb{Z}^{d \times d}$  (*formule explicite*).


$\Rightarrow$  **comment expliquer le phénomène ?**

# Analyse numérique matricielle

## Résolution de systèmes linéaires

▶ **En théorie...** Soit  $A$  est inversible.  $\exists!x$  t.q.  $Ax = b$ . On a  $x = A^{-1}b$ .

▶ **En pratique...**

▶ Soit  $H \in \mathbb{R}^{d \times d}$  t.q.  $H_{ij} = \frac{1}{i+j-1}$ .  [hilbert.m]

Rq.  $H$  est inversible et  $H^{-1} \in \mathbb{Z}^{d \times d}$  (formule explicite).

⇒ **comment expliquer le phénomène ?**

▶ Formules de Cramer :


$$x_i = \frac{\det(A_i)}{\det(A)}, \quad \text{avec } A_i = (C_1 | \dots | C_{i-1} | b | C_{i+1} | \dots | C_d).$$

# Analyse numérique matricielle

## Résolution de systèmes linéaires

▶ **En théorie...** Soit  $A$  est inversible.  $\exists ! x$  t.q.  $Ax = b$ . On a  $x = A^{-1}b$ .

▶ **En pratique...**

▶ Soit  $H \in \mathbb{R}^{d \times d}$  t.q.  $H_{ij} = \frac{1}{i+j-1}$ .  [hilbert.m]

Rq.  $H$  est inversible et  $H^{-1} \in \mathbb{Z}^{d \times d}$  (formule explicite).

⇒ **comment expliquer le phénomène ?**

▶ Formules de Cramer :

$$x_i = \frac{\det(A_i)}{\det(A)}, \quad \text{avec } A_i = (C_1 | \dots | C_{i-1} | b | C_{i+1} | \dots | C_d).$$


Coût si les  $\det$  sont calculés par dvpt  $p/r$  lignes :  $\simeq (d+1)!$ .

# Analyse numérique matricielle

## Résolution de systèmes linéaires

▶ **En théorie...** Soit  $A$  est inversible.  $\exists !x$  t.q.  $Ax = b$ . On a  $x = A^{-1}b$ .

▶ **En pratique...**

▶ Soit  $H \in \mathbb{R}^{d \times d}$  t.q.  $H_{ij} = \frac{1}{i+j-1}$ .  [hilbert.m]

Rq.  $H$  est inversible et  $H^{-1} \in \mathbb{Z}^{d \times d}$  (formule explicite).

⇒ **comment expliquer le phénomène ?**

▶ Formules de Cramer :

$$x_i = \frac{\det(A_i)}{\det(A)}, \quad \text{avec } A_i = (C_1 | \dots | C_{i-1} | b | C_{i+1} | \dots | C_d).$$

Coût si les  $\det$  sont calculés par dvpt  $p/r$  lignes :  $\simeq (d+1)!$ .

⇒ **quels algorithmes ? quelles performances ?**



# Analyse numérique matricielle

## Conditionnement des systèmes linéaires

Question : comment quantifier la propagation des erreurs ?

Question : comment quantifier la propagation des erreurs ?

**Proposition.** Soient  $A \in \mathbb{R}^{d \times d}$  inversible,  $b, \delta b \in \mathbb{R}^d$ .

On note  $x \in \mathbb{R}^d$  et  $x + \delta x \in \mathbb{R}^d$  les solutions de

$$Ax = b, \quad A(x + \delta x) = b + \delta b.$$

Alors

$$\frac{\|\delta x\|}{\|x\|} \leq \text{cond}(A) \frac{\|\delta b\|}{\|b\|},$$

avec  $\text{cond}(A) = \|A\| \times \|A^{-1}\|$ .

Question : comment quantifier la propagation des erreurs ?

**Proposition.** Soient  $A \in \mathbb{R}^{d \times d}$  inversible,  $b, \delta b \in \mathbb{R}^d$ .

On note  $x \in \mathbb{R}^d$  et  $x + \delta x \in \mathbb{R}^d$  les solutions de

$$Ax = b, \quad A(x + \delta x) = b + \delta b.$$

Alors

$$\frac{\|\delta x\|}{\|x\|} \leq \text{cond}(A) \frac{\|\delta b\|}{\|b\|},$$

avec  $\text{cond}(A) = \|A\| \times \|A^{-1}\|$ .

- ▶  $\|A\|$  est la norme subordonnée à  $\|x\|$ .
- ▶  $\text{cond}(A)$  mesure la propagation des erreurs relatives.
- ▶ Si  $\|\cdot\| = \|\cdot\|_p$ , on note  $\text{cond}_p$ .

Question : comment quantifier la propagation des erreurs ?

**Proposition.** Soient  $A \in \mathbb{R}^{d \times d}$  inversible,  $b, \delta b \in \mathbb{R}^d$ .

On note  $x \in \mathbb{R}^d$  et  $x + \delta x \in \mathbb{R}^d$  les solutions de

$$Ax = b, \quad A(x + \delta x) = b + \delta b.$$

Alors

$$\frac{\|\delta x\|}{\|x\|} \leq \text{cond}(A) \frac{\|\delta b\|}{\|b\|},$$

avec  $\text{cond}(A) = \|A\| \times \|A^{-1}\|$ .

Preuve. Par différence  $A(\delta x) = \delta b$  d'où  $\|\delta x\| \leq \|A^{-1}\| \times \|\delta b\|$ .

Par ailleurs  $b = Ax$  d'où  $\|b\| \leq \|A\| \times \|x\|$ , soit  $\frac{1}{\|x\|} \leq \frac{\|A\|}{\|b\|}$ .

D'où le résultat par produit. □

# Analyse numérique matricielle

## Conditionnement des systèmes linéaires

**Proposition.** Soit  $A \in \mathbb{R}^{d \times d}$  inversible.

▶  $\forall \|\cdot\|$ ,  $\text{cond}(A) \geq 1$ .

▶ Si  $A$  est symétrique,

$$\text{cond}_2(A) = \frac{\lambda_{\max}(A)}{\lambda_{\min}(A)}.$$

▶ Si  $A$  est orthogonale,  $\text{cond}_2(A) = 1$ .

# Analyse numérique matricielle

## Conditionnement des systèmes linéaires

**Proposition.** Soit  $A \in \mathbb{R}^{d \times d}$  inversible.

▶  $\forall \|\cdot\|$ ,  $\text{cond}(A) \geq 1$ .

▶ Si  $A$  est symétrique,

$$\text{cond}_2(A) = \frac{\lambda_{\max}(A)}{\lambda_{\min}(A)}.$$

▶ Si  $A$  est orthogonale,  $\text{cond}_2(A) = 1$ .

Rmq. Si  $\text{cond}(A)$  est « grand », on dit que  $A$  est *mal conditionnée*.

# Analyse numérique matricielle

## Conditionnement des systèmes linéaires

**Proposition.** Soit  $A \in \mathbb{R}^{d \times d}$  inversible.

▶  $\forall \|\cdot\|$ ,  $\text{cond}(A) \geq 1$ .

▶ Si  $A$  est symétrique,

$$\text{cond}_2(A) = \frac{\lambda_{\max}(A)}{\lambda_{\min}(A)}.$$

▶ Si  $A$  est orthogonale,  $\text{cond}_2(A) = 1$ .

Rmq. Si  $\text{cond}(A)$  est « grand », on dit que  $A$  est *mal conditionnée*.

$d$	3	5	10	20
$\text{cond}_2(H)$	524	$4.8 \times 10^5$	$1.6 \times 10^{13}$	$2.5 \times 10^{18}$

Table – Conditionnement de la matrice de Hilbert.

# Analyse numérique matricielle

## L'algorithme du pivot de Gauss

- ▶ **Principe.**
  - ▶ éliminer les inconnues successivement.
  - ▶ on aboutit à un système triangulaire.



# Analyse numérique matricielle

## L'algorithme du pivot de Gauss

- ▶ **Principe.**
  - ▶ éliminer les inconnues successivement.
  - ▶ on aboutit à un système triangulaire.
- ▶ **Description.**

# Analyse numérique matricielle

## L'algorithme du pivot de Gauss

- ▶ **Principe.**
  - ▶ éliminer les inconnues successivement.
  - ▶ on aboutit à un système triangulaire.

- ▶ **Description.**

### Initialisation

$$\left| \begin{array}{cccc} a_{1,1} & a_{1,2} & \dots & a_{1,d} \\ a_{2,1} & a_{2,2} & \dots & a_{2,d} \\ \vdots & & & \\ a_{d,1} & a_{d,2} & \dots & a_{d,d} \end{array} \right| \quad \left| \begin{array}{c} b_1 \\ b_2 \\ \vdots \\ b_d \end{array} \right|$$

# Analyse numérique matricielle

## L'algorithme du pivot de Gauss

- ▶ **Principe.**
  - ▶ éliminer les inconnues successivement.
  - ▶ on aboutit à un système triangulaire.

- ▶ **Description.**

### Initialisation

$$\left| \begin{array}{cccc} a_{1,1}^{[0]} & a_{1,2}^{[0]} & \dots & a_{1,d}^{[0]} \\ a_{2,1}^{[0]} & a_{2,2}^{[0]} & \dots & a_{2,d}^{[0]} \\ \vdots & & & \\ a_{d,1}^{[0]} & a_{d,2}^{[0]} & \dots & a_{d,d}^{[0]} \end{array} \right| \quad \left| \begin{array}{c} b_1^{[0]} \\ b_2^{[0]} \\ \vdots \\ b_d^{[0]} \end{array} \right|$$

# Analyse numérique matricielle

## L'algorithme du pivot de Gauss

- ▶ **Principe.**
  - ▶ éliminer les inconnues successivement.
  - ▶ on aboutit à un système triangulaire.
- ▶ **Description.**

Étape 1.1 : si  $a_{1,1}^{[0]} = 0$ , on permute  $L_1 \leftrightarrow L_k$  t.q.  $a_{k,1}^{[0]} \neq 0$ .

$$\left| \begin{array}{cccc|c} a_{1,1}^{[0]} & a_{1,2}^{[0]} & \dots & a_{1,d}^{[0]} & b_1^{[0]} \\ a_{2,1}^{[0]} & a_{2,2}^{[0]} & \dots & a_{2,d}^{[0]} & b_2^{[0]} \\ \vdots & & & & \vdots \\ a_{d,1}^{[0]} & a_{d,2}^{[0]} & \dots & a_{d,d}^{[0]} & b_d^{[0]} \end{array} \right|$$

# Analyse numérique matricielle

## L'algorithme du pivot de Gauss

- ▶ **Principe.**
  - ▶ éliminer les inconnues successivement.
  - ▶ on aboutit à un système triangulaire.
- ▶ **Description.**

Étape 1.2 :  $\tilde{a}_{1,1}^{[0]} \neq 0$  ; on effectue  $L_k \leftarrow L_k - r_k L_1$  avec  $r_k = \frac{\tilde{a}_{k,1}^{[0]}}{\tilde{a}_{1,1}^{[0]}}$ .

$$\left| \begin{array}{cccc|c} \tilde{a}_{1,1}^{[0]} & \tilde{a}_{1,2}^{[0]} & \cdots & \tilde{a}_{1,d}^{[0]} & \tilde{b}_1^{[0]} \\ \tilde{a}_{2,1}^{[0]} & \tilde{a}_{2,2}^{[0]} & \cdots & \tilde{a}_{2,d}^{[0]} & \tilde{b}_2^{[0]} \\ \vdots & & & & \vdots \\ \tilde{a}_{d,1}^{[0]} & \tilde{a}_{d,2}^{[0]} & \cdots & \tilde{a}_{d,d}^{[0]} & \tilde{b}_d^{[0]} \end{array} \right|$$

# Analyse numérique matricielle

## L'algorithme du pivot de Gauss

- ▶ **Principe.**
  - ▶ éliminer les inconnues successivement.
  - ▶ on aboutit à un système triangulaire.
- ▶ **Description.**

Étape 1.2 :  $\tilde{a}_{1,1}^{[0]} \neq 0$  ; on effectue  $L_k \leftarrow L_k - r_k L_1$  avec  $r_k = \frac{\tilde{a}_{k,1}^{[0]}}{\tilde{a}_{1,1}^{[0]}}$ .

$$\left| \begin{array}{cccc|c} \tilde{a}_{1,1}^{[0]} & \tilde{a}_{1,2}^{[0]} & \dots & \tilde{a}_{1,d}^{[0]} & \tilde{b}_1^{[0]} \\ 0 & a_{2,2}^{[1]} & \dots & a_{2,d}^{[1]} & b_2^{[1]} \\ \vdots & & & & \vdots \\ 0 & a_{d,2}^{[1]} & \dots & a_{d,d}^{[1]} & b_d^{[1]} \end{array} \right|$$

# Analyse numérique matricielle

## L'algorithme du pivot de Gauss

- ▶ **Principe.**
  - ▶ éliminer les inconnues successivement.
  - ▶ on aboutit à un système triangulaire.
- ▶ **Description.**

Étape 2 : On recommence avec la sous-matrice !

$$\left| \begin{array}{cccc} \tilde{a}_{1,1}^{[0]} & \tilde{a}_{1,2}^{[0]} & \dots & \tilde{a}_{1,d}^{[0]} \\ 0 & a_{2,2}^{[1]} & \dots & a_{2,d}^{[1]} \\ 0 & \vdots & & \\ \vdots & & & \\ 0 & a_{d,2}^{[1]} & \dots & a_{d,d}^{[1]} \end{array} \right| \quad \left| \begin{array}{c} \tilde{b}_1^{[0]} \\ b_2^{[1]} \\ \vdots \\ b_d^{[1]} \end{array} \right|$$

# Analyse numérique matricielle

## L'algorithme du pivot de Gauss

- ▶ **Principe.**
  - ▶ éliminer les inconnues successivement.
  - ▶ on aboutit à un système triangulaire.
- ▶ **Synthèse.**
  - ▶ Après  $d - 1$  étapes, on est ramené à  $Uy = \bar{c}$  avec  $U$  tri. sup.
  - ▶  $Uy = \bar{c}$  est résolu par « remontée ».



# Analyse numérique matricielle

## L'algorithme du pivot de Gauss

- ▶ **Principe.**
  - ▶ éliminer les inconnues successivement.
  - ▶ on aboutit à un système triangulaire.
- ▶ **Synthèse.**
  - ▶ Après  $d - 1$  étapes, on est ramené à  $Uy = \bar{c}$  avec  $U$  tri. sup.
  - ▶  $Uy = \bar{c}$  est résolu par « remontée ».
- ▶ **Coût de calcul.**
  - ▶ L'étape  $k$  affecte  $(d - k)^2$  coefficients de la matrice.
  - ▶ Coût total  $\simeq \sum_{k=1}^{d-1} (d - k)^2 = \mathcal{O}(d^3)$ .
  - ▶ *Les opérations sur le second membre et la remontée sont négligeables.*









# Analyse numérique matricielle

## La décomposition $LU$

### ► Interprétation matricielle des opérations élémentaires

► Permutation  $L_i \leftrightarrow L_k \iff A \mapsto PA$

► Transvection  $L_k \leftarrow L_k - rL_i \iff A \mapsto TA$  (pour  $k > i$ )

### ► Écriture matricielle de l'algorithme de Gauss

$$A = N_1 \times N_2 \times \cdots \times N_q \times U \quad \text{avec les } N_p \text{ de type } P \text{ ou } T!$$

► Si aucune permutation, les  $N_p$  sont tri. inf.

# Analyse numérique matricielle

## La décomposition $LU$

### ► Interprétation matricielle des opérations élémentaires

► Permutation  $L_i \leftrightarrow L_k \iff A \mapsto PA$

► Transvection  $L_k \leftarrow L_k - rL_i \iff A \mapsto TA$  (pour  $k > i$ )

### ► Écriture matricielle de l'algorithme de Gauss

$$A = N_1 \times N_2 \times \cdots \times N_q \times U \quad \text{avec les } N_p \text{ de type } P \text{ ou } T!$$

► Si aucune permutation, les  $N_p$  sont tri. inf.

► Dans ce cas,

$$A = LU \quad \text{avec } L \text{ tri. inf. et } U \text{ tri. sup.}$$

# Analyse numérique matricielle

## La décomposition $LU$

### ► Interprétation matricielle des opérations élémentaires

► Permutation  $L_i \leftrightarrow L_k \iff A \mapsto PA$

► Transvection  $L_k \leftarrow L_k - rL_i \iff A \mapsto TA$  (pour  $k > i$ )

### ► Écriture matricielle de l'algorithme de Gauss

$$A = N_1 \times N_2 \times \cdots \times N_q \times U \quad \text{avec les } N_p \text{ de type } P \text{ ou } T!$$

► Si aucune permutation, les  $N_p$  sont tri. inf.

► Dans ce cas,

$$A = LU \quad \text{avec } L \text{ tri. inf. et } U \text{ tri. sup.}$$

► Comment caractériser ce cas ?



# Analyse numérique matricielle

## La décomposition $LU$

**Définition.** Soit  $A \in \mathbb{R}^{d \times d}$ . On appelle **mineur fondamental** de taille  $k \leq d$  le déterminant

$$\Delta_k = \det \left[ (A_{ij})_{1 \leq i, j \leq k} \right].$$

**Théorème.** Soit  $A \in \mathbb{R}^{d \times d}$  telle que

$$\forall k \leq d, \quad \Delta_k \neq 0.$$

Alors  $\exists!(L, U)$  t.q.

- ▶  $L$  tri. inf. avec diagonale unité.
- ▶  $U$  tri. sup.
- ▶  $A = LU$ .

# Analyse numérique matricielle

## La décomposition $LU$

Intérêt algorithmique de la décomposition  $LU$ .

# Analyse numérique matricielle

## La décomposition $LU$

Intérêt algorithmique de la décomposition  $LU$ .

- ▶ On doit résoudre  $Ax_p = b_p$  pour de nombreux  $p = 1, \dots, P$ .
  - ▶ 1 fois :  $A = LU$ .
  - ▶  $P$  fois :  $Ly_p = b_p$  et  $Ux_p = y_p$ .
  - ▶ Coût total :  $\mathcal{O}(d^3 + Pd^2)$ .

# Analyse numérique matricielle

## La décomposition $LU$

### Intérêt algorithmique de la décomposition $LU$ .

- ▶ On doit résoudre  $Ax_p = b_p$  pour de nombreux  $p = 1, \dots, P$ .
  - ▶ 1 fois :  $A = LU$ .
  - ▶  $P$  fois :  $Ly_p = b_p$  et  $Ux_p = y_p$ .
  - ▶ Coût total :  $\mathcal{O}(d^3 + Pd^2)$ .
- ▶ Mieux que  $P$  fois Gauss.

# Analyse numérique matricielle

## La décomposition $LU$

### Intérêt algorithmique de la décomposition $LU$ .

- ▶ On doit résoudre  $Ax_p = b_p$  pour de nombreux  $p = 1, \dots, P$ .
  - ▶ 1 fois :  $A = LU$ .
  - ▶  $P$  fois :  $Ly_p = b_p$  et  $Ux_p = y_p$ .
  - ▶ Coût total :  $\mathcal{O}(d^3 + Pd^2)$ .
- ▶ Mieux que  $P$  fois Gauss.
- ▶ Vraiment utile seulement lorsque les  $b_p$  sont connus seulement successivement. . .

# Analyse numérique matricielle

## La décomposition $LU$

### Intérêt algorithmique de la décomposition $LU$ .

- ▶ On doit résoudre  $Ax_p = b_p$  pour de nombreux  $p = 1, \dots, P$ .
  - ▶ 1 fois :  $A = LU$ .
  - ▶  $P$  fois :  $Ly_p = b_p$  et  $Ux_p = y_p$ .
  - ▶ Coût total :  $\mathcal{O}(d^3 + Pd^2)$ .
- ▶ Mieux que  $P$  fois Gauss.
- ▶ Vraiment utile seulement lorsque les  $b_p$  sont connus seulement successivement. . .

### Extensions, optimisations

- ▶ Si  $A$  est symétrique, définie positive,  $A = BB^T$  avec  $B$  tri.inf.
- ▶ Si  $A$  a une structure particulière, les calculs peuvent être simplifiés.

# Analyse numérique matricielle

## La décomposition $LU$

### Intérêt algorithmique de la décomposition $LU$ .

- ▶ On doit résoudre  $Ax_p = b_p$  pour de nombreux  $p = 1, \dots, P$ .
  - ▶ 1 fois :  $A = LU$ .
  - ▶  $P$  fois :  $Ly_p = b_p$  et  $Ux_p = y_p$ .
  - ▶ Coût total :  $\mathcal{O}(d^3 + Pd^2)$ .
- ▶ Mieux que  $P$  fois Gauss.
- ▶ Vraiment utile seulement lorsque les  $b_p$  sont connus seulement successivement. . .

### Extensions, optimisations

- ▶ Si  $A$  est symétrique, définie positive,  $A = BB^T$  avec  $B$  tri.inf.
- ▶ Si  $A$  a une structure particulière, les calculs peuvent être simplifiés.



Méthode utilisée par matlab ? Voir `help \`





# Analyse numérique matricielle

## La décomposition $LU$

### ► Un système linéaire...

$$\begin{cases} \alpha x_1 + x_2 + \dots + x_d = 1 \\ x_1 + \alpha x_2 = 1 \\ x_1 + \alpha x_3 = 1 \\ \vdots \\ x_1 + \alpha x_d = 1 \end{cases}$$

$$\begin{cases} \alpha y_d + y_{d-1} + \dots + y_1 = 1 \\ y_d + \alpha y_{d-1} = 1 \\ y_d + \alpha y_{d-2} = 1 \\ \vdots \\ y_d + \alpha y_1 = 1 \end{cases}$$

# Analyse numérique matricielle

## La décomposition $LU$

### ► Un système linéaire...

$$\begin{cases} \alpha x_1 + x_2 + \dots + x_d = 1 \\ x_1 + \alpha x_2 = 1 \\ x_1 + \alpha x_3 = 1 \\ \vdots \quad \dots \quad \vdots \\ x_1 + \alpha x_d = 1 \end{cases}$$

$$\begin{cases} y_1 + y_2 + \dots + \alpha y_d = 1 \\ \alpha y_{d-1} + y_d = 1 \\ \alpha y_{d-2} + y_d = 1 \\ \vdots \quad \dots \quad \vdots \\ \alpha y_1 + y_d = 1 \end{cases}$$

► Un système linéaire...

$$\begin{cases} \alpha x_1 + x_2 + \dots + x_d = 1 \\ x_1 + \alpha x_2 = 1 \\ x_1 + \alpha x_3 = 1 \\ \vdots \\ x_1 + \alpha x_d = 1 \end{cases}$$

$$\begin{cases} \alpha y_1 + y_d = 1 \\ \vdots \\ \alpha y_{d-2} + y_d = 1 \\ \alpha y_{d-1} + y_d = 1 \\ y_1 + y_2 + \dots + \alpha y_d = 1 \end{cases}$$

# Analyse numérique matricielle

## La décomposition $LU$

### ► Un système linéaire...

$$\begin{cases} \alpha x_1 + x_2 + \dots + x_d = 1 \\ x_1 + \alpha x_2 = 1 \\ x_1 + \alpha x_3 = 1 \\ \vdots \\ x_1 + \alpha x_d = 1 \end{cases}$$

$$\begin{cases} \alpha y_1 + y_d = 1 \\ \vdots \\ \alpha y_{d-2} + y_d = 1 \\ \alpha y_{d-1} + y_d = 1 \\ y_1 + y_2 + \dots + \alpha y_d = 1 \end{cases}$$

### ► ... deux matrices...

$$A_1 = \begin{pmatrix} \alpha & 1 & \dots & 1 \\ 1 & \alpha & & \\ \vdots & & \ddots & \\ 1 & & & \alpha \end{pmatrix}$$

$$A_2 = \begin{pmatrix} \alpha & & & 1 \\ & \alpha & & 1 \\ & & \ddots & 1 \\ 1 & \dots & 1 & \alpha \end{pmatrix}$$

# Analyse numérique matricielle

## La décomposition LU

- ▶ Un système linéaire... ( $\alpha > d$ )

$$\begin{cases} \alpha x_1 + x_2 + \dots + x_d = 1 \\ x_1 + \alpha x_2 = 1 \\ x_1 + \alpha x_3 = 1 \\ \vdots \\ x_1 + \alpha x_d = 1 \end{cases} \quad \begin{cases} \alpha y_1 + y_d = 1 \\ \vdots \\ \alpha y_{d-2} + y_d = 1 \\ \alpha y_{d-1} + y_d = 1 \\ y_1 + y_2 + \dots + \alpha y_d = 1 \end{cases}$$

- ▶ ... deux matrices...

$$A_1 = \begin{pmatrix} \alpha & 1 & \dots & 1 \\ 1 & \alpha & & \\ \vdots & & \ddots & \\ 1 & & & \alpha \end{pmatrix}$$

$$A_2 = \begin{pmatrix} \alpha & & & 1 \\ & \alpha & & 1 \\ & & \ddots & 1 \\ 1 & \dots & 1 & \alpha \end{pmatrix}$$

- ▶ ... deux coûts si on utilise LU!



[LUfleches.m]

# Analyse numérique matricielle

D'autres méthodes de résolution de systèmes linéaires

# Analyse numérique matricielle

D'autres méthodes de résolution de systèmes linéaires

- ▶ **But** : construire une suite  $(x^{(n)})$  qui converge vers  $x$  t.q.  $Ax = b$ .

# Analyse numérique matricielle

## D'autres méthodes de résolution de systèmes linéaires

- ▶ **But** : construire une suite  $(x^{(n)})$  qui converge vers  $x$  t.q.  $Ax = b$ .
- ▶ **Idée** : si  $A = M - N$  avec  $M$  inversible, alors

$$Ax = b \iff x = \underbrace{M^{-1}(Nx + b)}_{\varphi(x)}.$$



# Analyse numérique matricielle

## D'autres méthodes de résolution de systèmes linéaires

- ▶ **But** : construire une suite  $(x^{(n)})$  qui converge vers  $x$  t.q.  $Ax = b$ .
- ▶ **Idée** : si  $A = M - N$  avec  $M$  inversible, alors

$$Ax = b \iff x = \underbrace{M^{-1}(Nx + b)}_{\varphi(x)}.$$

**Problème de point fixe** : soit  $x^{(0)} \in \mathbb{R}^d$ , on définit

$$x^{(n+1)} = \varphi(x^{(n)}).$$

# Analyse numérique matricielle

## D'autres méthodes de résolution de systèmes linéaires

- ▶ **But** : construire une suite  $(x^{(n)})$  qui converge vers  $x$  t.q.  $Ax = b$ .
- ▶ **Idée** : si  $A = M - N$  avec  $M$  inversible, alors

$$Ax = b \iff x = \underbrace{M^{-1}(Nx + b)}_{\varphi(x)}.$$

**Problème de point fixe** : soit  $x^{(0)} \in \mathbb{R}^d$ , on définit

$$x^{(n+1)} = \varphi(x^{(n)}).$$

**Théorème.** La suite  $(x^{(n)})$  converge vers la solution de  $Ax = b$  pour  $b$  quelconque ssi  $\rho(M^{-1}N) < 1$ .

## Analyse numérique matricielle

D'autres méthodes de résolution de systèmes linéaires

- ▶ **But** : construire une suite  $(x^{(n)})$  qui converge vers  $x$  t.q.  $Ax = b$ .
- ▶ **Idée** : si  $A = M - N$  avec  $M$  inversible, alors

$$Ax = b \iff x = \underbrace{M^{-1}(Nx + b)}_{\varphi(x)}.$$

**Problème de point fixe** : soit  $x^{(0)} \in \mathbb{R}^d$ , on définit

$$x^{(n+1)} = \varphi(x^{(n)}).$$

**Théorème.** La suite  $(x^{(n)})$  converge vers la solution de  $Ax = b$  pour  $b$  quelconque ssi  $\rho(M^{-1}N) < 1$ .

Preuve. On pose  $e^{(n)} = x - x^{(n)}$  :  $e^{(n+1)} = M^{-1}N e^{(n)}$  donc

$$e^{(n)} = (M^{-1}N)^n e^{(0)}.$$

Le cas où  $M^{-1}N$  est diagonalisable est clair. □

## Analyse numérique matricielle

D'autres méthodes de résolution de systèmes linéaires

- ▶ **But** : construire une suite  $(x^{(n)})$  qui converge vers  $x$  t.q.  $Ax = b$ .
- ▶ **Idée** : si  $A = M - N$  avec  $M$  inversible, alors

$$Ax = b \iff x = \underbrace{M^{-1}(Nx + b)}_{\varphi(x)}.$$

**Problème de point fixe** : soit  $x^{(0)} \in \mathbb{R}^d$ , on définit

$$x^{(n+1)} = \varphi(x^{(n)}).$$

**Théorème.** La suite  $(x^{(n)})$  converge vers la solution de  $Ax = b$  pour  $b$  quelconque ssi  $\rho(M^{-1}N) < 1$ .

**Remarque.** Si  $\rho(M^{-1}N) < 1$  alors  $\exists \|\cdot\|$  t.q.  $\|M^{-1}N\| < 1$ .

*Rappel.*  $\rho(M^{-1}N) \leq \|M^{-1}N\|$  pour toute norme subordonnée.

## Analyse numérique matricielle

D'autres méthodes de résolution de systèmes linéaires

$$x^{(n+1)} = M^{-1}(Nx^{(n)} + b).$$

**En pratique.**

## Analyse numérique matricielle

D'autres méthodes de résolution de systèmes linéaires

$$x^{(n+1)} = M^{-1}(Nx^{(n)} + b).$$

**En pratique.**

- ▶ Système linéaire  $Mx^{(n+1)} = Nx^{(n)} + b$  à chaque itération.

## Analyse numérique matricielle

D'autres méthodes de résolution de systèmes linéaires

$$x^{(n+1)} = M^{-1}(Nx^{(n)} + b).$$

**En pratique.**

- ▶ Système linéaire  $Mx^{(n+1)} = Nx^{(n)} + b$  à chaque itération.
- ▶  $M$  doit être « facile à inverser ».

## Analyse numérique matricielle

D'autres méthodes de résolution de systèmes linéaires

$$x^{(n+1)} = M^{-1}(Nx^{(n)} + b).$$

**En pratique.**

- ▶ Système linéaire  $Mx^{(n+1)} = Nx^{(n)} + b$  à chaque itération.
- ▶  $M$  doit être « facile à inverser ».
  - ▶ **Méthode de Jacobi**  
 $M =$  diagonale de  $A$  *si non nulle!*



# Analyse numérique matricielle

D'autres méthodes de résolution de systèmes linéaires

$$x^{(n+1)} = M^{-1}(Nx^{(n)} + b).$$

## En pratique.

- ▶ Système linéaire  $Mx^{(n+1)} = Nx^{(n)} + b$  à chaque itération.
- ▶  $M$  doit être « facile à inverser ».
  - ▶ Méthode de Jacobi  
 $M =$  diagonale de  $A$  *si non nulle!*
  - ▶ Méthode de Gauss-Seidel  
 $M =$  partie triangulaire inférieure de  $A$  *si diagonale non nulle!*

# Analyse numérique matricielle

## D'autres méthodes de résolution de systèmes linéaires

$$x^{(n+1)} = M^{-1}(Nx^{(n)} + b).$$

### En pratique.

- ▶ Système linéaire  $Mx^{(n+1)} = Nx^{(n)} + b$  à chaque itération.
- ▶  $M$  doit être « facile à inverser ».
  - ▶ Méthode de Jacobi  
 $M =$  diagonale de  $A$  *si non nulle!*
  - ▶ Méthode de Gauss-Seidel  
 $M =$  partie triangulaire inférieure de  $A$  *si diagonale non nulle!*
- ▶ Si  $\rho(M^{-1}N) < 1$ , convergence en  $\mathcal{O}(\rho(M^{-1}N)^n)$ .

# Analyse numérique matricielle

## Recherche d'éléments propres

**Problématique** : Rechercher quelques  $vp$  de  $A$ , et les  $\vec{vp}$  associés.

**Problématique** : Rechercher quelques  $vp$  de  $A$ , et les  $\vec{vp}$  associés.

► **Constat.** si  $A = \begin{pmatrix} \lambda_1 & 0 \\ 0 & \lambda_2 \end{pmatrix}$  avec  $\lambda_1 > \lambda_2 > 0$ , et  $x^0 = \begin{pmatrix} a \\ b \end{pmatrix}$ ,

**Problématique** : Rechercher quelques  $vp$  de  $A$ , et les  $\vec{vp}$  associés.

► **Constat.** si  $A = \begin{pmatrix} \lambda_1 & 0 \\ 0 & \lambda_2 \end{pmatrix}$  avec  $\lambda_1 > \lambda_2 > 0$ , et  $x^0 = \begin{pmatrix} a \\ b \end{pmatrix}$ ,

$$A^n x^0 \sim a \lambda_1^n \begin{pmatrix} 1 \\ 0 \end{pmatrix}, \quad \text{si } a \neq 0.$$

**Problématique :** Rechercher quelques  $vp$  de  $A$ , et les  $\vec{vp}$  associés.

► **Constat.** si  $A = \begin{pmatrix} \lambda_1 & 0 \\ 0 & \lambda_2 \end{pmatrix}$  avec  $\lambda_1 > \lambda_2 > 0$ , et  $x^0 = \begin{pmatrix} a \\ b \end{pmatrix}$ ,

$$A^n x^0 \sim a \lambda_1^n \begin{pmatrix} 1 \\ 0 \end{pmatrix}, \quad \text{si } a \neq 0.$$

Ainsi,

$$\frac{A^n x^0}{\|A^n x^0\|} \sim e_1 \quad \text{avec} \quad A e_1 = \lambda_1 e_1 !$$

**Problématique :** Rechercher quelques  $vp$  de  $A$ , et les  $\vec{vp}$  associés.

► **Constat.** si  $A = \begin{pmatrix} \lambda_1 & 0 \\ 0 & \lambda_2 \end{pmatrix}$  avec  $\lambda_1 > \lambda_2 > 0$ , et  $x^0 = \begin{pmatrix} a \\ b \end{pmatrix}$ ,

$$A^n x^0 \sim a \lambda_1^n \begin{pmatrix} 1 \\ 0 \end{pmatrix}, \quad \text{si } a \neq 0.$$

Ainsi,

$$\frac{A^n x^0}{\|A^n x^0\|} \sim e_1 \quad \text{avec} \quad A e_1 = \lambda_1 e_1 !$$

► **Algorithme.** Soit  $x^0 \in \mathbb{R}^d$ , on construit

$$\boxed{y^{n+1} = A x^n \quad \text{et} \quad x^{n+1} = \frac{y^{n+1}}{\|y^{n+1}\|} .}$$

# Analyse numérique matricielle

## La méthode de la puissance

**Algorithme.** Soit  $x^0 \in \mathbb{R}^d$ , on construit

$$y^{n+1} = Ax^n \quad \text{et} \quad x^{n+1} = \frac{y^{n+1}}{\|y^{n+1}\|}.$$



# Analyse numérique matricielle

## La méthode de la puissance

**Algorithme.** Soit  $x^0 \in \mathbb{R}^d$ , on construit

$$y^{n+1} = Ax^n \quad \text{et} \quad x^{n+1} = \frac{y^{n+1}}{\|y^{n+1}\|}.$$

**Théorème.** Soit  $A$  de  $vp$  (complexes)  $|\lambda_1| \leq |\lambda_2| \leq \dots \leq |\lambda_{d-1}| < |\lambda_d|$

Pour presque<sup>†</sup> tout  $x^0 \in \mathbb{R}^n$ , la suite  $(Ax^n | x^n)$  converge vers  $\lambda_d$ . De plus, la suite

$$(\tilde{x}^n) := \left( \frac{|\lambda_d|}{\lambda_d} \right)^n x^n$$

converge vers un vecteur propre associé à  $\lambda_d$ .

# Analyse numérique matricielle

## La méthode de la puissance

**Algorithme.** Soit  $x^0 \in \mathbb{R}^d$ , on construit

$$y^{n+1} = Ax^n \quad \text{et} \quad x^{n+1} = \frac{y^{n+1}}{\|y^{n+1}\|}.$$

**Théorème.** Soit  $A$  de  $vp$  (complexes)  $|\lambda_1| \leq |\lambda_2| \leq \dots \leq |\lambda_{d-1}| < |\lambda_d|$

Pour presque<sup>†</sup> tout  $x^0 \in \mathbb{R}^n$ , la suite  $(Ax^n|x^n)$  converge vers  $\lambda_d$ . De plus, la suite

$$(\tilde{x}^n) := \left( \frac{|\lambda_d|}{\lambda_d} \right)^n x^n$$

converge vers un vecteur propre associé à  $\lambda_d$ .

<sup>†</sup> La condition est : la projection de  $x^0$  sur le sous-espace propre associé à  $\lambda_1$  n'est pas 0.

**Attention à l'hypothèse  $|\lambda_{d-1}| < |\lambda_d|$  qui est nécessaire.**



[puissance1.m]

[puissance2.m]

---

# COURS 2

## Intégration numérique

---

# Intégration numérique

Modélisation : calcul d'un temps de parcours



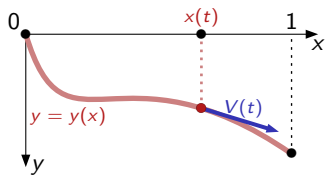
*Deux toboggans... deux vitesses...*



*Quel temps de descente  
pour chaque toboggan ?*

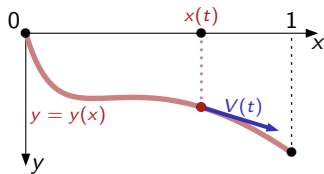
# Intégration numérique

Modélisation : calcul d'un temps de parcours



# Intégration numérique

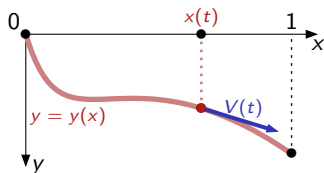
Modélisation : calcul d'un temps de parcours



►  $x \mapsto y(x)$  : forme du toboggan,

## Intégration numérique

Modélisation : calcul d'un temps de parcours

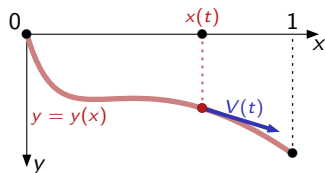


▶  $x \mapsto y(x)$  : forme du toboggan,

▶  $t \mapsto (x(t), y(x(t)))$  : position,

# Intégration numérique

Modélisation : calcul d'un temps de parcours

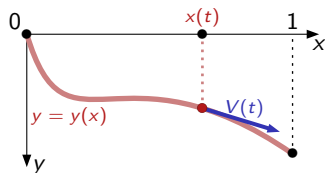


- ▶  $x \mapsto y(x)$  : forme du toboggan,
- ▶  $t \mapsto (x(t), y(x(t)))$  : position,
- ▶  $T$  : temps de descente,



## Intégration numérique

Modélisation : calcul d'un temps de parcours



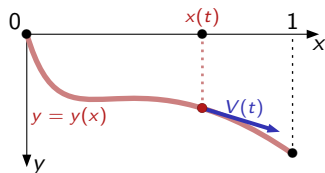
- ▶  $x \mapsto y(x)$  : forme du toboggan,
- ▶  $t \mapsto (x(t), y(x(t)))$  : position,
- ▶  $T$  : temps de descente,

Vitesse :  $V(t) = \begin{bmatrix} x'(t) \\ y'(x(t))x'(t) \end{bmatrix},$

$$|V(t)| = |x'(t)|\sqrt{1 + y'^2(x(t))}$$

## Intégration numérique

Modélisation : calcul d'un temps de parcours



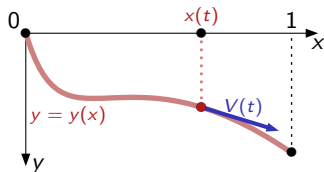
- ▶  $x \mapsto y(x)$  : forme du toboggan,
- ▶  $t \mapsto (x(t), y(x(t)))$  : position,
- ▶  $T$  : temps de descente,

Vitesse :  $V(t) = \begin{bmatrix} x'(t) \\ y'(x(t))x'(t) \end{bmatrix}$ ,  $|V(t)| = |x'(t)|\sqrt{1 + y'^2(x(t))}$

Énergies :  $E_c(t) = \frac{1}{2} m x'(t)^2 [1 + y'(x(t))^2]$ ,  $E_p(t) = -mgy(x(t))$ .

## Intégration numérique

Modélisation : calcul d'un temps de parcours



- ▶  $x \mapsto y(x)$  : forme du toboggan,
- ▶  $t \mapsto (x(t), y(x(t)))$  : position,
- ▶  $T$  : temps de descente,

Vitesse :  $V(t) = \begin{bmatrix} x'(t) \\ y'(x(t))x'(t) \end{bmatrix}$ ,  $|V(t)| = |x'(t)|\sqrt{1 + y'^2(x(t))}$

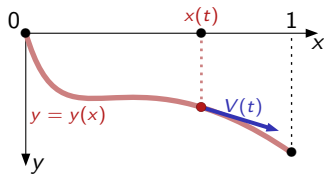
Énergies :  $E_c(t) = \frac{1}{2} m x'(t)^2 [1 + y'(x(t))^2]$ ,  $E_p(t) = -mgy(x(t))$ .

Bilan entre  $t = 0$  et  $t = T$  :  $\frac{1}{2} m (x'(t))^2 [1 + y'(x(t))^2] - mgy(x(t)) = 0$ .

$$\implies x'(t) = \sqrt{2gy(x(t)) / \sqrt{1 + y'(x(t))^2}}.$$

## Intégration numérique

Modélisation : calcul d'un temps de parcours



- ▶  $x \mapsto y(x)$  : forme du toboggan,
- ▶  $t \mapsto (x(t), y(x(t)))$  : position,
- ▶  $T$  : temps de descente,

Vitesse :  $V(t) = \begin{bmatrix} x'(t) \\ y'(x(t))x'(t) \end{bmatrix}$ ,  $|V(t)| = |x'(t)|\sqrt{1 + y'^2(x(t))}$

Énergies :  $E_c(t) = \frac{1}{2} m x'(t)^2 [1 + y'(x(t))^2]$ ,  $E_p(t) = -mgy(x(t))$ .

Bilan entre  $t = 0$  et  $t = T$  :  $\frac{1}{2} m (x'(t))^2 [1 + y'(x(t))^2] - mgy(x(t)) = 0$ .

$$\Rightarrow x'(t) = \sqrt{2gy(x(t))} / \sqrt{1 + y'(x(t))^2}.$$

Temps de descente :  $T = \int_0^T dt = \int_0^1 \frac{\sqrt{1 + y'(x)^2}}{\sqrt{2gy(x)}} dx$ .

**Problématique.** La forme  $x \mapsto y(x)$  du toboggan étant donnée, comment calculer le temps de descente  $T$  ?

$$T = \int_0^1 \frac{\sqrt{1 + y'(x)^2}}{\sqrt{2gy(x)}} dx.$$

## Intégration numérique

Modélisation : calcul d'un temps de parcours

**Problématique.** La forme  $x \mapsto y(x)$  du toboggan étant donnée, comment calculer le temps de descente  $T$  ?

$$T = \int_0^1 \frac{\sqrt{1 + y'(x)^2}}{\sqrt{2gy(x)}} dx.$$

► **Problème général** : calcul de  $\int_a^b f(x) dx$ .

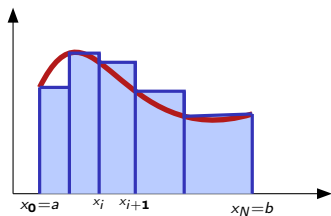
**Problématique.** La forme  $x \mapsto y(x)$  du toboggan étant donnée, comment calculer le temps de descente  $T$  ?

$$T = \int_0^1 \frac{\sqrt{1 + y'(x)^2}}{\sqrt{2gy(x)}} dx.$$

- ▶ **Problème général** : calcul de  $\int_a^b f(x) dx$ .
- ▶ **Enjeux** :
  - ▶ Mise en place d'une méthode numérique,
  - ▶ Étude de la précision,
  - ▶ Analyse du temps de calcul,
  - ▶ Quelle méthode pour quelle fonction  $f$  ?

# Intégration numérique

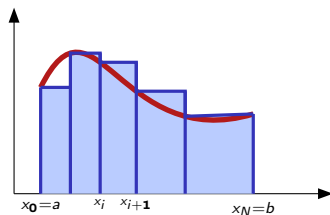
Une première idée : la méthode des rectangles





# Intégration numérique

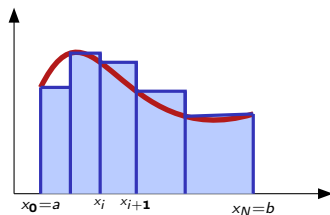
Une première idée : la méthode des rectangles



$$\int_a^b f(x) dx \simeq \sum_{i=0}^{N-1} (x_{i+1} - x_i) f(x_i).$$

## Intégration numérique

Une première idée : la méthode des rectangles



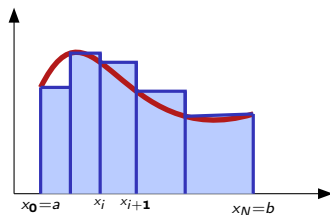
$$\int_a^b f(x) dx \simeq \sum_{i=0}^{N-1} (x_{i+1} - x_i) f(x_i).$$

► Cas équidistant :  $x_{i+1} - x_i = h = \frac{b-a}{N}$ ,

$$\int_a^b f(x) dx \simeq h \sum_{i=0}^{N-1} f(x_i).$$

## Intégration numérique

Une première idée : la méthode des rectangles



$$\int_a^b f(x) dx \simeq \sum_{i=0}^{N-1} (x_{i+1} - x_i) f(x_i).$$

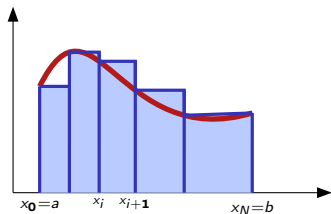
- ▶ Cas équidistant :  $x_{i+1} - x_i = h = \frac{b-a}{N}$ ,

$$\int_a^b f(x) dx \simeq h \sum_{i=0}^{N-1} f(x_i).$$

- ▶ Est-ce que l'approximation converge lorsque  $N \rightarrow +\infty$  ?

## Intégration numérique

Une première idée : la méthode des rectangles



$$\int_a^b f(x) dx \simeq \sum_{i=0}^{N-1} (x_{i+1} - x_i) f(x_i).$$

- ▶ Cas équidistant :  $x_{i+1} - x_i = h = \frac{b-a}{N}$ ,

$$\int_a^b f(x) dx \simeq h \sum_{i=0}^{N-1} f(x_i).$$

- ▶ Est-ce que l'approximation converge lorsque  $N \rightarrow +\infty$  ?
- ▶ Si oui, avec quelle précision ?

## Intégration numérique

### Convergence de la méthode des rectangles

- ▶ Cas équidistant (rappel :  $Nh = b - a$ )

$$I_N(f) = h \sum_{i=0}^{N-1} f(x_i).$$

## Intégration numérique

### Convergence de la méthode des rectangles

- ▶ Cas équidistant (rappel :  $Nh = b - a$ )

$$I_N(f) = h \sum_{i=0}^{N-1} f(x_i).$$

- ▶ Si  $f$  est continue,  $I_N(f)$  est une *somme de Riemann*.

$$\implies I_N(f) \xrightarrow[N \rightarrow +\infty]{} \int_a^b f(x) dx.$$

## Intégration numérique

### Convergence de la méthode des rectangles

- ▶ Cas équidistant (rappel :  $Nh = b - a$ )

$$I_N(f) = h \sum_{i=0}^{N-1} f(x_i).$$

- ▶ Si  $f$  est continue,  $I_N(f)$  est une *somme de Riemann*.

$$\implies I_N(f) \xrightarrow[N \rightarrow +\infty]{} \int_a^b f(x) dx.$$

*C'est lié à l'approximation uniforme des fonctions continues par des fonctions en escalier / à la continuité uniforme des fonctions continues sur un segment.*

# Intégration numérique

## Convergence de la méthode des rectangles

- ▶ Cas équidistant (rappel :  $Nh = b - a$ )

$$I_N(f) = h \sum_{i=0}^{N-1} f(x_i).$$

- ▶ Si  $f$  est continue,  $I_N(f)$  est une *somme de Riemann*.

$$\implies I_N(f) \xrightarrow[N \rightarrow +\infty]{} \int_a^b f(x) dx.$$

*C'est lié à l'approximation uniforme des fonctions continues par des fonctions en escalier / à la continuité uniforme des fonctions continues sur un segment.*

- ▶ Peut-on quantifier la précision de l'approximation ?



## Intégration numérique

### Précision de la méthode des rectangles

$$I = \int_a^b f(x) dx, \quad I_N = h \sum_{i=0}^{N-1} f(a + ih).$$

## Intégration numérique

### Précision de la méthode des rectangles

$$I = \int_a^b f(x) dx, \quad I_N = h \sum_{i=0}^{N-1} f(a + ih).$$

► Erreur :

$$|I - I_N| = \left| \sum_{i=0}^{N-1} \int_{x_i}^{x_{i+1}} [f(x) - f(x_i)] dx \right|.$$

## Intégration numérique

### Précision de la méthode des rectangles

$$I = \int_a^b f(x) dx, \quad I_N = h \sum_{i=0}^{N-1} f(a + ih).$$

- Erreur :

$$|I - I_N| = \left| \sum_{i=0}^{N-1} \int_{x_i}^{x_{i+1}} [f(x) - f(x_i)] dx \right|.$$

- Inégalité des accroissements finis : si  $f \in \mathcal{C}^1([a, b])$ ,

$$|f(x) - f(x_i)| \leq M_1 |x - x_i| \quad \text{avec} \quad M_1 = \sup_{t \in [a, b]} |f'(t)|.$$

## Intégration numérique

### Précision de la méthode des rectangles

$$I = \int_a^b f(x) dx, \quad I_N = h \sum_{i=0}^{N-1} f(a + ih).$$

- ▶ Erreur :

$$|I - I_N| = \left| \sum_{i=0}^{N-1} \int_{x_i}^{x_{i+1}} [f(x) - f(x_i)] dx \right|.$$

- ▶ Inégalité des accroissements finis : si  $f \in \mathcal{C}^1([a, b])$ ,

$$|f(x) - f(x_i)| \leq M_1 |x - x_i| \quad \text{avec} \quad M_1 = \sup_{t \in [a, b]} |f'(t)|.$$

- ▶ Estimation d'erreur

$$|I - I_N| \leq \sum_{i=0}^{N-1} \int_{x_i}^{x_{i+1}} |f(x) - f(x_i)| dx$$

# Intégration numérique

## Précision de la méthode des rectangles

$$I = \int_a^b f(x) dx, \quad I_N = h \sum_{i=0}^{N-1} f(a + ih).$$

- ▶ Erreur :

$$|I - I_N| = \left| \sum_{i=0}^{N-1} \int_{x_i}^{x_{i+1}} [f(x) - f(x_i)] dx \right|.$$

- ▶ Inégalité des accroissements finis : si  $f \in \mathcal{C}^1([a, b])$ ,

$$|f(x) - f(x_i)| \leq M_1 |x - x_i| \quad \text{avec} \quad M_1 = \sup_{t \in [a, b]} |f'(t)|.$$

- ▶ Estimation d'erreur

$$|I - I_N| \leq M_1 \sum_{i=0}^{N-1} \int_{x_i}^{x_{i+1}} |x - x_i| dx$$

## Intégration numérique

### Précision de la méthode des rectangles

$$I = \int_a^b f(x) dx, \quad I_N = h \sum_{i=0}^{N-1} f(a + ih).$$

- Erreur :

$$|I - I_N| = \left| \sum_{i=0}^{N-1} \int_{x_i}^{x_{i+1}} [f(x) - f(x_i)] dx \right|.$$

- Inégalité des accroissements finis : si  $f \in \mathcal{C}^1([a, b])$ ,

$$|f(x) - f(x_i)| \leq M_1 |x - x_i| \quad \text{avec} \quad M_1 = \sup_{t \in [a, b]} |f'(t)|.$$

- Estimation d'erreur

$$|I - I_N| \leq M_1 \sum_{i=0}^{N-1} \int_{x_i}^{x_{i+1}} (x - x_i) dx$$

## Intégration numérique

### Précision de la méthode des rectangles

$$I = \int_a^b f(x) dx, \quad I_N = h \sum_{i=0}^{N-1} f(a + ih).$$

- Erreur :

$$|I - I_N| = \left| \sum_{i=0}^{N-1} \int_{x_i}^{x_{i+1}} [f(x) - f(x_i)] dx \right|.$$

- Inégalité des accroissements finis : si  $f \in \mathcal{C}^1([a, b])$ ,

$$|f(x) - f(x_i)| \leq M_1 |x - x_i| \quad \text{avec} \quad M_1 = \sup_{t \in [a, b]} |f'(t)|.$$

- Estimation d'erreur

$$|I - I_N| \leq M_1 \sum_{i=0}^{N-1} \left[ \frac{(x - x_i)^2}{2} \right]_{x_i}^{x_{i+1}} dx$$

## Intégration numérique

### Précision de la méthode des rectangles

$$I = \int_a^b f(x) dx, \quad I_N = h \sum_{i=0}^{N-1} f(a + ih).$$

- Erreur :

$$|I - I_N| = \left| \sum_{i=0}^{N-1} \int_{x_i}^{x_{i+1}} [f(x) - f(x_i)] dx \right|.$$

- Inégalité des accroissements finis : si  $f \in \mathcal{C}^1([a, b])$ ,

$$|f(x) - f(x_i)| \leq M_1 |x - x_i| \quad \text{avec} \quad M_1 = \sup_{t \in [a, b]} |f'(t)|.$$

- Estimation d'erreur

$$|I - I_N| \leq M_1 \sum_{i=0}^{N-1} \frac{h^2}{2}$$



## Intégration numérique

### Précision de la méthode des rectangles

$$I = \int_a^b f(x) dx, \quad I_N = h \sum_{i=0}^{N-1} f(a + ih).$$

- Erreur :

$$|I - I_N| = \left| \sum_{i=0}^{N-1} \int_{x_i}^{x_{i+1}} [f(x) - f(x_i)] dx \right|.$$

- Inégalité des accroissements finis : si  $f \in \mathcal{C}^1([a, b])$ ,

$$|f(x) - f(x_i)| \leq M_1 |x - x_i| \quad \text{avec} \quad M_1 = \sup_{t \in [a, b]} |f'(t)|.$$

- Estimation d'erreur

$$|I - I_N| \leq M_1 N \frac{h^2}{2}$$

## Intégration numérique

### Précision de la méthode des rectangles

$$I = \int_a^b f(x) dx, \quad I_N = h \sum_{i=0}^{N-1} f(a + ih).$$

- ▶ Erreur :

$$|I - I_N| = \left| \sum_{i=0}^{N-1} \int_{x_i}^{x_{i+1}} [f(x) - f(x_i)] dx \right|.$$

- ▶ Inégalité des accroissements finis : si  $f \in \mathcal{C}^1([a, b])$ ,

$$|f(x) - f(x_i)| \leq M_1 |x - x_i| \quad \text{avec} \quad M_1 = \sup_{t \in [a, b]} |f'(t)|.$$

- ▶ Estimation d'erreur

$$|I - I_N| \leq \frac{M_1(b-a)}{2} h$$

## Intégration numérique

### Précision de la méthode des rectangles

$$I = \int_a^b f(x) dx, \quad I_N = h \sum_{i=0}^{N-1} f(a + ih).$$

- ▶ Erreur :

$$|I - I_N| = \left| \sum_{i=0}^{N-1} \int_{x_i}^{x_{i+1}} [f(x) - f(x_i)] dx \right|.$$

- ▶ Inégalité des accroissements finis : si  $f \in \mathcal{C}^1([a, b])$ ,

$$|f(x) - f(x_i)| \leq M_1 |x - x_i| \quad \text{avec} \quad M_1 = \sup_{t \in [a, b]} |f'(t)|.$$

- ▶ Estimation d'erreur

$$|I - I_N| \leq \frac{M_1(b-a)^2}{2N}$$

## Intégration numérique

### Précision de la méthode des rectangles

Si  $f \in \mathcal{C}^1([a, b])$ , alors, pour la méthode des rectangles,

$$|I - I_N| \leq \frac{(b-a)^2}{2N} \sup_{t \in [a, b]} |f'(t)|$$

## Intégration numérique

### Précision de la méthode des rectangles

Si  $f \in \mathcal{C}^1([a, b])$ , alors, pour la méthode des rectangles,

$$|I - I_N| \leq \frac{(b-a)^2}{2N} \sup_{t \in [a, b]} |f'(t)|$$

À retenir :

- ▶ Hypothèse de régularité :  $f \in \mathcal{C}^1([a, b])$ .
- ▶ Convergence en  $\mathcal{O}\left(\frac{1}{N}\right)$ .

# Intégration numérique

## Précision de la méthode des rectangles


Si  $f \in \mathcal{C}^1([a, b])$ , alors, pour la méthode des rectangles,

$$|I - I_N| \leq \frac{(b-a)^2}{2N} \sup_{t \in [a, b]} |f'(t)|$$

À retenir :

- ▶ Hypothèse de régularité :  $f \in \mathcal{C}^1([a, b])$ .
- ▶ Convergence en  $\mathcal{O}\left(\frac{1}{N}\right)$ .

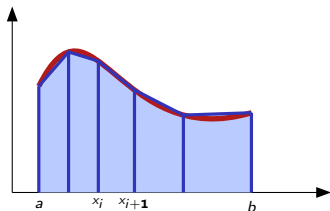
**Question** : que se passe-t-il si  $f \notin \mathcal{C}^1([a, b])$  ?

- ▶ Simulation pour diverses fonctions. 
- ▶ Analyse théorique : cf. TD.

# Intégration numérique

## Une autre méthode

### ► Méthode des trapèzes

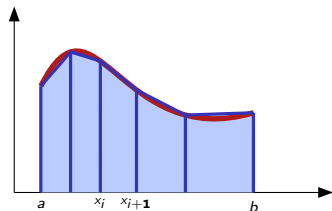


$$\int_a^b f(x) dx \simeq \sum_{i=0}^{N-1} (x_{i+1} - x_i) \frac{f(x_i) + f(x_{i+1})}{2}.$$

# Intégration numérique

## Une autre méthode

### ► Méthode des trapèzes



$$\int_a^b f(x) dx \simeq \sum_{i=0}^{N-1} (x_{i+1} - x_i) \frac{f(x_i) + f(x_{i+1})}{2}.$$

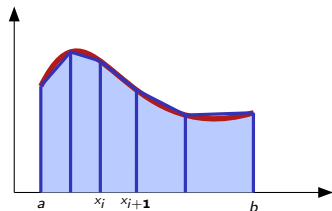
► Erreur observée dans le cas général :  $\mathcal{O}(N^{-2})$ .



# Intégration numérique

## Une autre méthode

### ► Méthode des trapèzes



$$\int_a^b f(x) dx \simeq \sum_{i=0}^{N-1} (x_{i+1} - x_i) \frac{f(x_i) + f(x_{i+1})}{2}.$$

► Erreur observée dans le cas général :  $\mathcal{O}(N^{-2})$ .

► Estimation d'erreur théorique ?

↪ *estimation sur  $[x_i, x_{i+1}]$  de la différence courbe/corde.*

# Intégration numérique

## Méthode des trapèzes

- ▶ Estimation d'erreur (subdivision uniforme de pas  $h$ )

- ▶ **Estimation d'erreur** (subdivision uniforme de pas  $h$ )

$$|I - I_N| \leq \sum_{i=0}^{N-1} \int_{x_i}^{x_{i+1}} |f(x) - p(x)| dx,$$

où  $p \in \mathbb{P}_1$  satisfait  $p(x_i) = f(x_i)$  et  $p(x_{i+1}) = f(x_{i+1})$ .

- ▶ **Estimation d'erreur** (subdivision uniforme de pas  $h$ )

$$|I - I_N| \leq \sum_{i=0}^{N-1} \int_{x_i}^{x_{i+1}} |f(x) - p(x)| dx,$$

où  $p \in \mathbb{P}_1$  satisfait  $p(x_i) = f(x_i)$  et  $p(x_{i+1}) = f(x_{i+1})$ .

- ▶ On pose  $\psi = f - p$ . Th. Rolle :  $\exists \xi_i \in [x_i, x_{i+1}]$ ,  $\psi'(\xi_i) = 0$ .

$$\forall x \in [x_i, x_{i+1}], |\psi'(x)| \leq |x - \xi_i| \sup_{[x_i, x_{i+1}]} |\psi''| \leq h \sup_{[a, b]} |f''|.$$

- ▶ **Estimation d'erreur** (subdivision uniforme de pas  $h$ )

$$|I - I_N| \leq \sum_{i=0}^{N-1} \int_{x_i}^{x_{i+1}} |f(x) - p(x)| dx,$$

où  $p \in \mathbb{P}_1$  satisfait  $p(x_i) = f(x_i)$  et  $p(x_{i+1}) = f(x_{i+1})$ .

- ▶ On pose  $\psi = f - p$ . Th. Rolle :  $\exists \xi_i \in [x_i, x_{i+1}]$ ,  $\psi'(\xi_i) = 0$ .

$$\forall x \in [x_i, x_{i+1}], |\psi'(x)| \leq |x - \xi_i| \sup_{[x_i, x_{i+1}]} |\psi''| \leq h \sup_{[a, b]} |f''|.$$

- ▶ Donc  $\forall x \in [x_i, x_{i+1}]$ ,

$$|\psi(x)| \leq \int_{x_i}^x |\psi'(x)| \leq h^2 \sup_{[a, b]} |f''|.$$

- ▶ **Estimation d'erreur** (subdivision uniforme de pas  $h$ )

$$|I - I_N| \leq \sum_{i=0}^{N-1} \int_{x_i}^{x_{i+1}} |f(x) - p(x)| dx,$$

où  $p \in \mathbb{P}_1$  satisfait  $p(x_i) = f(x_i)$  et  $p(x_{i+1}) = f(x_{i+1})$ .

- ▶ On pose  $\psi = f - p$ . Th. Rolle :  $\exists \xi_i \in [x_i, x_{i+1}]$ ,  $\psi'(\xi_i) = 0$ .

$$\forall x \in [x_i, x_{i+1}], |\psi'(x)| \leq |x - \xi_i| \sup_{[x_i, x_{i+1}]} |\psi''| \leq h \sup_{[a, b]} |f''|.$$

- ▶ Donc  $\forall x \in [x_i, x_{i+1}]$ ,

$$|\psi(x)| \leq \int_{x_i}^x |\psi'(x)| \leq h^2 \sup_{[a, b]} |f''|.$$

- ▶ Conclusion :  $|I - I_N| \leq h^2 (b - a) \sup_{[a, b]} |f''| = \frac{(b - a)^3}{N^2} M_2.$

## Intégration numérique

### D'autres méthodes

- ▶ **Idée** : remplacer  $\varphi$  par un polynôme  $\pi_\varphi$  et

$$\int_0^1 \varphi(t) dt \simeq \int_0^1 \pi_\varphi(t) dt.$$

## Intégration numérique

### D'autres méthodes

- ▶ **Idée** : remplacer  $\varphi$  par un polynôme  $\pi_\varphi$  et

$$\int_0^1 \varphi(t) dt \simeq \int_0^1 \pi_\varphi(t) dt.$$

- ▶ **Rappel** : pour  $0 \leq t_0 < t_1 < \dots < t_k \leq 1$  et  $b_0, b_1, \dots, b_k \in \mathbb{R}$  fixés,

$$\exists ! p \in \mathbb{P}_k, \quad \forall q = 0, 1, \dots, k, \quad p(t_q) = b_q.$$

Dans la base de Lagrange,

$$p(t) = \sum_{q=0}^k b_q L_q(t), \quad \text{avec} \quad L_q(t) = \prod_{\ell \neq q} \frac{t - t_\ell}{t_q - t_\ell}.$$



## Intégration numérique

### D'autres méthodes

- **Idée** : remplacer  $\varphi$  par un polynôme  $\pi_\varphi$  et

$$\int_0^1 \varphi(t) dt \simeq \int_0^1 \pi_\varphi(t) dt.$$

- **Rappel** : pour  $0 \leq t_0 < t_1 < \dots < t_k \leq 1$  et  $b_0, b_1, \dots, b_k \in \mathbb{R}$  fixés,

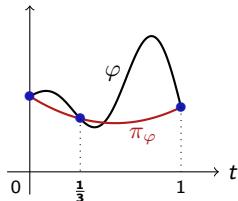
$$\exists ! p \in \mathbb{P}_k, \quad \forall q = 0, 1, \dots, k, \quad p(t_q) = b_q.$$

Dans la base de Lagrange,

$$p(t) = \sum_{q=0}^k b_q L_q(t), \quad \text{avec} \quad L_q(t) = \prod_{\ell \neq q} \frac{t - t_\ell}{t_q - t_\ell}.$$

- **Exemple** :

$\pi_\varphi$  = polynôme d'interpolation  
de Lagrange de  $\varphi$   
en  $0, \frac{1}{3}, 1$ .



# Intégration numérique

Intermédiaire : interpolation de Lagrange

$$\int_0^1 \varphi(t) dt \simeq \int_0^1 \pi_\varphi(t) dt.$$

## Intégration numérique

Intermède : interpolation de Lagrange

$$\int_0^1 \varphi(t) dt \simeq \int_0^1 \pi_\varphi(t) dt.$$

- Il n'est pas nécessaire d'expliciter  $\pi_\varphi$  pour approcher l'intégrale :

$$\pi_\varphi(t) = \sum_{q=0}^k \varphi(t_q) L_q(t) \quad \Longrightarrow \quad \int_0^1 \pi_\varphi(t) dt = \sum_{q=0}^k \underbrace{\left( \int_0^1 L_q(t) dt \right)}_{=w_q} \varphi(t_q)$$

## Intégration numérique

Intermède : interpolation de Lagrange

$$\int_0^1 \varphi(t) dt \simeq \int_0^1 \pi_\varphi(t) dt.$$

- Il n'est pas nécessaire d'expliciter  $\pi_\varphi$  pour approcher l'intégrale :

$$\pi_\varphi(t) = \sum_{q=0}^k \varphi(t_q) L_q(t) \implies \int_0^1 \pi_\varphi(t) dt = \sum_{q=0}^k \underbrace{\left( \int_0^1 L_q(t) dt \right)}_{=w_q} \varphi(t_q)$$

d'où l'approximation

$$\int_0^1 \varphi(t) dt \simeq \sum_{q=0}^k w_q \varphi(t_q).$$

## Intégration numérique

Intermède : interpolation de Lagrange

- ▶ Que se passe-t-il lorsque  $k \rightarrow \infty$ ? (*points  $(t_q)$  équidistants*)

## Intégration numérique

### Intermède : interpolation de Lagrange

- ▶ Que se passe-t-il lorsque  $k \rightarrow \infty$ ? (*points  $(t_q)$  équidistants*)

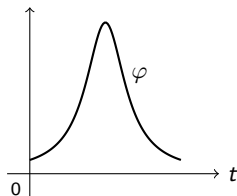
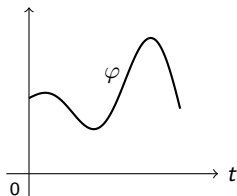
$$\varphi(t) = 1 + \frac{t}{2} \cos(8t)$$

$$\varphi(t) = \frac{2}{1 + 10(2t - 1)^2}$$

## Intégration numérique

### Intermède : interpolation de Lagrange

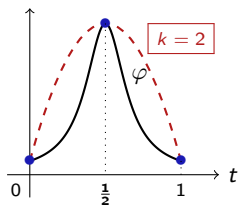
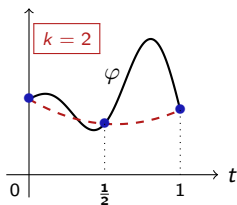
- ▶ Que se passe-t-il lorsque  $k \rightarrow \infty$ ? (*points  $(t_q)$  équidistants*)



# Intégration numérique

## Intermède : interpolation de Lagrange

- Que se passe-t-il lorsque  $k \rightarrow \infty$ ? (*points  $(t_q)$  équidistants*)

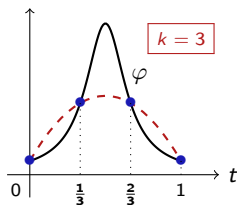
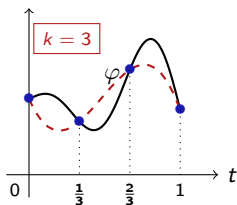




## Intégration numérique

### Intermède : interpolation de Lagrange

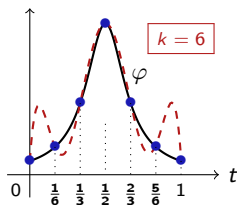
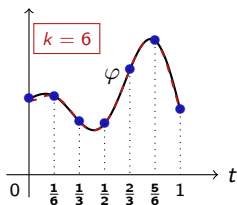
- Que se passe-t-il lorsque  $k \rightarrow \infty$ ? (*points  $(t_q)$  équidistants*)



# Intégration numérique

## Intermède : interpolation de Lagrange

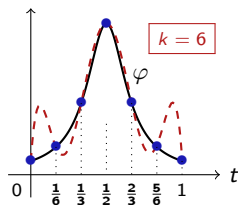
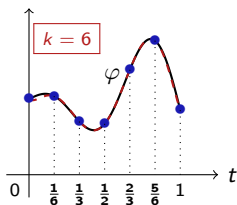
- Que se passe-t-il lorsque  $k \rightarrow \infty$ ? (*points  $(t_q)$  équidistants*)



# Intégration numérique

## Intermède : interpolation de Lagrange

- Que se passe-t-il lorsque  $k \rightarrow \infty$ ? (*points  $(t_q)$  équidistants*)

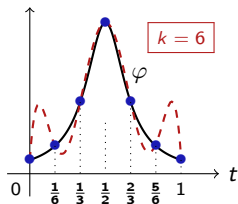
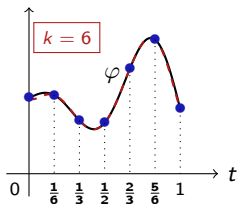


Non convergence lorsque  $k \rightarrow +\infty$   
(*phénomène de Runge*)

# Intégration numérique

## Intermède : interpolation de Lagrange

- ▶ Que se passe-t-il lorsque  $k \rightarrow \infty$ ? (*points  $(t_q)$  équidistants*)



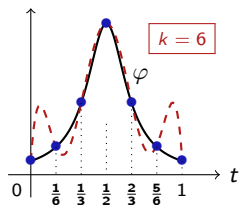
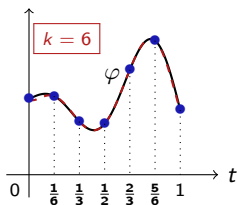
Non convergence lorsque  $k \rightarrow +\infty$   
(*phénomène de Runge*)

- ▶ Pas d'espoir d'obtenir une approximation qui converge lorsque  $k \rightarrow +\infty$ .

# Intégration numérique

## Intermède : interpolation de Lagrange

- ▶ Que se passe-t-il lorsque  $k \rightarrow \infty$ ? (*points  $(t_q)$  équidistants*)



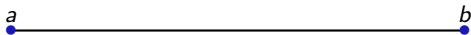
Non convergence lorsque  $k \rightarrow +\infty$   
(*phénomène de Runge*)

- ▶ Pas d'espoir d'obtenir une approximation qui converge lorsque  $k \rightarrow +\infty$ .
- ▶ On va conserver  $k$  fixé et travailler sur une subdivision de l'intervalle.

# Intégration numérique

## Principe des méthodes composées

$$\int_a^b f(x) dx$$

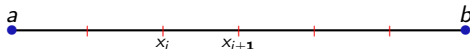


# Intégration numérique

## Principe des méthodes composées

$$\int_a^b f(x) dx = \sum_{i=0}^{N-1} \int_{x_i}^{x_{i+1}} f(x) dx$$

- ▶ On subdivise l'intervalle  $[a, b]$  (pas uniforme  $h$ ).

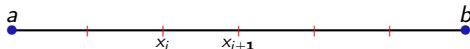


# Intégration numérique

## Principe des méthodes composées

$$\int_a^b f(x) dx = \sum_{i=0}^{N-1} \int_{x_i}^{x_{i+1}} f(x) dx$$

- ▶ On subdivise l'intervalle  $[a, b]$  (pas uniforme  $h$ ).
- ▶ On choisit un modèle élémentaire sur  $[0, 1]$



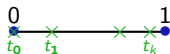
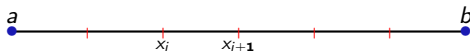


# Intégration numérique

## Principe des méthodes composées

$$\int_a^b f(x) dx = \sum_{i=0}^{N-1} \int_{x_i}^{x_{i+1}} f(x) dx$$

- ▶ On subdivise l'intervalle  $[a, b]$  (pas uniforme  $h$ ).
- ▶ On choisit un modèle élémentaire sur  $[0, 1]$  :  $\int_0^1 \varphi(t) dt \simeq \sum_{q=0}^k w_q \varphi(t_q)$

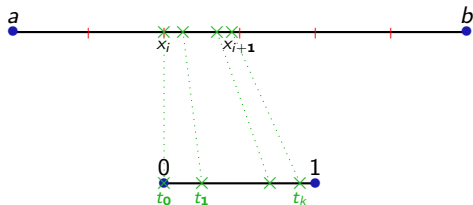


# Intégration numérique

## Principe des méthodes composées

$$\int_a^b f(x) dx = \sum_{i=0}^{N-1} \int_{x_i}^{x_{i+1}} f(x) dx = \sum_{i=0}^{N-1} h \int_0^1 f(x_i + th) dt \simeq h \sum_{i=0}^{N-1} \sum_{q=0}^k w_q f(x_i + t_q h).$$

- ▶ On subdivise l'intervalle  $[a, b]$  (pas uniforme  $h$ ).
- ▶ On choisit un modèle élémentaire sur  $[0, 1]$  :  $\int_0^1 \varphi(t) dt \simeq \sum_{q=0}^k w_q \varphi(t_q)$
- ▶ On transporte sur chaque sous-intervalle.



# Intégration numérique

## Méthodes composées

Exemple :

- ▶ ( $k = 1$ ).  $t_0 = 0$ ,  $t_1 = 1$ ,

# Intégration numérique

## Méthodes composées

### Exemple :

▶  $(k = 1)$ .  $t_0 = 0$ ,  $t_1 = 1$ ,

▶  $w_0 = \frac{1}{2}$ ,  $w_1 = \frac{1}{2}$ .

# Intégration numérique

## Méthodes composées

### Exemple :

▶  $(k = 1)$ .  $t_0 = 0$ ,  $t_1 = 1$ ,

▶  $w_0 = \frac{1}{2}$ ,  $w_1 = \frac{1}{2}$ .

$$\int_a^b f(x) dx \simeq h \sum_{i=0}^{N-1} \sum_{q=0}^k w_q f(x_i + t_q h).$$
$$= h \sum_{i=0}^{N-1} \frac{f(x_i) + f(x_{i+1})}{2}$$

# Intégration numérique

## Méthodes composées

### Exemple :

- ▶  $(k = 1)$ .  $t_0 = 0$ ,  $t_1 = 1$ ,
- ▶  $w_0 = \frac{1}{2}$ ,  $w_1 = \frac{1}{2}$ .

$$\begin{aligned}\int_a^b f(x) dx &\simeq h \sum_{i=0}^{N-1} \sum_{q=0}^k w_q f(x_i + t_q h). \\ &= h \sum_{i=0}^{N-1} \frac{f(x_i) + f(x_{i+1})}{2}\end{aligned}$$

⇒ Méthode des trapèzes !

### ► Bilan

- Modèle élémentaire sur  $[0, 1]$  :

$$(M_e) \quad \int_0^1 \varphi(t) dt \simeq \sum_{q=0}^k w_q \varphi(t_q).$$

### ► Bilan

- Modèle élémentaire sur  $[0, 1]$  :

$$(M_e) \quad \int_0^1 \varphi(t) dt \simeq \sum_{q=0}^k w_q \varphi(t_q).$$

- Méthode composée sur  $[a, b]$  :

$$(FQ_c) \quad I = \int_a^b f(x) dx \simeq I_N = h \sum_{i=0}^{N-1} \sum_{q=0}^k w_q f(x_i + t_q h).$$



### ► Bilan

- Modèle élémentaire sur  $[0, 1]$  :

$$(M_e) \quad \int_0^1 \varphi(t) dt \simeq \sum_{q=0}^k w_q \varphi(t_q).$$

- Méthode composée sur  $[a, b]$  :

$$(FQ_c) \quad I = \int_a^b f(x) dx \simeq I_N = h \sum_{i=0}^{N-1} \sum_{q=0}^k w_q f(x_i + t_q h).$$

- *A priori* :  $N(k + 1)$  évaluations de  $f$ .

### ► Bilan

- Modèle élémentaire sur  $[0, 1]$  :

$$(M_e) \quad \int_0^1 \varphi(t) dt \simeq \sum_{q=0}^k w_q \varphi(t_q).$$

- Méthode composée sur  $[a, b]$  :

$$(FQ_c) \quad I = \int_a^b f(x) dx \simeq I_N = h \sum_{i=0}^{N-1} \sum_{q=0}^k w_q f(x_i + t_q h).$$

- *A priori* :  $N(k + 1)$  évaluations de  $f$ .
  
- Quelle précision pour (??) ?

► Une remarque

$$I - I_N = h \sum_{i=0}^{N-1} \left( \int_0^1 \underbrace{f(x_i + th)}_{\varphi_i(t)} dt - \int_0^1 \pi_{\varphi_i}(t) dt \right),$$

- $\varphi_i : t \mapsto f(x_i + th)$ ,
- $\forall \varphi, \pi_\varphi \in \mathbb{P}_k$  satisfait  $\pi_\varphi(t_q) = \varphi(t_q)$  ( $0 \leq q \leq k$ ).

► Une remarque

$$I - I_N = h \sum_{i=0}^{N-1} \left( \int_0^1 \underbrace{f(x_i + th)}_{\varphi_i(t)} dt - \int_0^1 \pi_{\varphi_i}(t) dt \right),$$

►  $\varphi_i : t \mapsto f(x_i + th)$ ,

►  $\forall \varphi, \pi_\varphi \in \mathbb{P}_k$  satisfait  $\pi_\varphi(t_q) = \varphi(t_q)$  ( $0 \leq q \leq k$ ).

**Théorème.** pour  $\varphi \in \mathcal{C}^{k+1}([0, 1])$ ,

$$|\varphi(t) - \pi_\varphi(t)| \leq \frac{\sup_{t \in [0,1]} |\varphi^{(k+1)}(t)|}{(k+1)!}.$$

► Une remarque

$$I - I_N = h \sum_{i=0}^{N-1} \left( \int_0^1 \underbrace{f(x_i + th)}_{\varphi_i(t)} dt - \int_0^1 \pi_{\varphi_i}(t) dt \right),$$

►  $\varphi_i : t \mapsto f(x_i + th)$ ,  $\varphi_i^{(k+1)}(t) = h^{k+1} f^{(k+1)}(x_i + th)$ .

►  $\forall \varphi, \pi_\varphi \in \mathbb{P}_k$  satisfait  $\pi_\varphi(t_q) = \varphi(t_q)$  ( $0 \leq q \leq k$ ).

**Théorème.** pour  $\varphi \in \mathcal{C}^{k+1}([0, 1])$ ,

$$|\varphi(t) - \pi_\varphi(t)| \leq \frac{\sup_{t \in [0,1]} |\varphi^{(k+1)}(t)|}{(k+1)!}.$$

► **Conséquence** : si  $f \in \mathcal{C}^{k+1}[a, b]$ ,

$$|I - I_N| \leq \frac{h^{k+1}(b-a)}{(k+1)!} \sup_{x \in [a,b]} |f^{(k+1)}(x)|.$$

$$(M_e) \quad \int_0^1 \varphi(t) dt \simeq \sum_{q=0}^k w_q \varphi(t_q).$$

$$(FQ_c) \quad I = \int_a^b f(x) dx \simeq I_N = h \sum_{i=0}^{N-1} \sum_{q=0}^k w_q f(x_i + t_q h).$$

**Théorème.** Si (??) est exacte pour tout  $\varphi \in \mathbb{P}_\ell$  et si  $f \in \mathcal{C}^{\ell+1}([a, b])$ , alors

$$|I - I_N| \leq \frac{h^{\ell+1}(b-a)}{(\ell+1)!} \sup_{x \in [a, b]} |f^{(\ell+1)}(x)|.$$

$$(M_e) \quad \int_0^1 \varphi(t) dt \simeq \sum_{q=0}^k w_q \varphi(t_q).$$

$$(FQ_c) \quad I = \int_a^b f(x) dx \simeq I_N = h \sum_{i=0}^{N-1} \sum_{q=0}^k w_q f(x_i + t_q h).$$

**Théorème.** Si (??) est exacte pour tout  $\varphi \in \mathbb{P}_\ell$  et si  $f \in \mathcal{C}^{\ell+1}([a, b])$ , alors

$$|I - I_N| \leq \frac{h^{\ell+1}(b-a)}{(\ell+1)!} \sup_{x \in [a, b]} |f^{(\ell+1)}(x)|.$$

**Remarque.** La constante n'est pas optimale...

$$(M_e) \quad \int_0^1 \varphi(t) dt \simeq \sum_{q=0}^k w_q \varphi(t_q).$$

$$(FQ_c) \quad I = \int_a^b f(x) dx \simeq I_N = h \sum_{i=0}^{N-1} \sum_{q=0}^k w_q f(x_i + t_q h).$$

**Théorème.** Si (??) est exacte pour tout  $\varphi \in \mathbb{P}_\ell$  et si  $f \in \mathcal{C}^{\ell+1}([a, b])$ , alors

$$|I - I_N| \leq \frac{h^{\ell+1}(b-a)}{(\ell+1)!} \sup_{x \in [a, b]} |f^{(\ell+1)}(x)|.$$

**Remarque.** La constante n'est pas optimale...

**Question.** A priori,  $\ell = k$   $N(k+1)$  évaluations de  $f$ , précision en  $\mathcal{O}\left(\frac{1}{N^{k+1}}\right)$ .



$$(M_e) \quad \int_0^1 \varphi(t) dt \simeq \sum_{q=0}^k w_q \varphi(t_q).$$

$$(FQ_c) \quad I = \int_a^b f(x) dx \simeq I_N = h \sum_{i=0}^{N-1} \sum_{q=0}^k w_q f(x_i + t_q h).$$

**Théorème.** Si (??) est exacte pour tout  $\varphi \in \mathbb{P}_\ell$  et si  $f \in \mathcal{C}^{\ell+1}([a, b])$ , alors

$$|I - I_N| \leq \frac{h^{\ell+1}(b-a)}{(\ell+1)!} \sup_{x \in [a, b]} |f^{(\ell+1)}(x)|.$$

**Remarque.** La constante n'est pas optimale...

**Question.** A priori,  $\ell = k$   $N(k+1)$  évaluations de  $f$ , précision en  $\mathcal{O}\left(\frac{1}{N^{k+1}}\right)$ .

Peut-on faire mieux ?

## Intégration numérique

Optimalité des choix des points/poids de quadrature ?

- Points de quadrature fixés : comment calculer les poids ?

$$(M_e) \quad \int_0^1 \varphi(t) dt \simeq \sum_{q=0}^k w_q \varphi(t_q).$$

## Intégration numérique

Optimalité des choix des points/poids de quadrature ?

- ▶ Points de quadrature fixés : comment calculer les poids ?

$$(M_e) \quad \int_0^1 \varphi(t) dt \simeq \sum_{q=0}^k w_q \varphi(t_q).$$

- ▶  $k$  et  $(t_q)_{q=0, \dots, k}$  donnés.

## Intégration numérique

### Optimalité des choix des points/poids de quadrature ?

- ▶ Points de quadrature fixés : comment calculer les poids ?

$$(M_e) \quad \int_0^1 \varphi(t) dt \simeq \sum_{q=0}^k w_q \varphi(t_q).$$

- ▶  $k$  et  $(t_q)_{q=0, \dots, k}$  donnés.
- ▶ (??) exact sur  $\mathbb{P}_k \iff$  (??) exact pour la base  $(1, t, \dots, t^k)$ ,

$$\iff \forall i = 0, 1, \dots, k, \quad \sum_{q=0}^k w_q t_q^i = \frac{1}{i+1}.$$

(système linéaire de Vandermonde)

## Intégration numérique

### Optimalité des choix des points/poids de quadrature ?

- ▶ Points de quadrature fixés : comment calculer les poids ?

$$(M_e) \quad \int_0^1 \varphi(t) dt \simeq \sum_{q=0}^k w_q \varphi(t_q).$$

- ▶  $k$  et  $(t_q)_{q=0, \dots, k}$  donnés.
- ▶ (??) exact sur  $\mathbb{P}_k \iff$  (??) exact pour la base  $(1, t, \dots, t^k)$ ,

$$\iff \forall i = 0, 1, \dots, k, \quad \sum_{q=0}^k w_q t_q^i = \frac{1}{i+1}.$$

(système linéaire de Vandermonde)

$\implies$  les poids  $(w_q)$  sont uniquement déterminés !

## Intégration numérique

### Optimalité des choix des points/poids de quadrature ?

- ▶ Points de quadrature fixés : comment calculer les poids ?

$$(M_e) \quad \int_0^1 \varphi(t) dt \simeq \sum_{q=0}^k w_q \varphi(t_q).$$

- ▶  $k$  et  $(t_q)_{q=0, \dots, k}$  donnés.
- ▶  $(??)$  exact sur  $\mathbb{P}_k \iff (??)$  exact pour la base  $(1, t, \dots, t^k)$ ,

$$\iff \forall i = 0, 1, \dots, k, \quad \sum_{q=0}^k w_q t_q^i = \frac{1}{i+1}.$$

(système linéaire de Vandermonde)

$\implies$  les poids  $(w_q)$  sont uniquement déterminés !

■ **Conclusion.** Sauf « miracle »,  $(??)$  est exact sur  $\mathbb{P}_k$  seulement. . .

## Intégration numérique

Optimalité des choix des points/poids de quadrature ?



Avec  $k + 1$  points de quadrature  $\ddagger(\mathbb{R})$  : peut-on être exact au delà de  $\mathbb{P}_k$  ?

$$(M_e) \quad \int_0^1 \varphi(t) dt \simeq \sum_{q=0}^k w_q \varphi(t_q).$$

## Intégration numérique

Optimalité des choix des points/poids de quadrature ?



Avec  $k + 1$  points de quadrature  $\ddagger$  (R) : peut-on être exact au delà de  $\mathbb{P}_k$  ?

$$(M_e) \quad \int_0^1 \varphi(t) dt \simeq \sum_{q=0}^k w_q \varphi(t_q).$$

► Remarque. pour  $p(t) = \prod_{q=0}^k (t - t_q)^2 \in \mathbb{P}_{2k+2}$ ,

$$\int_0^1 p(t) dt > 0, \quad \sum_{q=0}^k w_q p(t_q) = 0.$$



## Intégration numérique

Optimalité des choix des points/poids de quadrature ?



Avec  $k + 1$  points de quadrature  $\ddagger(\mathbb{R})$  : peut-on être exact au delà de  $\mathbb{P}_k$  ?

$$(M_e) \quad \int_0^1 \varphi(t) dt \simeq \sum_{q=0}^k w_q \varphi(t_q).$$

► Remarque. pour  $p(t) = \prod_{q=0}^k (t - t_q)^2 \in \mathbb{P}_{2k+2}$ ,

$$\int_0^1 p(t) dt > 0, \quad \sum_{q=0}^k w_q p(t_q) = 0.$$

⇒ (??) ne peut pas être exact  $\mathbb{P}_{2k+2}$  !

## Intégration numérique

Optimalité des choix des points/poids de quadrature ?



Avec  $k + 1$  points de quadrature  $\ddagger(\mathbb{R})$  : peut-on être exact au delà de  $\mathbb{P}_k$  ?

$$(M_e) \quad \int_0^1 \varphi(t) dt \simeq \sum_{q=0}^k w_q \varphi(t_q).$$

► **Remarque.** pour  $p(t) = \prod_{q=0}^k (t - t_q)^2 \in \mathbb{P}_{2k+2}$ ,

$$\int_0^1 p(t) dt > 0, \quad \sum_{q=0}^k w_q p(t_q) = 0.$$

$\implies$  (??) ne peut pas être exact  $\mathbb{P}_{2k+2}$  !

► Peut-on espérer être exact  $\mathbb{P}_{2k+1}$  ?

## Intégration numérique

Optimalité des choix des points/poids de quadrature ?

$$(M_e) \quad \int_0^1 \varphi(t) dt \simeq \sum_{q=0}^k w_q \varphi(t_q).$$

► (??) exact sur  $\mathbb{P}_{2k+1}$  ?

## Intégration numérique

Optimalité des choix des points/poids de quadrature ?

$$(M_e) \quad \int_0^1 \varphi(t) dt \simeq \sum_{q=0}^k w_q \varphi(t_q).$$

► (??) exact sur  $\mathbb{P}_{2k+1}$  ? Soit  $p \in \mathbb{P}_{2k+1}$  et  $\pi(t) = \prod_{q=0}^k (t - t_q) \in \mathbb{P}_{k+1}$ .

## Intégration numérique

Optimalité des choix des points/poids de quadrature ?

$$(M_e) \quad \int_0^1 \varphi(t) dt \simeq \sum_{q=0}^k w_q \varphi(t_q).$$

- ▶ (??) exact sur  $\mathbb{P}_{2k+1}$  ? Soit  $p \in \mathbb{P}_{2k+1}$  et  $\pi(t) = \prod_{q=0}^k (t - t_q) \in \mathbb{P}_{k+1}$ .
- ▶ Division euclidienne :  $p = \pi u + r$ , avec  $d^\circ u \leq k$  et  $d^\circ r \leq k$ .

## Intégration numérique

Optimalité des choix des points/poids de quadrature ?

$$(M_e) \quad \int_0^1 \varphi(t) dt \simeq \sum_{q=0}^k w_q \varphi(t_q).$$

- ▶ (??) exact sur  $\mathbb{P}_{2k+1}$  ? Soit  $p \in \mathbb{P}_{2k+1}$  et  $\pi(t) = \prod_{q=0}^k (t - t_q) \in \mathbb{P}_{k+1}$ .
- ▶ Division euclidienne :  $p = \pi u + r$ , avec  $d^\circ u \leq k$  et  $d^\circ r \leq k$ .

$$\sum_{q=0}^k w_q p(t_q) = \sum_{q=0}^k w_q r(t_q). \quad \text{car } \pi(t_q) = 0.$$

## Intégration numérique

Optimalité des choix des points/poids de quadrature ?

$$(M_e) \quad \int_0^1 \varphi(t) dt \simeq \sum_{q=0}^k w_q \varphi(t_q).$$

- ▶ (??) exact sur  $\mathbb{P}_{2k+1}$  ? Soit  $p \in \mathbb{P}_{2k+1}$  et  $\pi(t) = \prod_{q=0}^k (t - t_q) \in \mathbb{P}_{k+1}$ .
- ▶ Division euclidienne :  $p = \pi u + r$ , avec  $d^\circ u \leq k$  et  $d^\circ r \leq k$ .

$$\sum_{q=0}^k w_q p(t_q) = \sum_{q=0}^k w_q r(t_q). \quad \text{car } \pi(t_q) = 0.$$

$$\int_0^1 p(t) dt = \int_0^1 \pi(t)u(t) dt + \int_0^1 r(t) dt.$$

## Intégration numérique

### Optimalité des choix des points/poids de quadrature ?

$$(M_e) \quad \int_0^1 \varphi(t) dt \simeq \sum_{q=0}^k w_q \varphi(t_q).$$

- ▶ **(??) exact sur  $\mathbb{P}_{2k+1}$  ?** Soit  $p \in \mathbb{P}_{2k+1}$  et  $\pi(t) = \prod_{q=0}^k (t - t_q) \in \mathbb{P}_{k+1}$ .
- ▶ Division euclidienne :  $p = \pi u + r$ , avec  $d^\circ u \leq k$  et  $d^\circ r \leq k$ .

$$\sum_{q=0}^k w_q p(t_q) = \sum_{q=0}^k w_q r(t_q). \quad \text{car } \pi(t_q) = 0.$$

$$\int_0^1 p(t) dt = \int_0^1 \pi(t)u(t) dt + \int_0^1 r(t) dt.$$

- ▶ **Si (??) est exact sur  $\mathbb{P}_k$  et  $\pi \perp \mathbb{P}_k$ , alors (??) est exact sur  $\mathbb{P}_{2k+1}$  !**



## Intégration numérique

### Optimalité des choix des points/poids de quadrature ?

$$(M_e) \quad \int_0^1 \varphi(t) dt \simeq \sum_{q=0}^k w_q \varphi(t_q).$$

- ▶ **(??) exact sur  $\mathbb{P}_{2k+1}$  ?** Soit  $p \in \mathbb{P}_{2k+1}$  et  $\pi(t) = \prod_{q=0}^k (t - t_q) \in \mathbb{P}_{k+1}$ .
- ▶ Division euclidienne :  $p = \pi u + r$ , avec  $d^\circ u \leq k$  et  $d^\circ r \leq k$ .

$$\sum_{q=0}^k w_q p(t_q) = \sum_{q=0}^k w_q r(t_q). \quad \text{car } \pi(t_q) = 0.$$

$$\int_0^1 p(t) dt = \int_0^1 \pi(t)u(t) dt + \int_0^1 r(t) dt.$$

- ▶ **Si (??) est exact sur  $\mathbb{P}_k$  et  $\pi \perp \mathbb{P}_k$ , alors (??) est exact sur  $\mathbb{P}_{2k+1}$  !**

$\Rightarrow$   **$(t_q) =$  racines du  $(k+1)^e$  polynôme orthogonal pour  $L^2(0,1)$ .**

**Théorème.** Soit  $(P_0, P_1, \dots)$  famille de polynômes orthogonaux (avec  $d^\circ P_i = i$ ) pour le produit scalaire

$$(\varphi, \psi) = \int_0^1 \varphi(t)\psi(t) dt.$$

On note  $(t_q)_{q=0, \dots, k}$  les racines de  $P_{k+1}$ . On détermine les poids  $(w_q)_{q=0, \dots, k}$  t.q. (??) soit exact  $\mathbb{P}_k$ , i.e. solution de

$$\forall i = 0, 1, \dots, k, \quad \sum_{q=0}^k w_q t_q^i = \frac{1}{i+1}.$$

Alors la formule


$$(M_e) \quad \int_0^1 \varphi(t) dt \simeq \sum_{q=0}^k w_q \varphi(t_q).$$

est exacte  $\mathbb{P}_{2k+1}$ . (Méthode de Gauss-Legendre).

- ▶ **Exemple.** Méthode de Gauss-Legendre exacte  $\mathbb{P}_5$ .

$$\int_0^1 \varphi(t) dt \simeq \frac{5}{18} \varphi\left(\frac{1}{2} - \frac{\sqrt{15}}{10}\right) + \frac{4}{9} \varphi\left(\frac{1}{2}\right) + \frac{5}{18} \varphi\left(\frac{1}{2} + \frac{\sqrt{15}}{10}\right).$$


La méthode composée correspondante est en  $\mathcal{O}(N^{-6})$ .

Pour  $k$  grand, le calcul des points n'est pas explicite. 

- ▶ **Exemple.** Méthode de Gauss-Legendre exacte  $\mathbb{P}_5$ .

$$\int_0^1 \varphi(t) dt \simeq \frac{5}{18} \varphi\left(\frac{1}{2} - \frac{\sqrt{15}}{10}\right) + \frac{4}{9} \varphi\left(\frac{1}{2}\right) + \frac{5}{18} \varphi\left(\frac{1}{2} + \frac{\sqrt{15}}{10}\right).$$

La méthode composée correspondante est en  $\mathcal{O}(N^{-6})$ .

Pour  $k$  grand, le calcul des points n'est pas explicite. 

- ▶ **Remarque.** Si le poids  $\omega \geq 0$  est tel que

$$\forall p \in \mathbb{P}, \quad \int_0^1 |p(t)| \omega(t) dt < +\infty,$$

alors on peut faire de même pour le produit scalaire  $L^2(\omega(t) dt)$ .

**Rappel.** Si  $X \hookrightarrow \mathcal{U}([a, b])$  et  $f : [a, b] \rightarrow \mathbb{R}$ , alors

$$\mathbb{E}[f(X)] = \frac{1}{b-a} \int_a^b f(x) dx.$$

Si  $(x_0, x_1, \dots, x_{N-1})$  est une réalisation d'un échantillon issu de la loi de  $X$ , alors

$$\frac{b-a}{N} \sum_{i=0}^{N-1} f(x_i) \quad \text{approche} \quad \int_a^b f(x) dx.$$

**Rappel.** Si  $X \hookrightarrow \mathcal{U}([a, b])$  et  $f : [a, b] \rightarrow \mathbb{R}$ , alors

$$\mathbb{E}[f(X)] = \frac{1}{b-a} \int_a^b f(x) dx.$$

Si  $(x_0, x_1, \dots, x_{N-1})$  est une réalisation d'un échantillon issu de la loi de  $X$ , alors

$$\frac{b-a}{N} \sum_{i=0}^{N-1} f(x_i) \text{ approche } \int_a^b f(x) dx.$$

► Sous matlab :

```
% Rectangles a gauche  
x=a+(b-a)*(0:N-1)/N;  
Irect=(b-a)/N*sum(f(x));
```

```
% Monte-Carlo  
x=a+(b-a)*rand(N,1)/N;  
Imc=(b-a)/N*sum(f(x));
```

► Méthode en  $\mathcal{O}(N^{-\frac{1}{2}})$ , surtout utile en grande dimension.



---

# COURS 3

## Optimisation numérique

---

# Optimisation numérique

Optimiser : une démarche universelle

▶ Mécanique :



# Optimisation numérique

Optimiser : une démarche universelle

- ▶ Mécanique :

- ▶ Équilibre d'un système minimisant une énergie

# Optimisation numérique

Optimiser : une démarche universelle

- ▶ **Mécanique :**
  - ▶ Équilibre d'un système minimisant une énergie
  - ▶ Structure qui maximise la résistance

# Optimisation numérique

Optimiser : une démarche universelle

- ▶ **Mécanique :**
  - ▶ Équilibre d'un système minimisant une énergie
  - ▶ Structure qui maximise la résistance
- ▶ **Transport :**

# Optimisation numérique

Optimiser : une démarche universelle

- ▶ **Mécanique :**

- ▶ Équilibre d'un système minimisant une énergie
- ▶ Structure qui maximise la résistance

- ▶ **Transport :**

- ▶ Minimiser la distance, le temps de trajet, le coût,...

# Optimisation numérique

## Optimiser : une démarche universelle

- ▶ **Mécanique :**
  - ▶ Équilibre d'un système minimisant une énergie
  - ▶ Structure qui maximise la résistance
- ▶ **Transport :**
  - ▶ Minimiser la distance, le temps de trajet, le coût,...
- ▶ **Economie, gestion :**

# Optimisation numérique

## Optimiser : une démarche universelle

- ▶ **Mécanique :**
  - ▶ Équilibre d'un système minimisant une énergie
  - ▶ Structure qui maximise la résistance
- ▶ **Transport :**
  - ▶ Minimiser la distance, le temps de trajet, le coût,...
- ▶ **Economie, gestion :**
  - ▶ Maximiser le profit d'une entreprise

# Optimisation numérique

## Optimiser : une démarche universelle

- ▶ **Mécanique :**
  - ▶ Équilibre d'un système minimisant une énergie
  - ▶ Structure qui maximise la résistance
- ▶ **Transport :**
  - ▶ Minimiser la distance, le temps de trajet, le coût,...
- ▶ **Economie, gestion :**
  - ▶ Maximiser le profit d'une entreprise
  - ▶ Minimiser les risques d'un placement boursier

# Optimisation numérique

## Optimiser : une démarche universelle

- ▶ **Mécanique :**
  - ▶ Équilibre d'un système minimisant une énergie
  - ▶ Structure qui maximise la résistance
- ▶ **Transport :**
  - ▶ Minimiser la distance, le temps de trajet, le coût,...
- ▶ **Economie, gestion :**
  - ▶ Maximiser le profit d'une entreprise
  - ▶ Minimiser les risques d'un placement boursier
- ▶ **Médecine :**



# Optimisation numérique

## Optimiser : une démarche universelle

- ▶ **Mécanique :**
  - ▶ Équilibre d'un système minimisant une énergie
  - ▶ Structure qui maximise la résistance
- ▶ **Transport :**
  - ▶ Minimiser la distance, le temps de trajet, le coût,...
- ▶ **Economie, gestion :**
  - ▶ Maximiser le profit d'une entreprise
  - ▶ Minimiser les risques d'un placement boursier
- ▶ **Médecine :**
  - ▶ Optimiser une thérapie sous contraintes de dosage

# Optimisation numérique

## Optimiser : une démarche universelle

- ▶ **Mécanique :**
  - ▶ Équilibre d'un système minimisant une énergie
  - ▶ Structure qui maximise la résistance
- ▶ **Transport :**
  - ▶ Minimiser la distance, le temps de trajet, le coût,...
- ▶ **Economie, gestion :**
  - ▶ Maximiser le profit d'une entreprise
  - ▶ Minimiser les risques d'un placement boursier
- ▶ **Médecine :**
  - ▶ Optimiser une thérapie sous contraintes de dosage
- ▶ **Imagerie, problèmes inverses :**

# Optimisation numérique

## Optimiser : une démarche universelle

- ▶ **Mécanique :**
  - ▶ Équilibre d'un système minimisant une énergie
  - ▶ Structure qui maximise la résistance
- ▶ **Transport :**
  - ▶ Minimiser la distance, le temps de trajet, le coût,...
- ▶ **Economie, gestion :**
  - ▶ Maximiser le profit d'une entreprise
  - ▶ Minimiser les risques d'un placement boursier
- ▶ **Médecine :**
  - ▶ Optimiser une thérapie sous contraintes de dosage
- ▶ **Imagerie, problèmes inverses :**
  - ▶ Restaurer une image abîmée par minimisation de variation

# Optimisation numérique

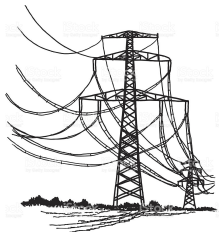
## Optimiser : une démarche universelle

- ▶ **Mécanique :**
  - ▶ Équilibre d'un système minimisant une énergie
  - ▶ Structure qui maximise la résistance
- ▶ **Transport :**
  - ▶ Minimiser la distance, le temps de trajet, le coût,...
- ▶ **Economie, gestion :**
  - ▶ Maximiser le profit d'une entreprise
  - ▶ Minimiser les risques d'un placement boursier
- ▶ **Médecine :**
  - ▶ Optimiser une thérapie sous contraintes de dosage
- ▶ **Imagerie, problèmes inverses :**
  - ▶ Restaurer une image abimée par minimisation de variation
  - ▶ Résoudre des équations de forme  $\varphi(x) = y$  en minimisant

$$f(x) = \|\varphi(x) - y\|^2$$

# Optimisation numérique

## Position d'un câble soumis à la gravité



*Quelle est la position exacte, la tension (mécanique), la distance au sol... des lignes HT ?*

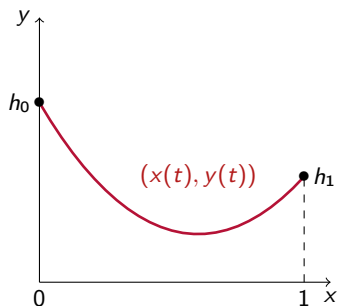


*Idem pour les câbles d'un téléphérique ?*

*Les câbles **minimisent** leur énergie potentielle*

# Optimisation numérique

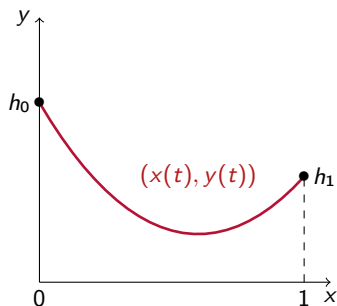
## Modélisation : câbles HT



- ▶ Inconnue : arc paramétré  $(x(t), y(t))$
- ▶ Contraintes :
  - ▶ longueur totale  $L$ ,
  - ▶ extrémités fixées.

# Optimisation numérique

## Modélisation : câbles HT



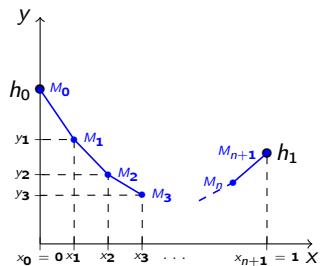
- ▶ Inconnue : arc paramétré  $(x(t), y(t))$
- ▶ Contraintes :
  - ▶ longueur totale  $L$ ,
  - ▶ extrémités fixées.

### Théorème de l'énergie potentielle.

*Le câble est à l'équilibre s'il minimise son énergie potentielle*

# Optimisation numérique

## Modélisation du câble HT : discrétisation

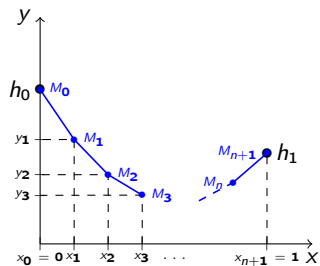


## Discrétisation de l'espace



# Optimisation numérique

## Modélisation du câble HT : discrétisation

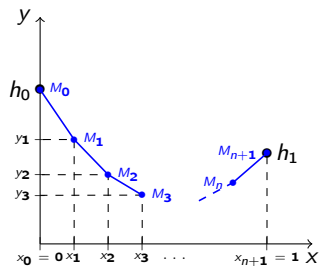


## Discrétisation de l'espace

- ▶ Câble affine par morceaux

# Optimisation numérique

## Modélisation du câble HT : discrétisation

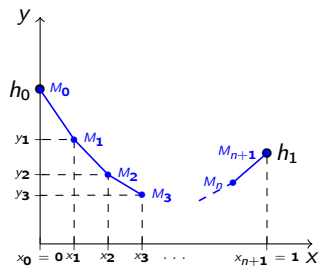


### Discrétisation de l'espace

- ▶ Câble affine par morceaux
- ▶  $M_i = (x_i, y_i)$ .

# Optimisation numérique

## Modélisation du câble HT : discrétisation



### Discrétisation de l'espace

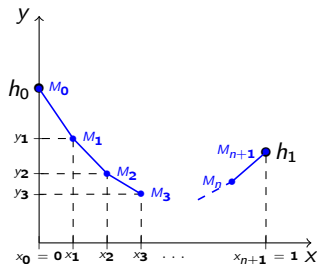
- ▶ Câble affine par morceaux
- ▶  $M_i = (x_i, y_i)$ .
- ▶ On note

$$x = (x_1, \dots, x_n), \quad y = (y_1, \dots, y_n).$$

$$\text{et } y_0 = h_0, \quad y_{n+1} = h_1.$$

# Optimisation numérique

## Modélisation du câble HT : discrétisation



### Discrétisation de l'espace

► Câble affine par morceaux

►  $M_i = (x_i, y_i)$ .

► On note

$$x = (x_1, \dots, x_n), \quad y = (y_1, \dots, y_n).$$

$$\text{et } y_0 = h_0, \quad y_{n+1} = h_1.$$

Problème discret :  $\min \{ f(x, y) ; (x, y) \in K \}$

avec

►  $f(x, y) = \sum_{i=1}^n y_i$

►  $K = \left\{ (x, y) \in \mathbb{R}^{2n} ; (x_{i+1} - x_i)^2 + (y_{i+1} - y_i)^2 = \frac{L^2}{(n+1)^2}, \forall i = 0 \dots n \right\}$ .

**Problème d'optimisation.**

$$\min_{u \in K} f(u)$$

avec  $K \subset \mathbb{R}^N$  et  $f : K \rightarrow \mathbb{R}$ .

### Problème d'optimisation.

$$\min_{u \in K} f(u)$$

avec  $K \subset \mathbb{R}^N$  et  $f : K \rightarrow \mathbb{R}$ .

### Vocabulaire :

- ▶  $f$  : **fonction objectif** ou **énergie**.

### Problème d'optimisation.

$$\min_{u \in K} f(u)$$

avec  $K \subset \mathbb{R}^N$  et  $f : K \rightarrow \mathbb{R}$ .

### Vocabulaire :

- ▶  $f$  : **fonction objectif** ou énergie.
- ▶  $\mathbb{R}^N$  : **espace des paramètres**.

### Problème d'optimisation.

$$\min_{u \in K} f(u)$$

avec  $K \subset \mathbb{R}^N$  et  $f : K \rightarrow \mathbb{R}$ .

### Vocabulaire :

- ▶  $f$  : **fonction objectif** ou énergie.
- ▶  $\mathbb{R}^N$  : **espace des paramètres**.
- ▶  $K$  : **ensemble admissible**.



### Problème d'optimisation.

$$\min_{u \in K} f(u)$$

avec  $K \subset \mathbb{R}^N$  et  $f : K \rightarrow \mathbb{R}$ .

### Vocabulaire :

- ▶  $f$  : **fonction objectif** ou énergie.
- ▶  $\mathbb{R}^N$  : **espace des paramètres**.
- ▶  $K$  : **ensemble admissible**.
- ▶ **Solution** : point  $u^* \in K$  qui minimise  $f$  sur  $K$  ; on écrit

$$f(u^*) = \min_{u \in K} f(u) \quad \text{et aussi} \quad u^* = \operatorname{argmin}_{u \in K} f(u)$$

### Problème d'optimisation.

$$\min_{u \in K} f(u)$$

avec  $K \subset \mathbb{R}^N$  et  $f : K \rightarrow \mathbb{R}$ .

### Vocabulaire :

- ▶  $f$  : **fonction objectif** ou énergie.
- ▶  $\mathbb{R}^N$  : **espace des paramètres**.
- ▶  $K$  : **ensemble admissible**.
- ▶ **Solution** : point  $u^* \in K$  qui minimise  $f$  sur  $K$  ; on écrit

$$f(u^*) = \min_{u \in K} f(u) \quad \text{et aussi} \quad u^* = \operatorname{argmin}_{u \in K} f(u)$$

- ▶  $f(u^*)$  : **minimum** de  $f$  sur  $K$ .

### Problème d'optimisation.

$$\min_{u \in K} f(u)$$

avec  $K \subset \mathbb{R}^N$  et  $f : K \rightarrow \mathbb{R}$ .

### Vocabulaire :

- ▶  $f$  : **fonction objectif** ou **énergie**.
- ▶  $\mathbb{R}^N$  : **espace des paramètres**.
- ▶  $K$  : **ensemble admissible**.
- ▶ **Solution** : point  $u^* \in K$  qui minimise  $f$  sur  $K$  ; on écrit

$$f(u^*) = \min_{u \in K} f(u) \quad \text{et aussi} \quad u^* = \operatorname{argmin}_{u \in K} f(u)$$

- ▶  $f(u^*)$  : **minimum** de  $f$  sur  $K$ .

**Attention** : Il peut y avoir zéro, une ou plusieurs solutions au problème.

# Optimisation libre dans $\mathbb{R}$

## Optimisation numérique

### Quelques définitions

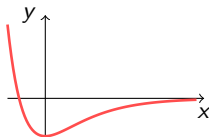
**Définition.** Une fonction  $f : \mathbb{R} \mapsto \mathbb{R}$  est **unimodale** s'il existe  $x^* \in \mathbb{R}$  tel que  $f$  soit strictement décroissante sur  $] - \infty, x^* [$  et strictement croissante sur  $]x^*, +\infty [$ .

# Optimisation numérique

## Quelques définitions

**Définition.** Une fonction  $f : \mathbb{R} \mapsto \mathbb{R}$  est **unimodale** s'il existe  $x^* \in \mathbb{R}$  tel que  $f$  soit strictement décroissante sur  $] -\infty, x^* [$  et strictement croissante sur  $]x^*, +\infty [$ .

Exemple :  $x \mapsto e^{-2x} - 2e^{-x}$



# Optimisation numérique

## Quelques définitions

**Définition.** Une fonction  $f : \mathbb{R} \mapsto \mathbb{R}$  est **unimodale** s'il existe  $x^* \in \mathbb{R}$  tel que  $f$  soit strictement décroissante sur  $] - \infty, x^* [$  et strictement croissante sur  $]x^*, +\infty [$ .

**Définition.** Une fonction  $f : \mathbb{R} \mapsto \mathbb{R}$  est **coercive** si  $\lim_{|x| \rightarrow +\infty} f(x) = +\infty$ .

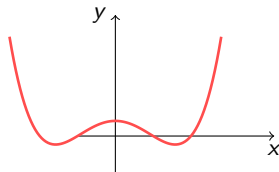
# Optimisation numérique

## Quelques définitions

**Définition.** Une fonction  $f : \mathbb{R} \mapsto \mathbb{R}$  est **unimodale** s'il existe  $x^* \in \mathbb{R}$  tel que  $f$  soit strictement décroissante sur  $] - \infty, x^* [$  et strictement croissante sur  $] x^*, +\infty [$ .

**Définition.** Une fonction  $f : \mathbb{R} \mapsto \mathbb{R}$  est **coercive** si  $\lim_{|x| \rightarrow +\infty} f(x) = +\infty$ .

Exemple :  $x \mapsto x^4 - 5x^3 + 4$





# Optimisation numérique

## Quelques définitions

**Définition.** Une fonction  $f : \mathbb{R} \mapsto \mathbb{R}$  est **unimodale** s'il existe  $x^* \in \mathbb{R}$  tel que  $f$  soit strictement décroissante sur  $] - \infty, x^* [$  et strictement croissante sur  $]x^*, +\infty [$ .

**Définition.** Une fonction  $f : \mathbb{R} \mapsto \mathbb{R}$  est **coercive** si  $\lim_{|x| \rightarrow +\infty} f(x) = +\infty$ .

**Définition.** Une fonction  $f : \mathbb{R} \mapsto \mathbb{R}$  de classe  $\mathcal{C}^2$  est **fortement convexe** ssi  $\exists \alpha > 0$  tel que pour tout  $x \in \mathbb{R}$ ,  $f''(x) \geq \alpha$ . (On dit aussi  **$\alpha$ -convexe**).

# Optimisation numérique

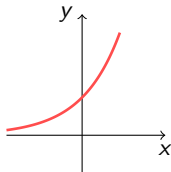
## Quelques définitions

**Définition.** Une fonction  $f : \mathbb{R} \mapsto \mathbb{R}$  est **unimodale** s'il existe  $x^* \in \mathbb{R}$  tel que  $f$  soit strictement décroissante sur  $] - \infty, x^* [$  et strictement croissante sur  $]x^*, +\infty [$ .

**Définition.** Une fonction  $f : \mathbb{R} \mapsto \mathbb{R}$  est **coercive** si  $\lim_{|x| \rightarrow +\infty} f(x) = +\infty$ .

**Définition.** Une fonction  $f : \mathbb{R} \mapsto \mathbb{R}$  de classe  $\mathcal{C}^2$  est **fortement convexe** ssi  $\exists \alpha > 0$  tel que pour tout  $x \in \mathbb{R}$ ,  $f''(x) \geq \alpha$ . (On dit aussi  **$\alpha$ -convexe**).

**Exemple :**  $x \mapsto e^x$  strictement convexe, mais pas fortement convexe.



# Optimisation numérique

## Quelques définitions

**Définition.** Une fonction  $f : \mathbb{R} \mapsto \mathbb{R}$  est **unimodale** s'il existe  $x^* \in \mathbb{R}$  tel que  $f$  soit strictement décroissante sur  $] - \infty, x^* [$  et strictement croissante sur  $]x^*, +\infty [$ .

**Définition.** Une fonction  $f : \mathbb{R} \mapsto \mathbb{R}$  est **coercive** si  $\lim_{|x| \rightarrow +\infty} f(x) = +\infty$ .

**Définition.** Une fonction  $f : \mathbb{R} \mapsto \mathbb{R}$  de classe  $\mathcal{C}^2$  est **fortement convexe** ssi  $\exists \alpha > 0$  tel que pour tout  $x \in \mathbb{R}$ ,  $f''(x) \geq \alpha$ . (On dit aussi  **$\alpha$ -convexe**).

### Proposition.

- ▶ fortement convexe  $\Rightarrow$  coercive
- ▶ fortement convexe et coercive  $\Rightarrow$  unimodale

# Optimisation numérique

## Méthode de dichotomie 1

But : résoudre  $F(x) = 0$

- ▶  $F : \mathbb{R} \rightarrow \mathbb{R}$  **croissante** et **continue**, s'annule en  $x^* \in [a_0, b_0]$ .

But : résoudre  $F(x) = 0$

- ▶  $F : \mathbb{R} \rightarrow \mathbb{R}$  **croissante** et **continue**, s'annule en  $x^* \in [a_0, b_0]$ .
- ▶ On construit  $(a_n)$ ,  $(b_n)$  par l'algorithme

On pose  $x_n = \frac{a_n + b_n}{2}$ .

- ▶ Si  $F(x_n) \leq 0$ ,

$$a_{n+1} = x_n, \quad \text{et} \quad b_{n+1} = b_n.$$

- ▶ Si  $F(x_n) > 0$ ,

$$a_{n+1} = a_n, \quad \text{et} \quad b_{n+1} = x_n.$$

But : résoudre  $F(x) = 0$

- ▶  $F : \mathbb{R} \rightarrow \mathbb{R}$  **croissante** et **continue**, s'annule en  $x^* \in [a_0, b_0]$ .
- ▶ On construit  $(a_n)$ ,  $(b_n)$  par l'algorithme

On pose  $x_n = \frac{a_n + b_n}{2}$ .

- ▶ Si  $F(x_n) \leq 0$ ,

$$a_{n+1} = x_n, \quad \text{et} \quad b_{n+1} = b_n.$$

- ▶ Si  $F(x_n) > 0$ ,

$$a_{n+1} = a_n, \quad \text{et} \quad b_{n+1} = x_n.$$

**Proposition.** La méthode converge à vitesse géométrique :

$$\forall n \in \mathbb{N}, \quad |x_n - x^*| \leq \frac{b_0 - a_0}{2^{n+1}}.$$

But : résoudre  $\min f(x)$

- ▶  $f : \mathbb{R} \rightarrow \mathbb{R}$  **unimodale** et **dérivable**, minimale en  $x^* \in [a_0, b_0]$ .

But : résoudre  $\min f(x)$

- ▶  $f : \mathbb{R} \rightarrow \mathbb{R}$  **unimodale** et **dérivable**, minimale en  $x^* \in [a_0, b_0]$ .
- ▶ On construit  $(a_n), (b_n)$  par l'algorithme

On pose  $x_n = \frac{a_n + b_n}{2}$ .

- ▶ Si  $f'(x_n) \leq 0$ ,

$$a_{n+1} = x_n, \quad \text{et} \quad b_{n+1} = b_n.$$

- ▶ Si  $f'(x_n) > 0$ ,

$$a_{n+1} = a_n, \quad \text{et} \quad b_{n+1} = x_n.$$



But : résoudre  $\min f(x)$

- ▶  $f : \mathbb{R} \rightarrow \mathbb{R}$  **unimodale** et **dérivable**, minimale en  $x^* \in [a_0, b_0]$ .
- ▶ On construit  $(a_n), (b_n)$  par l'algorithme

On pose  $x_n = \frac{a_n + b_n}{2}$ .

- ▶ Si  $f'(x_n) \leq 0$ ,

$$a_{n+1} = x_n, \quad \text{et} \quad b_{n+1} = b_n.$$

- ▶ Si  $f'(x_n) > 0$ ,

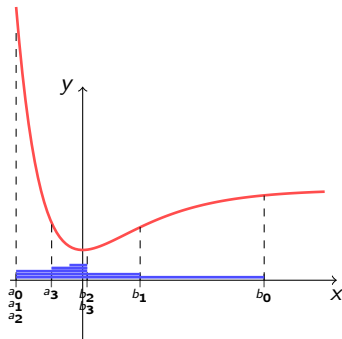
$$a_{n+1} = a_n, \quad \text{et} \quad b_{n+1} = x_n.$$

**Proposition.** La méthode converge à vitesse géométrique :

$$\forall n \in \mathbb{N}, \quad |x_n - x^*| \leq \frac{b_0 - a_0}{2^{n+1}}.$$

# Optimisation numérique

## Méthode de dichotomie 2



### Avantages :

- ▶ Très simple à mettre en œuvre.
- ▶ Convergence rapide.

### Inconvénient :

- ▶ Évaluation de  $f'$ .

**Coût :** À chaque itération, on évalue seulement une fois la dérivée de  $f$ .

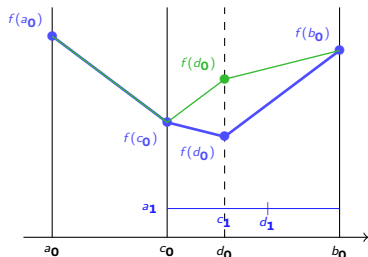


[DichoGold.m]

# Optimisation numérique

## Méthode du nombre d'or

Soit  $f : \mathbb{R} \rightarrow \mathbb{R}$  **unimodale**, minimale en  $x^* \in [a_0, b_0]$ .



**Principe :** On évalue  $f$  en les 4 points

$$a_0 < c_0 < d_0 < b_0.$$

**Deux cas :**

- ▶ Si  $f(d_0) < f(c_0)$  alors  $x^* \in [c_0, b_0]$
- ▶ Si  $f(d_0) > f(c_0)$  alors  $x^* \in [a_0, d_0]$

▶ La taille de l'intervalle diminue à chaque étape.

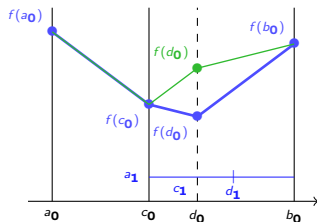
▶ **Coût :** À chaque itération, une seule nouvelle évaluation de  $f$ .



# Optimisation numérique

## Méthode du nombre d'or

Quel rapport avec le nombre d'or ?



► Par symétrie on impose

$$b_0 - c_0 = d_0 - a_0.$$

► Pour conserver le ratio des intervalles

$$\gamma = \frac{b_0 - a_0}{b_0 - c_0} = \frac{b_1 - a_1}{b_1 - c_1} = \frac{b_0 - c_0}{b_0 - d_0}$$

$$\frac{1}{\gamma} = \frac{b_0 - d_0}{b_0 - c_0} = \gamma - \frac{a_0 - d_0}{b_0 - c_0} = \gamma - 1$$

Donc  $\gamma^2 - \gamma - 1 = 0$  et ainsi

$$\gamma = \frac{1 + \sqrt{5}}{2}$$

# Optimisation numérique

## Méthode du nombre d'or

- ▶  $f : \mathbb{R} \rightarrow \mathbb{R}$  **unimodale**, minimale en  $x^* \in [a_0, b_0]$ .
- ▶ On construit  $(a_n), (b_n)$  par l'algorithme

▶ Si  $f(c_n) \leq f(d_n)$ ,

$$\begin{cases} a_{n+1} &= a_n \\ b_{n+1} &= d_n \\ c_{n+1} &= b_{n+1} - \frac{b_{n+1} - a_{n+1}}{\gamma} \\ d_{n+1} &= c_n \end{cases}$$

▶ Si  $f(c_n) > f(d_n)$ ,

$$\begin{cases} a_{n+1} &= c_n \\ b_{n+1} &= b_n \\ c_{n+1} &= d_n \\ d_{n+1} &= a_{n+1} + \frac{b_{n+1} - a_{n+1}}{\gamma} \end{cases}$$

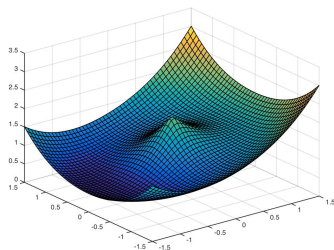
**Proposition.** La méthode converge à vitesse géométrique :

$$\forall n \in \mathbb{N}, \quad \left| \frac{a_n + b_n}{2} - x^* \right| \leq \frac{1}{2}(b_0 - a_0)\gamma^{-n}.$$

# Optimisation libre dans $\mathbb{R}^N$

Exemple :

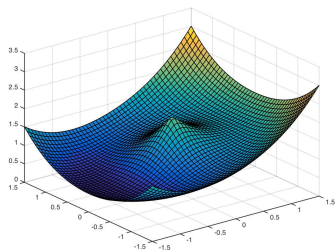
$$f(x) = \left( \sqrt{x_1^2 + x_2^2} - 1 \right)^2 + \frac{x_1}{2} + 1.$$



Exemple :

$$f(x) = \left( \sqrt{x_1^2 + x_2^2} - 1 \right)^2 + \frac{x_1}{2} + 1.$$

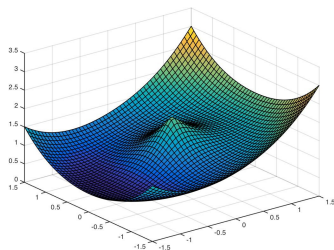
À partir d'un point initial  $x^0 \in \mathbb{R}^N$ ,





Exemple :

$$f(x) = \left( \sqrt{x_1^2 + x_2^2} - 1 \right)^2 + \frac{x_1}{2} + 1.$$

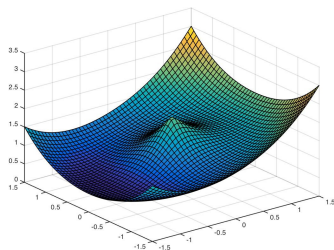


À partir d'un point initial  $x^0 \in \mathbb{R}^N$ ,

- ▶ on choisit une direction de descente  $d^0 \in \mathbb{R}^N$  et un pas  $\rho_0 > 0$ ,

Exemple :

$$f(x) = \left( \sqrt{x_1^2 + x_2^2} - 1 \right)^2 + \frac{x_1}{2} + 1.$$

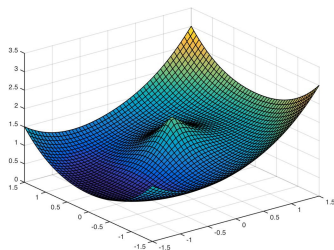


À partir d'un point initial  $x^0 \in \mathbb{R}^N$ ,

- ▶ on choisit une direction de descente  $d^0 \in \mathbb{R}^N$  et un pas  $\rho_0 > 0$ ,
- ▶ on obtient un nouveau point  $x^1 = x^0 + \rho_0 d^0$ ,

Exemple :

$$f(x) = \left( \sqrt{x_1^2 + x_2^2} - 1 \right)^2 + \frac{x_1}{2} + 1.$$

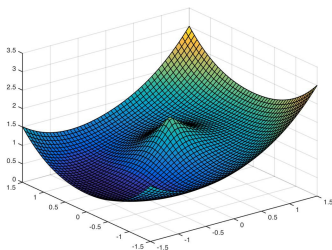


À partir d'un point initial  $x^0 \in \mathbb{R}^N$ ,

- ▶ on choisit une direction de descente  $d^0 \in \mathbb{R}^N$  et un pas  $\rho_0 > 0$ ,
- ▶ on obtient un nouveau point  $x^1 = x^0 + \rho_0 d^0$ ,
- ▶ on itère le processus :  $x^{n+1} = x^n + \rho_n d^n$

Exemple :

$$f(x) = \left( \sqrt{x_1^2 + x_2^2} - 1 \right)^2 + \frac{x_1}{2} + 1.$$



À partir d'un point initial  $x^0 \in \mathbb{R}^N$ ,

- ▶ on choisit une direction de descente  $d^0 \in \mathbb{R}^N$  et un pas  $\rho_0 > 0$ ,
- ▶ on obtient un nouveau point  $x^1 = x^0 + \rho_0 d^0$ ,
- ▶ on itère le processus :  $x^{n+1} = x^n + \rho_n d^n$

**But.** faire en sorte que  $f(x^{n+1}) \leq f(x^n)$ .



# Optimisation numérique

## Gradient à pas fixe

Comment choisir la direction  $d^n$  ?

- ▶ On veut  $(f(x^n))_n$  décroissante.

# Optimisation numérique

## Gradient à pas fixe

### Comment choisir la direction $d^n$ ?

- ▶ On veut  $(f(x^n))_n$  décroissante.
- ▶ On choisit  $d^n$  telle que  $\varphi : t \mapsto f(x^n + td^n)$  soit décroissante au voisinage de 0.

# Optimisation numérique

## Gradient à pas fixe

### Comment choisir la direction $d^n$ ?

- ▶ On veut  $(f(x^n))_n$  décroissante.
- ▶ On choisit  $d^n$  telle que  $\varphi : t \mapsto f(x^n + td^n)$  soit décroissante au voisinage de 0.
- ▶ Or  $\varphi'(0) = (\nabla f(x^n) \mid d^n)$ .

# Optimisation numérique

## Gradient à pas fixe

### Comment choisir la direction $d^n$ ?

- ▶ On veut  $(f(x^n))_n$  décroissante.
- ▶ On choisit  $d^n$  telle que  $\varphi : t \mapsto f(x^n + td^n)$  soit décroissante au voisinage de 0.
- ▶ Or  $\varphi'(0) = (\nabla f(x^n) \mid d^n)$ .
- ▶ Un choix simple est

$$d^n = -\nabla f(x^n).$$



### Comment choisir la direction $d^n$ ?

- ▶ On veut  $(f(x^n))_n$  décroissante.
- ▶ On choisit  $d^n$  telle que  $\varphi : t \mapsto f(x^n + td^n)$  soit décroissante au voisinage de 0.
- ▶ Or  $\varphi'(0) = (\nabla f(x^n) | d^n)$ .
- ▶ Un choix simple est

$$d^n = -\nabla f(x^n).$$

**Méthode du gradient à pas fixe.** Elle est définie par

$$\begin{cases} x^0 \in \mathbb{R}^N, \\ x^{n+1} = x^n - \rho \nabla f(x^n). \end{cases}$$

avec  $\rho > 0$ .

## Optimisation numérique

### Gradient à pas fixe : convergence

**Théorème.** Soit  $f \in \mathcal{C}^1(\mathbb{R}^N, \mathbb{R})$  strictement convexe et coercive telle que

$$(*) \quad \exists M > 0, \quad \forall x, y \in \mathbb{R}^N, \quad \|\nabla f(x) - \nabla f(y)\|_2 \leq M \|x - y\|_2.$$

Si  $0 < \rho < \frac{2}{M}$  alors la méthode du gradient à pas fixe **converge**.

La limite est l'unique point de minimum global de  $f$ .

## Optimisation numérique

### Gradient à pas fixe : convergence

**Théorème.** Soit  $f \in \mathcal{C}^1(\mathbb{R}^N, \mathbb{R})$  strictement convexe et coercive telle que

$$(*) \quad \exists M > 0, \quad \forall x, y \in \mathbb{R}^N, \quad \|\nabla f(x) - \nabla f(y)\|_2 \leq M \|x - y\|_2.$$

Si  $0 < \rho < \frac{2}{M}$  alors la méthode du gradient à pas fixe **converge**.

La limite est l'unique point de minimum global de  $f$ .

### Remarques :

- ▶ Condition (??) :  $x \mapsto \nabla f(x)$  est globalement  $M$ -lipschitzienne sur  $\mathbb{R}^N$ .
- ▶ Si on ajoute l'hypothèse ( $f$  est fortement convexe)

$$\exists \alpha > 0, \quad \forall x, y \in \mathbb{R}^N, \quad (Hf(x)y|y) \geq \alpha \|y\|^2.$$

et  $\rho < \frac{2\alpha}{M^2}$  alors la convergence est **géométrique**.

# Optimisation numérique

## Rappel sur la convexité

Pour des fonctions de classe  $\mathcal{C}^2$

$f : \mathbb{R} \rightarrow \mathbb{R}$	$f : \mathbb{R}^N \rightarrow \mathbb{R}$	
$f'' \geq 0$	$\forall x, y \in \mathbb{R}^N, (Hf(x)y y) \geq 0$	convexe
$f'' > 0$	$\forall x, y \in \mathbb{R}^N, y \neq 0, (Hf(x)y y) > 0$	$\implies$ strictement convexe
$f'' \geq \alpha$	$\forall x, y \in \mathbb{R}^N, (Hf(x)y y) \geq \alpha \ y\ _2^2$	fortement convexe ( $\alpha > 0$ )

### Peut-on faire mieux ?

- ▶ On peut chercher le meilleur pas possible à chaque étape :

$$\rho_n \text{ minimise } \rho \mapsto f(x^n - \rho \nabla f(x^n)).$$

**Vocabulaire** : cette étape est dite *recherche linéaire*.

**Méthode** : type dichotomie.

### Peut-on faire mieux ?

- ▶ On peut chercher le meilleur pas possible à chaque étape :

$$\rho_n \text{ minimise } \rho \mapsto f(x^n - \rho \nabla f(x^n)).$$

**Vocabulaire** : cette étape est dite *recherche linéaire*.

**Méthode** : type dichotomie.

**Méthode du gradient à pas optimal.** Elle est définie par

$$\begin{cases} x^0 \in \mathbb{R}^N, \\ \rho_n = \arg \min_{\rho \in \mathbb{R}} f(x^n - \rho \nabla f(x^n)) \\ x^{n+1} = x^n - \rho_n \nabla f(x^n). \end{cases}$$

### Peut-on faire mieux ?

- ▶ On peut chercher le meilleur pas possible à chaque étape :

$$\rho_n \text{ minimise } \rho \mapsto f(x^n - \rho \nabla f(x^n)).$$

**Vocabulaire** : cette étape est dite *recherche linéaire*.

**Méthode** : type dichotomie.

**Méthode du gradient à pas optimal.** Elle est définie par

$$\begin{cases} x^0 \in \mathbb{R}^N, \\ \rho_n = \arg \min_{\rho \in \mathbb{R}} f(x^n - \rho \nabla f(x^n)) \\ x^{n+1} = x^n - \rho_n \nabla f(x^n). \end{cases}$$

**Remarque.** même type de résultats de convergence que pour le pas fixe.

## Optimisation numérique

### Gradient à pas optimal pour les moindres carrés

**Exemple :** Minimisation de  $f(x) = \|Ax - b\|_2^2$ .

- ▶ On parle de résolution de  $Ax = b$  *au sens des moindres carrés*.



## Optimisation numérique

### Gradient à pas optimal pour les moindres carrés

**Exemple :** Minimisation de  $f(x) = \|Ax - b\|_2^2$ .

- ▶ On parle de résolution de  $Ax = b$  *au sens des moindres carrés*.
- ▶ Éventuellement,  $A$  est rectangulaire (injective).

## Optimisation numérique

### Gradient à pas optimal pour les moindres carrés

**Exemple :** Minimisation de  $f(x) = \|Ax - b\|_2^2$ .

- ▶ On parle de résolution de  $Ax = b$  *au sens des moindres carrés*.
- ▶ Éventuellement,  $A$  est rectangulaire (injective).
- ▶ Lien avec l'approximation polynomiale.

## Optimisation numérique

### Gradient à pas optimal pour les moindres carrés

**Exemple :** Minimisation de  $f(x) = \|Ax - b\|_2^2$ .

- ▶ On parle de résolution de  $Ax = b$  *au sens des moindres carrés*.
- ▶ Éventuellement,  $A$  est rectangulaire (injective).
- ▶ Lien avec l'approximation polynomiale.
- ▶ Rappel :  $\nabla f(x) = 2A^T(Ax - b)$

## Optimisation numérique

### Gradient à pas optimal pour les moindres carrés

**Exemple :** Minimisation de  $f(x) = \|Ax - b\|_2^2$ .

- ▶ On parle de résolution de  $Ax = b$  *au sens des moindres carrés*.
- ▶ Éventuellement,  $A$  est rectangulaire (injective).
- ▶ Lien avec l'approximation polynomiale.
- ▶ Rappel :  $\nabla f(x) = 2A^T(Ax - b)$

Pour trouver le pas optimal, il faut résoudre

$$\min_{\rho > 0} f(x - \rho \nabla f(x)).$$

## Optimisation numérique

### Gradient à pas optimal pour les moindres carrés

**Exemple :** Minimisation de  $f(x) = \|Ax - b\|_2^2$ .

- ▶ On parle de résolution de  $Ax = b$  au sens des moindres carrés.
- ▶ Éventuellement,  $A$  est rectangulaire (injective).
- ▶ Lien avec l'approximation polynomiale.
- ▶ Rappel :  $\nabla f(x) = 2A^T(Ax - b)$

Pour trouver le pas optimal, il faut résoudre

$$\min_{\rho > 0} f(x - \rho \nabla f(x)).$$

$$f(x - \rho \nabla f(x)) = \|Ax - b - \rho A \nabla f(x)\|_2^2$$

## Optimisation numérique

### Gradient à pas optimal pour les moindres carrés

**Exemple :** Minimisation de  $f(x) = \|Ax - b\|_2^2$ .

- ▶ On parle de résolution de  $Ax = b$  *au sens des moindres carrés*.
- ▶ Éventuellement,  $A$  est rectangulaire (injective).
- ▶ Lien avec l'approximation polynomiale.
- ▶ Rappel :  $\nabla f(x) = 2A^T(Ax - b)$

Pour trouver le pas optimal, il faut résoudre

$$\min_{\rho > 0} f(x - \rho \nabla f(x)).$$

$$f(x - \rho \nabla f(x)) = \|Ax - b\|_2^2 - 2\rho(Ax - b|A\nabla f(x)) + \rho^2 \|A\nabla f(x)\|_2^2$$

## Optimisation numérique

### Gradient à pas optimal pour les moindres carrés

**Exemple :** Minimisation de  $f(x) = \|Ax - b\|_2^2$ .

- ▶ On parle de résolution de  $Ax = b$  *au sens des moindres carrés*.
- ▶ Éventuellement,  $A$  est rectangulaire (injective).
- ▶ Lien avec l'approximation polynomiale.
- ▶ Rappel :  $\nabla f(x) = 2A^T(Ax - b)$

Pour trouver le pas optimal, il faut résoudre

$$\min_{\rho > 0} f(x - \rho \nabla f(x)).$$

$$f(x - \rho \nabla f(x)) = \|Ax - b\|_2^2 - 2\rho(A^T Ax - A^T b | \nabla f(x)) + \rho^2 \|A \nabla f(x)\|_2^2$$

## Optimisation numérique

### Gradient à pas optimal pour les moindres carrés

**Exemple :** Minimisation de  $f(x) = \|Ax - b\|_2^2$ .

- ▶ On parle de résolution de  $Ax = b$  au sens des moindres carrés.
- ▶ Éventuellement,  $A$  est rectangulaire (injective).
- ▶ Lien avec l'approximation polynomiale.
- ▶ Rappel :  $\nabla f(x) = 2A^T(Ax - b)$

Pour trouver le pas optimal, il faut résoudre

$$\min_{\rho > 0} f(x - \rho \nabla f(x)).$$

$$f(x - \rho \nabla f(x)) = \rho^2 \|A \nabla f(x)\|_2^2 - \rho \|\nabla f(x)\|_2^2 + \|Ax - b\|_2^2$$



## Optimisation numérique

### Gradient à pas optimal pour les moindres carrés

**Exemple :** Minimisation de  $f(x) = \|Ax - b\|_2^2$ .

- ▶ On parle de résolution de  $Ax = b$  au sens des moindres carrés.
- ▶ Éventuellement,  $A$  est rectangulaire (injective).
- ▶ Lien avec l'approximation polynomiale.
- ▶ Rappel :  $\nabla f(x) = 2A^T(Ax - b)$

Pour trouver le pas optimal, il faut résoudre

$$\min_{\rho > 0} f(x - \rho \nabla f(x)).$$

$$f(x - \rho \nabla f(x)) = \rho^2 \|A \nabla f(x)\|_2^2 - \rho \|\nabla f(x)\|_2^2 + \|Ax - b\|_2^2$$

C'est un polynôme de degré 2 en  $\rho$  !

## Optimisation numérique

### Gradient à pas optimal pour les moindres carrés

**Exemple :** Minimisation de  $f(x) = \|Ax - b\|_2^2$ .

- ▶ On parle de résolution de  $Ax = b$  *au sens des moindres carrés*.
- ▶ Éventuellement,  $A$  est rectangulaire (injective).
- ▶ Lien avec l'approximation polynomiale.
- ▶ Rappel :  $\nabla f(x) = 2A^T(Ax - b)$

Pour trouver le pas optimal, il faut résoudre

$$\min_{\rho > 0} f(x - \rho \nabla f(x)).$$

$$f(x - \rho \nabla f(x)) = \rho^2 \|A \nabla f(x)\|_2^2 - \rho \|\nabla f(x)\|_2^2 + \|Ax - b\|_2^2$$

C'est un polynôme de degré 2 en  $\rho$  !

$$\rho^* = \frac{\|\nabla f(x)\|_2^2}{2 \|A \nabla f(x)\|_2^2}.$$

- ▶ Résolution d'une équation  $F(x) = 0$  avec  $F \in \mathcal{C}^1(\mathbb{R}^N, \mathbb{R}^N)$ .

### Méthode de Newton pour les zéros de F

$$\begin{cases} x^0 \in \mathbb{R}^N, \\ x^{n+1} = x^n - JF(x^n)^{-1}F(x^n). \end{cases}$$

- ▶ Résolution d'une équation  $F(x) = 0$  avec  $F \in \mathcal{C}^1(\mathbb{R}^N, \mathbb{R}^N)$ .

### Méthode de Newton pour les zéros de F

$$\begin{cases} x^0 \in \mathbb{R}^N, \\ x^{n+1} = x^n - JF(x^n)^{-1}F(x^n). \end{cases}$$

Faire un dessin 1D

- ▶ Résolution d'une équation  $F(x) = 0$  avec  $F \in \mathcal{C}^1(\mathbb{R}^N, \mathbb{R}^N)$ .

### Méthode de Newton pour les zéros de F

$$\begin{cases} x^0 \in \mathbb{R}^N, \\ x^{n+1} = x^n - JF(x^n)^{-1}F(x^n). \end{cases}$$

- ▶ Minimisation de  $f \in \mathcal{C}^2(\mathbb{R}^N, \mathbb{R})$ . On résout  $\nabla f(x) = 0$ .

### Méthode de Newton pour minimiser f

$$\begin{cases} x^0 \in \mathbb{R}^N, \\ x^{n+1} = x^n - Hf(x^n)^{-1}\nabla f(x^n). \end{cases}$$

- ▶ Résolution d'une équation  $F(x) = 0$  avec  $F \in \mathcal{C}^1(\mathbb{R}^N, \mathbb{R}^N)$ .

### Méthode de Newton pour les zéros de F

$$\begin{cases} x^0 \in \mathbb{R}^N, \\ x^{n+1} = x^n - JF(x^n)^{-1}F(x^n). \end{cases}$$

- ▶ Minimisation de  $f \in \mathcal{C}^2(\mathbb{R}^N, \mathbb{R})$ . On résout  $\nabla f(x) = 0$ .

### Méthode de Newton pour minimiser f

$$\begin{cases} x^0 \in \mathbb{R}^N, \\ x^{n+1} = x^n - Hf(x^n)^{-1}\nabla f(x^n). \end{cases}$$

### Remarques :

- ▶ La méthode est **locale**, mais rapide,
- ▶ Ne distingue pas min et max.

# Optimisation sous contraintes

# Optimisation numérique

## Exemple simple

Rappel : Un problème d'optimisation sous contraintes s'écrit

$$\min_{u \in K} f(u), \quad \text{avec } K \subseteq \mathbb{R}^N.$$



# Optimisation numérique

## Exemple simple

Rappel : Un problème d'optimisation sous contraintes s'écrit

$$\min_{u \in K} f(u), \quad \text{avec } K \subsetneq \mathbb{R}^N.$$

En général, les algorithmes précédents vont converger **en dehors de K** !

# Optimisation numérique

## Exemple simple

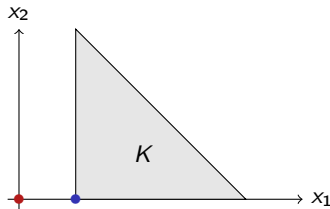
Rappel : Un problème d'optimisation sous contraintes s'écrit

$$\min_{u \in K} f(u), \quad \text{avec } K \subsetneq \mathbb{R}^N.$$

En général, les algorithmes précédents vont converger en dehors de  $K$  !

Exemple :  $f(x) = x_1^2 + x_2^2$ .

$$K = \left\{ x \in \mathbb{R}^2, x_1 \geq \frac{1}{2}, x_2 \geq 0, x_1 + x_2 \leq 1 \right\}$$



Soit  $K \subset \mathbb{R}^N$  convexe fermé et non vide.

**Définition.** Pour tout  $x \in \mathbb{R}^N$ , le projeté  $\pi_K(x)$  est l'unique point de  $K$  qui minimise sa distance à  $x$ .

$$\|\pi_K(x) - x\| = \min \{ \|y - x\| ; y \in K \}.$$

Soit  $K \subset \mathbb{R}^N$  convexe fermé et non vide.

**Définition.** Pour tout  $x \in \mathbb{R}^N$ , le projeté  $\pi_K(x)$  est l'unique point de  $K$  qui minimise sa distance à  $x$ .

$$\|\pi_K(x) - x\| = \min \{ \|y - x\| ; y \in K \}.$$

Remarques :

- ▶ si  $x \in K$  alors  $\pi_K(x) = x$ ,
- ▶ si  $x \notin K$  alors  $\pi_K(x) \in \partial K$ ,
- ▶  $\pi_K$  est contractante donc lipschitzienne donc continue.

**Méthode du gradient projeté.** Elle est définie par

$$\begin{cases} x^0 \in \mathbb{R}^N, \\ x^{n+1} = \pi_K(x^n - \rho \nabla f(x^n)). \end{cases}$$

avec  $\rho > 0$ .

**Méthode du gradient projeté.** Elle est définie par

$$\begin{cases} x^0 \in \mathbb{R}^N, \\ x^{n+1} = \pi_K(x^n - \rho \nabla f(x^n)). \end{cases}$$

avec  $\rho > 0$ .

**Théorème.** Soient  $f \in \mathcal{C}^1(\mathbb{R}^N, \mathbb{R})$  strictement convexe et coercive, et  $K$  convexe fermé non vide, avec

$$\exists M > 0, \quad \forall x, y \in \mathbb{R}^N, \quad \|\nabla f(x) - \nabla f(y)\|_2 \leq M \|x - y\|_2.$$

Si  $0 < \rho < \frac{2}{M}$  alors la méthode du gradient projeté **converge** vers l'unique point de minimum global de  $f$  sur  $K$ .

# Optimisation numérique

## Méthode du gradient projeté

### Avantage :

- ▶ convergence vers la solution du problème **contraint**.

# Optimisation numérique

## Méthode du gradient projeté

### Avantage :

- ▶ convergence vers la solution du problème **contraint**.

### Inconvénients :

- ▶ vitesse de convergence non garantie,
- ▶ le projecteur  $\pi_K$  peut être (très) difficile à calculer,



# Optimisation numérique

## Méthode du gradient projeté

### Avantage :

- ▶ convergence vers la solution du problème **contraint**.

### Inconvénients :

- ▶ vitesse de convergence non garantie,
- ▶ le projecteur  $\pi_K$  peut être (très) difficile à calculer,

### Alternative possible :

- ▶ Méthode de pénalisation.

**Définition.** On appelle **fonction de pénalisation** de  $K$  toute fonction  $\beta : \mathbb{R}^N \rightarrow \mathbb{R}$  telle que

- ▶  $\beta$  est continue
- ▶  $\beta \geq 0$  sur  $\mathbb{R}^N$ ,
- ▶  $\beta(x) = 0 \Leftrightarrow x \in K$

**Définition.** On appelle **fonction de pénalisation** de  $K$  toute fonction  $\beta : \mathbb{R}^N \rightarrow \mathbb{R}$  telle que

- ▶  $\beta$  est continue
- ▶  $\beta \geq 0$  sur  $\mathbb{R}^N$ ,
- ▶  $\beta(x) = 0 \Leftrightarrow x \in K$

**Remarque :** Si c'est possible on choisira  $\beta$  convexe. (Il faut  $K$  convexe).

**Définition.** On appelle **fonction de pénalisation** de  $K$  toute fonction  $\beta : \mathbb{R}^N \rightarrow \mathbb{R}$  telle que

- ▶  $\beta$  est continue
- ▶  $\beta \geq 0$  sur  $\mathbb{R}^N$ ,
- ▶  $\beta(x) = 0 \Leftrightarrow x \in K$

**Remarque :** Si c'est possible on choisira  $\beta$  convexe. (Il faut  $K$  convexe).

**Définition.** Soit le problème d'optimisation sous contraintes

$$\min_{x \in K} f(x),$$

le problème pénalisé associé est

$$\min_{x \in \mathbb{R}^N} f(x) + \frac{1}{\varepsilon} \beta(x).$$

**Définition.** On appelle **fonction de pénalisation** de  $K$  toute fonction  $\beta : \mathbb{R}^N \rightarrow \mathbb{R}$  telle que

- ▶  $\beta$  est continue
- ▶  $\beta \geq 0$  sur  $\mathbb{R}^N$ ,
- ▶  $\beta(x) = 0 \Leftrightarrow x \in K$

**Remarque :** Si c'est possible on choisira  $\beta$  convexe. (Il faut  $K$  convexe).

**Définition.** Soit le problème d'optimisation sous contraintes

$$\min_{x \in K} f(x),$$

le problème pénalisé associé est

$$\min_{x \in \mathbb{R}^N} f(x) + \frac{1}{\varepsilon} \beta(x).$$

**Pourquoi ça marche ?** On fait payer (*pénalise*) le fait de ne pas être dans  $K$ .

- ▶ Si  $K_1 = \{x \in \mathbb{R}^N, \varphi_i(x) = 0, i = 1 \dots p\}$ , on peut choisir

$$\beta(x) = \sum_{i=1}^p [\varphi_i(x)]^2.$$

- ▶ Si  $K_1 = \{x \in \mathbb{R}^N, \varphi_i(x) = 0, i = 1 \dots p\}$ , on peut choisir

$$\beta(x) = \sum_{i=1}^p [\varphi_i(x)]^2.$$

- ▶ Si  $K_2 = \{x \in \mathbb{R}^N, \psi_j(x) \leq 0, i = 1 \dots q\}$ , on peut choisir

$$\beta(x) = \sum_{j=1}^q [\psi_j^+(x)]^2.$$

avec  $\psi_j^+ = \max(0, \psi_j)$ .

- ▶ Si  $K_1 = \{x \in \mathbb{R}^N, \varphi_i(x) = 0, i = 1 \dots p\}$ , on peut choisir

$$\beta(x) = \sum_{i=1}^p [\varphi_i(x)]^2.$$

- ▶ Si  $K_2 = \{x \in \mathbb{R}^N, \psi_j(x) \leq 0, i = 1 \dots q\}$ , on peut choisir

$$\beta(x) = \sum_{j=1}^q [\psi_j^+(x)]^2.$$

avec  $\psi_j^+ = \max(0, \psi_j)$ .

- ▶ Si  $K = K_1 \cap K_2$ , on somme :

$$\beta(x) = \sum_{i=1}^p [\varphi_i(x)]^2 + \sum_{j=1}^q [\psi_j^+(x)]^2.$$



## Optimisation numérique

### Méthode du gradient pénalisé

On résout le problème pénalisé (sans contrainte !)

$$\min_{x \in \mathbb{R}^N} f(x) + \frac{1}{\varepsilon} \beta(x).$$

par la méthode du gradient à pas fixe.

## Optimisation numérique

### Méthode du gradient pénalisé

On résout le problème pénalisé (sans contrainte !)

$$\min_{x \in \mathbb{R}^N} f(x) + \frac{1}{\varepsilon} \beta(x).$$

par la méthode du gradient à pas fixe.

**Méthode du gradient pénalisé.** Elle est définie par

$$\begin{cases} x^0 \in \mathbb{R}^N, \\ x^{n+1} = x^n - \rho \nabla f(x^n) - \frac{\rho}{\varepsilon} \nabla \beta(x). \end{cases}$$

avec  $\rho > 0$ .

## Optimisation numérique

### Méthode du gradient pénalisé

On résout le problème pénalisé (sans contrainte !)

$$\min_{x \in \mathbb{R}^N} f(x) + \frac{1}{\varepsilon} \beta(x).$$

par la méthode du gradient à pas fixe.

**Méthode du gradient pénalisé.** Elle est définie par

$$\begin{cases} x^0 \in \mathbb{R}^N, \\ x^{n+1} = x^n - \rho \nabla f(x^n) - \frac{\rho}{\varepsilon} \nabla \beta(x). \end{cases}$$

avec  $\rho > 0$ .

**Remarque :**

- ▶ Choix de  $\varepsilon$  difficile !
- ▶ Conditionne le choix de  $\rho$ ...

## Optimisation numérique

### Méthode du gradient pénalisé

**Difficulté** : La méthode du gradient pénalisé va converger vers  $x_\varepsilon$  solution de

$$\min_{x \in \mathbb{R}^N} f(x) + \frac{1}{\varepsilon} \beta(x).$$

Si  $\varepsilon$  est petit, on s'attend à ce que  $x_\varepsilon$  soit proche de  $x^*$ , solution de

$$\min_{x \in K} f(x).$$

## Optimisation numérique

### Méthode du gradient pénalisé

**Difficulté :** La méthode du gradient pénalisé va converger vers  $x_\varepsilon$  solution de

$$\min_{u \in \mathbb{R}^N} f(x) + \frac{1}{\varepsilon} \beta(x).$$

Si  $\varepsilon$  est petit, on s'attend à ce que  $x_\varepsilon$  soit proche de  $x^*$ , solution de

$$\min_{x \in K} f(x).$$

**Théorème.** Soient  $f \in \mathcal{C}^1(\mathbb{R}^N, \mathbb{R})$  strictement convexe et coercive, et  $K \subset \mathbb{R}^N$  convexe fermé non vide. Soit  $\beta$  une pénalisation de  $K$ . Alors pour tout  $\varepsilon > 0$ , le problème

$$\min_{x \in \mathbb{R}^N} f(x) + \frac{1}{\varepsilon} \beta(x)$$

admet une unique solution  $x_\varepsilon$ . Elle vérifie

$$\lim_{\varepsilon \rightarrow 0} x_\varepsilon = x^*$$

où  $x^*$  est l'unique solution du problème initial  $\min_{x \in K} f(x)$ .

---

# COURS 4

## Approximation numérique des équations différentielles

---

# Approximation des EDO

## Quelques usages

- ▶ Mécanique :

# Approximation des EDO

## Quelques usages

- ▶ **Mécanique :**
  - ▶ Prédiction de trajectoire (planètes, comètes, astéroïdes, débris, . . .)



# Approximation des EDO

## Quelques usages

- ▶ **Mécanique :**
  - ▶ Prédiction de trajectoire (planètes, comètes, astéroïdes, débris, . . .)
  - ▶ Orbite des satellites, manœuvre spatiales, rentrée atmosphérique,

# Approximation des EDO

## Quelques usages

- ▶ **Mécanique :**
  - ▶ Prédiction de trajectoire (planètes, comètes, astéroïdes, débris, . . .)
  - ▶ Orbite des satellites, manœuvre spatiales, rentrée atmosphérique,
  - ▶ Militaire (balistique),

# Approximation des EDO

## Quelques usages

- ▶ **Mécanique :**
  - ▶ Prédiction de trajectoire (planètes, comètes, astéroïdes, débris, . . .)
  - ▶ Orbite des satellites, manœuvre spatiales, rentrée atmosphérique,
  - ▶ Militaire (balistique),
- ▶ **Biologie, environnement, :**

# Approximation des EDO

## Quelques usages

### ▶ Mécanique :

- ▶ Prédiction de trajectoire (planètes, comètes, astéroïdes, débris, . . .)
- ▶ Orbite des satellites, manœuvre spatiales, rentrée atmosphérique,
- ▶ Militaire (balistique),

### ▶ Biologie, environnement, :

- ▶ Evolution d'un écosystème, d'un population, croissance et extinction,

# Approximation des EDO

## Quelques usages

### ▶ Mécanique :

- ▶ Prédiction de trajectoire (planètes, comètes, astéroïdes, débris, . . .)
- ▶ Orbite des satellites, manœuvre spatiales, rentrée atmosphérique,
- ▶ Militaire (balistique),

### ▶ Biologie, environnement, :

- ▶ Evolution d'un écosystème, d'un population, croissance et extinction,

### ▶ Chimie, industrie :

# Approximation des EDO

## Quelques usages

### ▶ Mécanique :

- ▶ Prédiction de trajectoire (planètes, comètes, astéroïdes, débris, . . .)
- ▶ Orbite des satellites, manœuvre spatiales, rentrée atmosphérique,
- ▶ Militaire (balistique),

### ▶ Biologie, environnement, :

- ▶ Evolution d'un écosystème, d'un population, croissance et extinction,

### ▶ Chimie, industrie :

- ▶ Dynamique des processus,

# Approximation des EDO

## Quelques usages

- ▶ **Mécanique :**
  - ▶ Prédiction de trajectoire (planètes, comètes, astéroïdes, débris, . . .)
  - ▶ Orbite des satellites, manœuvre spatiales, rentrée atmosphérique,
  - ▶ Militaire (balistique),
- ▶ **Biologie, environnement, :**
  - ▶ Evolution d'un écosystème, d'une population, croissance et extinction,
- ▶ **Chimie, industrie :**
  - ▶ Dynamique des processus,
- ▶ **Economie, gestion :**

# Approximation des EDO

## Quelques usages

- ▶ **Mécanique :**
  - ▶ Prédiction de trajectoire (planètes, comètes, astéroïdes, débris, . . .)
  - ▶ Orbite des satellites, manœuvre spatiales, rentrée atmosphérique,
  - ▶ Militaire (balistique),
- ▶ **Biologie, environnement, :**
  - ▶ Evolution d'un écosystème, d'un population, croissance et extinction,
- ▶ **Chimie, industrie :**
  - ▶ Dynamique des processus,
- ▶ **Economie, gestion :**
  - ▶ Modélisation macroéconomique,



# Approximation des EDO

## Quelques usages

### ▶ Mécanique :

- ▶ Prédiction de trajectoire (planètes, comètes, astéroïdes, débris, . . .)
- ▶ Orbite des satellites, manœuvre spatiales, rentrée atmosphérique,
- ▶ Militaire (balistique),

### ▶ Biologie, environnement, :

- ▶ Evolution d'un écosystème, d'une population, croissance et extinction,

### ▶ Chimie, industrie :

- ▶ Dynamique des processus,

### ▶ Economie, gestion :

- ▶ Modélisation macroéconomique,
- ▶ Modèles financiers,

# Approximation des EDO

## Quelques usages

- ▶ **Mécanique :**
  - ▶ Prédiction de trajectoire (planètes, comètes, astéroïdes, débris, . . .)
  - ▶ Orbite des satellites, manœuvre spatiales, rentrée atmosphérique,
  - ▶ Militaire (balistique),
- ▶ **Biologie, environnement, :**
  - ▶ Evolution d'un écosystème, d'une population, croissance et extinction,
- ▶ **Chimie, industrie :**
  - ▶ Dynamique des processus,
- ▶ **Economie, gestion :**
  - ▶ Modélisation macroéconomique,
  - ▶ Modèles financiers,
- ▶ **Médecine :**

# Approximation des EDO

## Quelques usages

- ▶ **Mécanique :**
  - ▶ Prédiction de trajectoire (planètes, comètes, astéroïdes, débris, . . .)
  - ▶ Orbite des satellites, manœuvre spatiales, rentrée atmosphérique,
  - ▶ Militaire (balistique),
- ▶ **Biologie, environnement, :**
  - ▶ Evolution d'un écosystème, d'une population, croissance et extinction,
- ▶ **Chimie, industrie :**
  - ▶ Dynamique des processus,
- ▶ **Economie, gestion :**
  - ▶ Modélisation macroéconomique,
  - ▶ Modèles financiers,
- ▶ **Médecine :**
  - ▶ Posologie, absorption et efficacité des traitements, croissance tumorales,

# Approximation des EDO

## Quelques usages

- ▶ **Mécanique :**
  - ▶ Prédiction de trajectoire (planètes, comètes, astéroïdes, débris, . . .)
  - ▶ Orbite des satellites, manœuvre spatiales, rentrée atmosphérique,
  - ▶ Militaire (balistique),
- ▶ **Biologie, environnement, :**
  - ▶ Evolution d'un écosystème, d'une population, croissance et extinction,
- ▶ **Chimie, industrie :**
  - ▶ Dynamique des processus,
- ▶ **Economie, gestion :**
  - ▶ Modélisation macroéconomique,
  - ▶ Modèles financiers,
- ▶ **Médecine :**
  - ▶ Posologie, absorption et efficacité des traitements, croissance tumorales,
  - ▶ Epidémiologie.



## Approximation des EDO

### Constat d'échec

**Important :** en général, **on ne sait pas résoudre explicitement une EDO !**

## Approximation des EDO

### Constat d'échec

**Important** : en général, **on ne sait pas résoudre explicitement une EDO !**

On s'en sort quand...

## Approximation des EDO

### Constat d'échec

**Important** : en général, **on ne sait pas résoudre explicitement une EDO !**

On s'en sort quand...

- ▶ l'équation différentielle est **linéaire** à coefficients explicitement intégrables,



## Approximation des EDO

### Constat d'échec

**Important** : en général, **on ne sait pas résoudre explicitement une EDO !**

On s'en sort quand...

- ▶ l'équation différentielle est **linéaire** à coefficients explicitement intégrables,
- ▶ l'exercice est fait pour qu'on y arrive,

## Approximation des EDO

### Constat d'échec

**Important** : en général, **on ne sait pas résoudre explicitement une EDO !**

On s'en sort quand...

- ▶ l'équation différentielle est **linéaire** à coefficients explicitement intégrables,
- ▶ l'exercice est fait pour qu'on y arrive,
- ▶ on a beaucoup de **chance**.

## Approximation des EDO

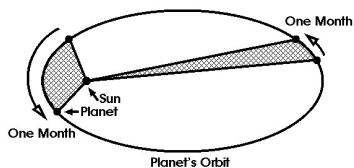
### Constat d'échec

**Important** : en général, **on ne sait pas résoudre explicitement une EDO !**

On s'en sort quand...

- ▶ l'équation différentielle est **linéaire** à coefficients explicitement intégrables,
- ▶ l'exercice est fait pour qu'on y arrive,
- ▶ on a beaucoup de **chance**.

Exemple de coup de chance : les orbites de planètes sont des ellipses.



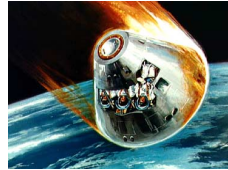
(Kepler)

Équation gravitationnelle :

$$x'' = -Gm_S \frac{x}{\|x\|^3}$$

# Approximation des EDO

## Modélisation rentrée atmosphérique



### Modélisation du problème de rentrée atmosphérique :

- ▶ Loi de Newton :

$m\ddot{x}'' = \text{force de gravité} + \text{force de frottement}$

$$m\ddot{x}'' = -\frac{Gmm_T}{\|x\|^3}x - \alpha(x) \|x'\| x'$$

# Approximation des EDO

## Modélisation rentrée atmosphérique



### Modélisation du problème de rentrée atmosphérique :

- ▶ Loi de Newton :

$m\mathbf{x}'' = \text{force de gravité} + \text{force de frottement}$

$$m\mathbf{x}'' = -\frac{Gmm_T}{\|\mathbf{x}\|^3}\mathbf{x} - \alpha(\mathbf{x})\|\mathbf{x}'\|\mathbf{x}'$$

- ▶ Inconnue :  $\mathbf{x} : [0, T] \rightarrow \mathbb{R}^2 \text{ ou } \mathbb{R}^3$

# Approximation des EDO

## Modélisation rentrée atmosphérique



### Modélisation du problème de rentrée atmosphérique :

- ▶ Loi de Newton :

$mx'' = \text{force de gravité} + \text{force de frottement}$

$$mx'' = -\frac{Gmm_T}{\|x\|^3}x - \alpha(x) \|x'\| x'$$

- ▶ Inconnue :  $x : [0, T] \rightarrow \mathbb{R}^2$  ou  $\mathbb{R}^3$
- ▶ Domaine : pour tout  $t \in [0, T]$ ,  $x(t) \in \Omega := \{x \in \mathbb{R}^d, \|x\| > R_T\}$ .

# Approximation des EDO

## Modélisation rentrée atmosphérique



### Modélisation du problème de rentrée atmosphérique :

- ▶ Loi de Newton :

$m\mathbf{x}'' = \text{force de gravité} + \text{force de frottement}$

$$m\mathbf{x}'' = -\frac{Gmm_T}{\|\mathbf{x}\|^3}\mathbf{x} - \alpha(\mathbf{x}) \|\mathbf{x}'\| \mathbf{x}'$$

- ▶ Inconnue :  $\mathbf{x} : [0, T] \rightarrow \mathbb{R}^2$  ou  $\mathbb{R}^3$
- ▶ Domaine : pour tout  $t \in [0, T]$ ,  $\mathbf{x}(t) \in \Omega := \{\mathbf{x} \in \mathbb{R}^d, \|\mathbf{x}\| > R_T\}$ .
- ▶ Données :  $G$  cste de gravité,  $m$  masse du vaisseau,  $m_T$  masse de la Terre,  $\alpha(\mathbf{x})$  coefficient de frottement aérodynamique,  $R_T$  rayon de la Terre.

# Approximation des EDO

## Problème de Cauchy

**Méthode** : on met l'équation sous forme d'un problème de Cauchy.

**Problème de Cauchy.** C'est un problème différentiel de la forme

$$(C) : \begin{cases} u'(t) = f(t, u(t)) & t \in [0, T], \\ u(0) = u_0. \end{cases}$$



# Approximation des EDO

## Problème de Cauchy

**Méthode** : on met l'équation sous forme d'un problème de Cauchy.

**Problème de Cauchy.** C'est un problème différentiel de la forme

$$(C) : \begin{cases} u'(t) = f(t, u(t)) & t \in [0, T], \\ u(0) = u_0. \end{cases}$$

►  $u : [0, T] \rightarrow \Omega \subset \mathbb{R}^d$  est la **fonction inconnue** ,

**Méthode** : on met l'équation sous forme d'un problème de Cauchy.

**Problème de Cauchy.** C'est un problème différentiel de la forme

$$(C) : \begin{cases} u'(t) = f(t, u(t)) & t \in [0, T], \\ u(0) = u_0. \end{cases}$$

- ▶  $u : [0, T] \rightarrow \Omega \subset \mathbb{R}^d$  est la **fonction inconnue** ,
- ▶ le **domaine spatial**  $\Omega$  est une partie ouverte connexe de l'espace  $\mathbb{R}^d$  ,

# Approximation des EDO

## Problème de Cauchy

**Méthode** : on met l'équation sous forme d'un problème de Cauchy.

**Problème de Cauchy.** C'est un problème différentiel de la forme

$$(C) : \begin{cases} u'(t) = f(t, u(t)) & t \in [0, T], \\ u(0) = u_0. \end{cases}$$

- ▶  $u : [0, T] \rightarrow \Omega \subset \mathbb{R}^d$  est la **fonction inconnue** ,
- ▶ le **domaine spatial**  $\Omega$  est une partie ouverte connexe de l'espace  $\mathbb{R}^d$  ,
- ▶  $f : \Omega \times [0, T] \mapsto \mathbb{R}^d$  est la **dynamique** du problème,

**Méthode** : on met l'équation sous forme d'un problème de Cauchy.

**Problème de Cauchy.** C'est un problème différentiel de la forme

$$(C) : \begin{cases} u'(t) = f(t, u(t)) & t \in [0, T], \\ u(0) = u_0. \end{cases}$$

- ▶  $u : [0, T] \rightarrow \Omega \subset \mathbb{R}^d$  est la **fonction inconnue** ,
- ▶ le **domaine spatial**  $\Omega$  est une partie ouverte connexe de l'espace  $\mathbb{R}^d$  ,
- ▶  $f : \Omega \times [0, T] \mapsto \mathbb{R}^d$  est la **dynamique** du problème,
- ▶  $u_0 \in \Omega$  est l'**état initial** où condition initiale.

## Approximation des EDO

Problème de Cauchy pour la rentrée atmosphérique

**Exemple :** rentrée atmosphérique,

$$x'' = -\frac{Gm_T}{\|x\|^3}x - \frac{\alpha(x)}{m} \|x'\| x'$$

## Approximation des EDO

### Problème de Cauchy pour la rentrée atmosphérique

**Exemple :** rentrée atmosphérique,

$$x'' = -\frac{Gm_T}{\|x\|^3}x - \frac{\alpha(x)}{m} \|x'\| x'$$

on pose  $u := \begin{bmatrix} u_1 \\ u_2 \\ u_3 \\ u_4 \end{bmatrix} := \begin{bmatrix} x \\ x' \end{bmatrix} = \begin{bmatrix} x_1 \\ x_2 \\ x'_1 \\ x'_2 \end{bmatrix} \in \mathbb{R}^4$  et on a

$$f(u) = \begin{bmatrix} u_3 \\ u_4 \\ -\frac{Gm_T}{\|(u_1, u_2)\|^3} \begin{bmatrix} u_1 \\ u_2 \end{bmatrix} \\ -\frac{\alpha(u_1, u_2)}{m} \|(u_3, u_4)\| \begin{bmatrix} u_3 \\ u_4 \end{bmatrix} \end{bmatrix}.$$

## Approximation des EDO

### Problème de Cauchy pour la rentrée atmosphérique

**Exemple :** rentrée atmosphérique,

$$x'' = -\frac{Gm_T}{\|x\|^3}x - \frac{\alpha(x)}{m} \|x'\| x'$$

on pose  $u := \begin{bmatrix} u_1 \\ u_2 \\ u_3 \\ u_4 \end{bmatrix} := \begin{bmatrix} x \\ x' \end{bmatrix} = \begin{bmatrix} x_1 \\ x_2 \\ x_1' \\ x_2' \end{bmatrix} \in \mathbb{R}^4$  et on a

$$f(u) = \begin{bmatrix} u_3 \\ u_4 \\ -\frac{Gm_T}{\|(u_1, u_2)\|^3} \begin{bmatrix} u_1 \\ u_2 \end{bmatrix} \\ -\frac{\alpha(u_1, u_2)}{m} \|(u_3, u_4)\| \begin{bmatrix} u_3 \\ u_4 \end{bmatrix} \end{bmatrix}.$$

Le problème de Cauchy s'écrit

$$\begin{cases} u'(t) = f(u(t)) & t \in [0, T], \\ u(0) = \begin{bmatrix} x_0 \\ v_0 \end{bmatrix}. \end{cases}$$

## Approximation des EDO

Comment approcher numériquement la solution du problème de Cauchy ?

Soit le problème de Cauchy

$$(C) : \begin{cases} u'(t) = f(t, u(t)) & t \in [0, T], \\ u(0) = u_0. \end{cases}$$



## Approximation des EDO

Comment approcher numériquement la solution du problème de Cauchy ?

Soit le problème de Cauchy

$$(C) : \begin{cases} u'(t) = f(t, u(t)) & t \in [0, T], \\ u(0) = u_0. \end{cases}$$

Existence et unicité de  $u : [0, T^*[ \rightarrow \Omega$  dès que  $f \in \mathcal{C}^1$  [Cauchy-Lipschitz].

## Approximation des EDO

Comment approcher numériquement la solution du problème de Cauchy ?

Soit le problème de Cauchy

$$(C) : \begin{cases} u'(t) = f(t, u(t)) & t \in [0, T], \\ u(0) = u_0. \end{cases}$$

Existence et unicité de  $u : [0, T^*[ \rightarrow \Omega$  dès que  $f \in \mathcal{C}^1$  [Cauchy-Lipschitz].

**Discretisation du temps** : soit  $h > 0$ , et par  $t_n = nh$  avec  $t_N = N_h h = T$ .

## Approximation des EDO

Comment approcher numériquement la solution du problème de Cauchy ?

Soit le problème de Cauchy

$$(C) : \begin{cases} u'(t) = f(t, u(t)) & t \in [0, T], \\ u(0) = u_0. \end{cases}$$

Existence et unicité de  $u : [0, T^*[ \rightarrow \Omega$  dès que  $f \in \mathcal{C}^1$  [Cauchy-Lipschitz].

**Discrétisation du temps** : soit  $h > 0$ , et par  $t_n = nh$  avec  $t_N = N_h h = T$ .

*Cette suite dépend de  $h$ , on la note donc aussi  $(t_n^h)_{n=0,1,\dots,N}$ .*

## Approximation des EDO

Comment approcher numériquement la solution du problème de Cauchy ?

Soit le problème de Cauchy

$$(C) : \begin{cases} u'(t) = f(t, u(t)) & t \in [0, T], \\ u(0) = u_0. \end{cases}$$

Existence et unicité de  $u : [0, T^*[ \rightarrow \Omega$  dès que  $f \in \mathcal{C}^1$  [Cauchy-Lipschitz].

**Discrétisation du temps** : soit  $h > 0$ , et par  $t_n = nh$  avec  $t_N = N_h h = T$ .

*Cette suite dépend de  $h$ , on la note donc aussi  $(t_n^h)_{n=0,1,\dots,N}$ .*

**Principe d'une méthode numérique** : approcher les valeurs de la solution exacte  $u(t_n)$  par une suite  $(U_n)_{n=0,1,\dots,N}$  de  $\Omega$ .

## Approximation des EDO

Comment approcher numériquement la solution du problème de Cauchy ?

Soit le problème de Cauchy

$$(C) : \begin{cases} u'(t) = f(t, u(t)) & t \in [0, T], \\ u(0) = u_0. \end{cases}$$

Existence et unicité de  $u : [0, T^*[ \rightarrow \Omega$  dès que  $f \in \mathcal{C}^1$  [Cauchy-Lipschitz].

**Discrétisation du temps** : soit  $h > 0$ , et par  $t_n = nh$  avec  $t_N = N_h h = T$ .

*Cette suite dépend de  $h$ , on la note donc aussi  $(t_n^h)_{n=0,1,\dots,N}$ .*

**Principe d'une méthode numérique** : approcher les valeurs de la solution exacte  $u(t_n)$  par une suite  $(U_n)_{n=0,1,\dots,N}$  de  $\Omega$ .

**Vocabulaire** : Un **schéma numérique** est une relation de récurrence qui permet de définir la suite  $(U_n)$ .

## Approximation des EDO

Comment approcher numériquement la solution du problème de Cauchy ?

Soit le problème de Cauchy

$$(C) : \begin{cases} u'(t) = f(t, u(t)) & t \in [0, T], \\ u(0) = u_0. \end{cases}$$

Existence et unicité de  $u : [0, T^*] \rightarrow \Omega$  dès que  $f \in \mathcal{C}^1$  [Cauchy-Lipschitz].

**Discrétisation du temps :** soit  $h > 0$ , et par  $t_n = nh$  avec  $t_N = N_h h = T$ .

*Cette suite dépend de  $h$ , on la note donc aussi  $(t_n^h)_{n=0,1,\dots,N}$ .*

**Principe d'une méthode numérique :** approcher les valeurs de la solution exacte  $u(t_n)$  par une suite  $(U_n)_{n=0,1,\dots,N}$  de  $\Omega$ .

**Vocabulaire :** Un **schéma numérique** est une relation de récurrence qui permet de définir la suite  $(U_n)$ .

*Cette suite est dite solution numérique ou discrète.*

# Approximation des EDO

## La méthode d'Euler

### Problème de Cauchy

$$(C) : \begin{cases} u'(t) = f(t, u(t)) & t \in [0, T], \\ u(0) = u_0. \end{cases}$$

- ▶ On écrit, pour  $n = 0, 1, \dots, N_h - 1$ ,

$$u(t_{n+1}) = u(t_n) + \int_{t_n}^{t_{n+1}} u'(s) ds = u(t_n) + \int_{t_n}^{t_{n+1}} f(s, u(s)) ds.$$

- ▶ Approximation de l'intégrale par la méthode des rectangles :

$$\int_{t_n}^{t_{n+1}} f(s, u(s)) ds \approx h f(t_n, u(t_n)).$$

- ▶ D'où la récurrence (explicite mais inexacte) :

$$u(t_{n+1}) \approx u(t_n) + h f(t_n, u(t_n)).$$

# Approximation des EDO

## Méthode d'Euler

On a obtenu :

$$u(t_{n+1}) \approx u(t_n) + h f(t_n, u(t_n)).$$

**Méthode d'Euler.** C'est le système de récurrence/condition initiale suivant :

$$(E) : \begin{cases} U_{n+1} = U_n + h f(t_n, U_n), & n = 0, 1, \dots, N_h - 1 \\ U_0 = u_0. \end{cases}$$

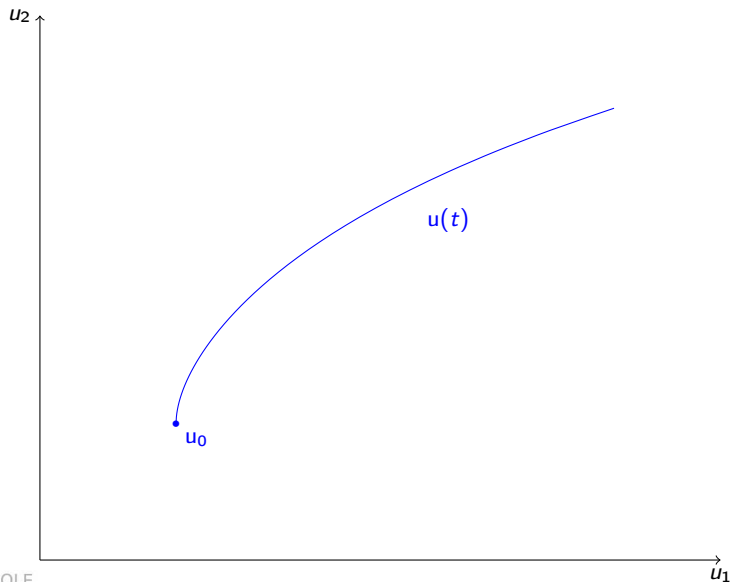
**Remarques.**

- ▶ a priori, on n'a pas  $u(t_n) = U_n$ .
- ▶ il n'est pas évident non plus que  $u(t_n)$  approche  $U_n$ .



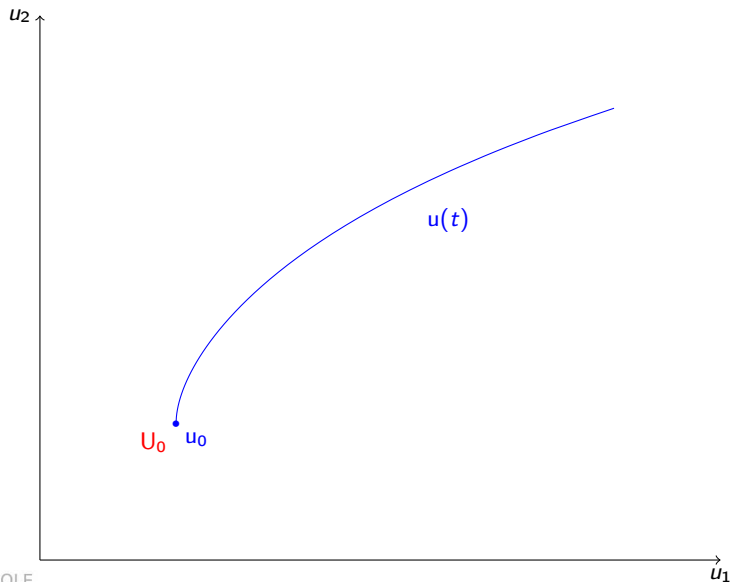
# Approximation des EDO

## Méthode d'Euler



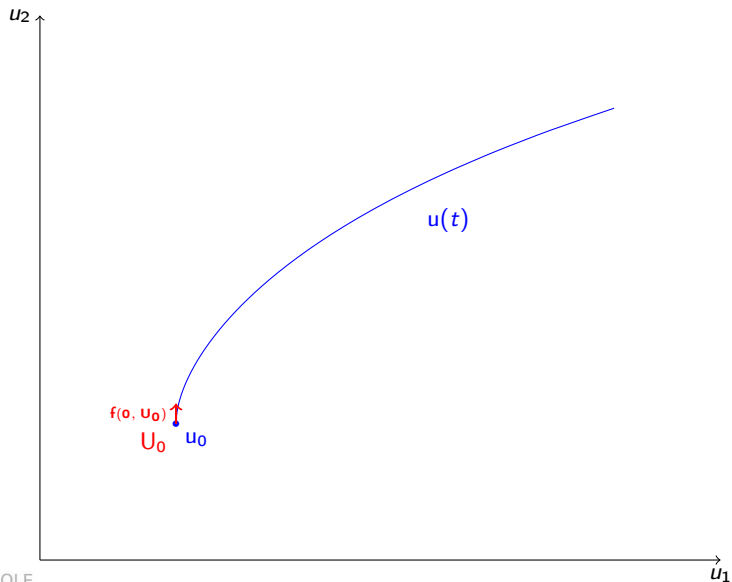
# Approximation des EDO

## Méthode d'Euler



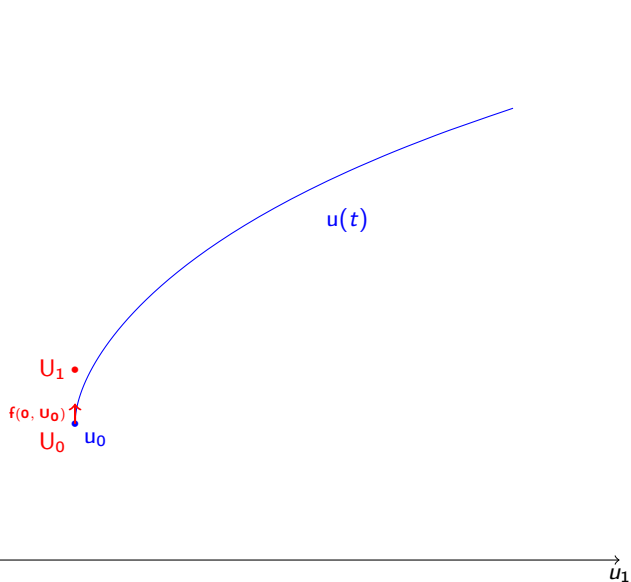
# Approximation des EDO

## Méthode d'Euler



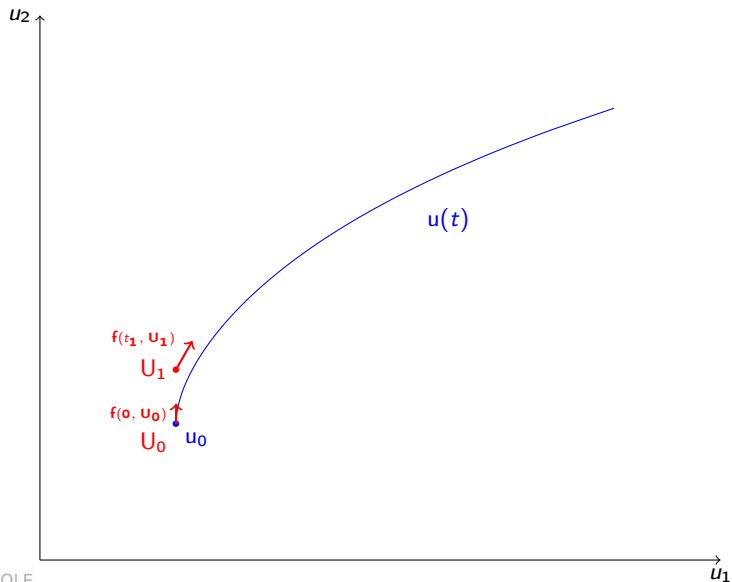
# Approximation des EDO

## Méthode d'Euler



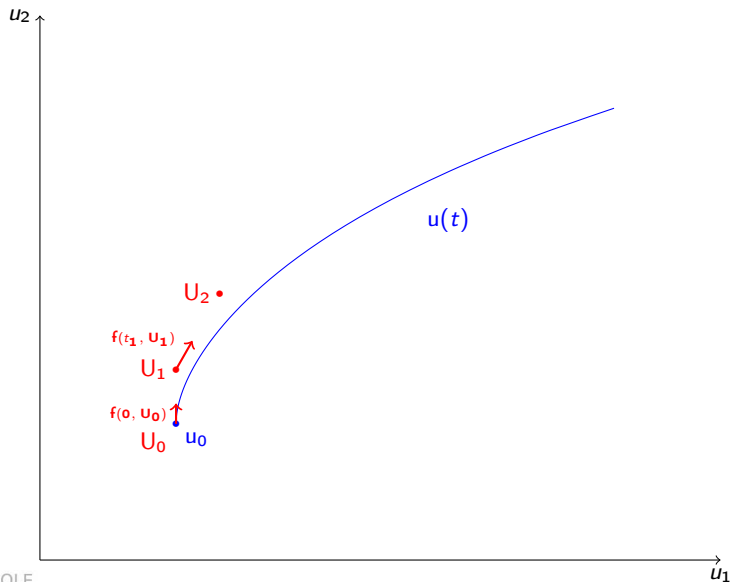
# Approximation des EDO

## Méthode d'Euler



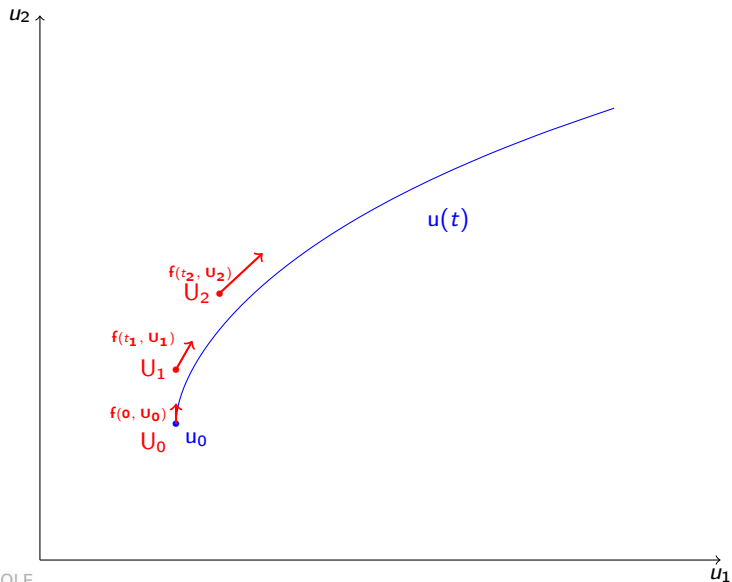
# Approximation des EDO

## Méthode d'Euler



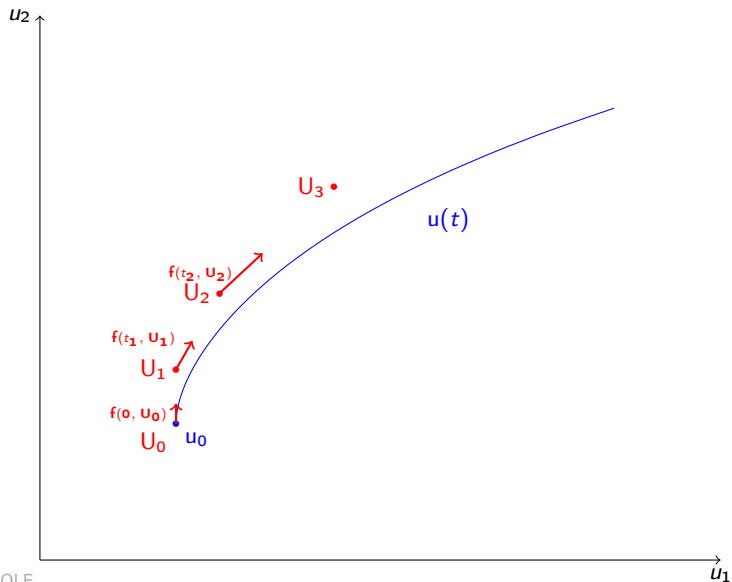
# Approximation des EDO

## Méthode d'Euler



# Approximation des EDO

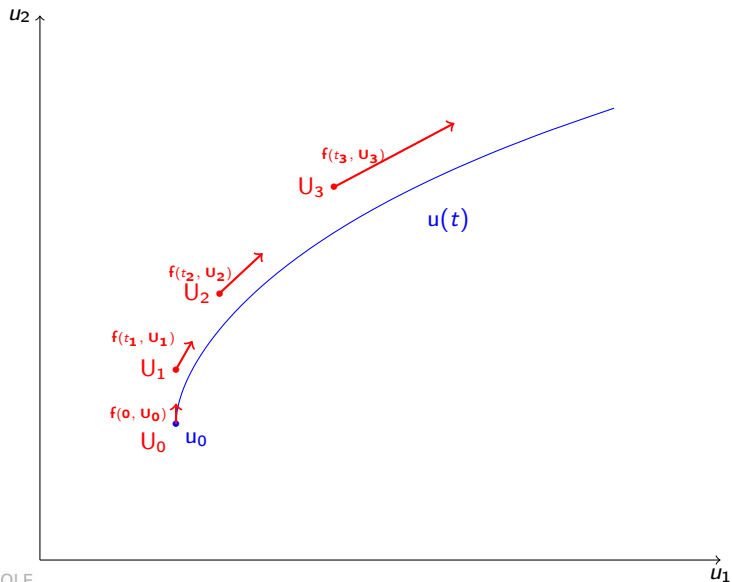
## Méthode d'Euler





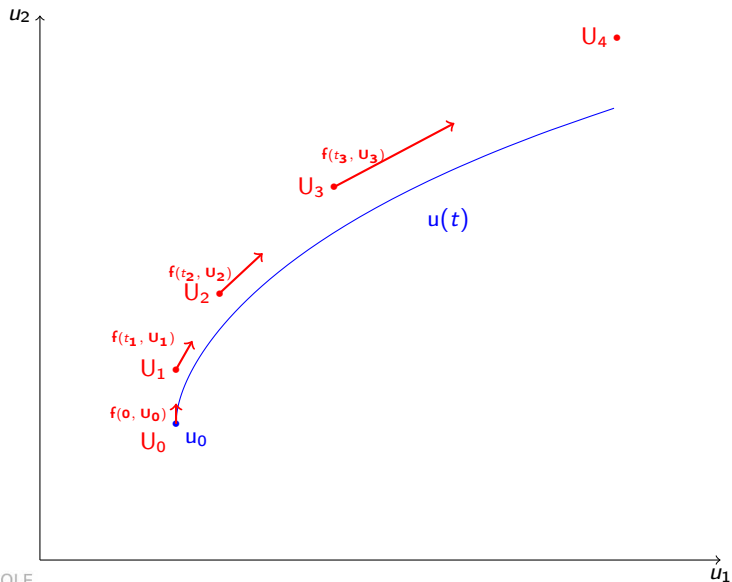
# Approximation des EDO

## Méthode d'Euler



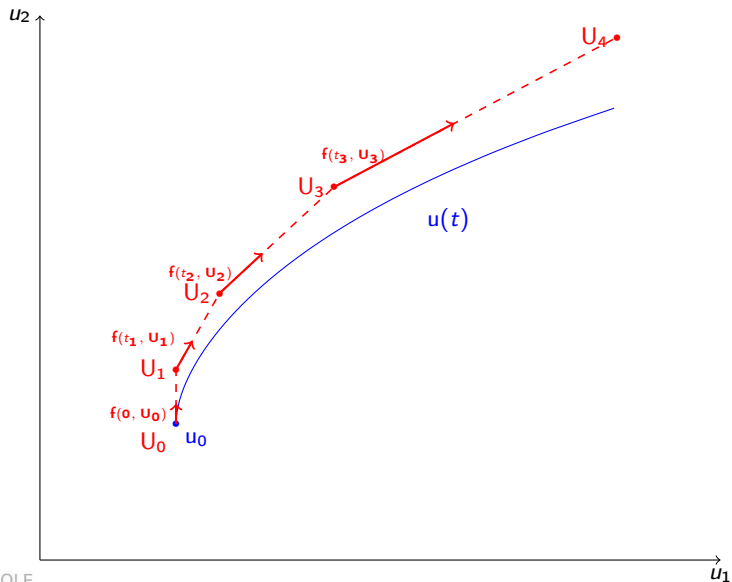
# Approximation des EDO

## Méthode d'Euler



# Approximation des EDO

## Méthode d'Euler



## Approximation des EDO

### Méthode d'Euler : Exemple

Considérons le problème de Cauchy

$$\begin{cases} u'(t) = 2tu(t) & t \in [0, 1], \\ u(0) = 1, \end{cases}$$

dont la solution exacte est  $u(t) = e^{t^2}$ .

# Approximation des EDO

## Méthode d'Euler : Exemple

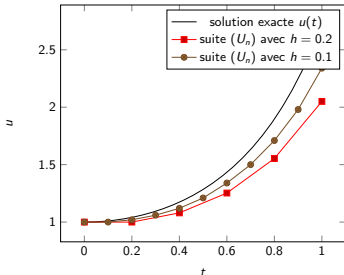
Considérons le problème de Cauchy

$$\begin{cases} u'(t) = 2tu(t) & t \in [0, 1], \\ u(0) = 1, \end{cases}$$

dont la solution exacte est  $u(t) = e^{t^2}$ .

La méthode d'Euler s'écrit

$$\begin{cases} U_{n+1} = U_n + 2ht_n U_n & t \in [0, 2], \\ U_0 = 1. \end{cases}$$



# Approximation des EDO

## Méthode d'Euler : Exemple

Considérons le problème de Cauchy

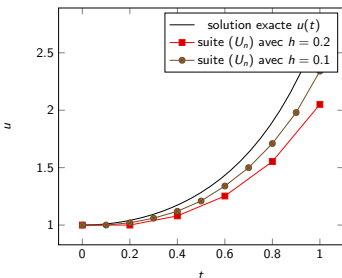
$$\begin{cases} u'(t) = 2tu(t) & t \in [0, 1], \\ u(0) = 1, \end{cases}$$

dont la solution exacte est  $u(t) = e^{t^2}$ .

La méthode d'Euler s'écrit

$$\begin{cases} U_{n+1} = U_n + 2ht_n U_n & t \in [0, 2], \\ U_0 = 1. \end{cases}$$

- ▶ La méthode d'Euler n'est pas exacte,



# Approximation des EDO

## Méthode d'Euler : Exemple

Considérons le problème de Cauchy

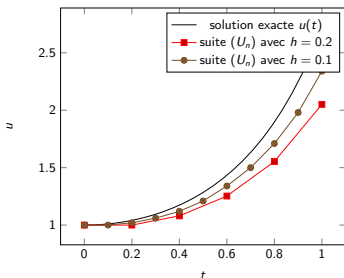
$$\begin{cases} u'(t) = 2tu(t) & t \in [0, 1], \\ u(0) = 1, \end{cases}$$

dont la solution exacte est  $u(t) = e^{t^2}$ .

La méthode d'Euler s'écrit

$$\begin{cases} U_{n+1} = U_n + 2ht_n U_n & t \in [0, 2], \\ U_0 = 1. \end{cases}$$

- ▶ La méthode d'Euler n'est pas exacte,
- ▶ l'erreur augmente avec le temps,



# Approximation des EDO

## Méthode d'Euler : Exemple

Considérons le problème de Cauchy

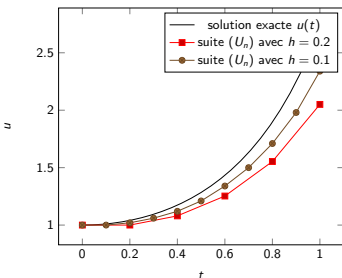
$$\begin{cases} u'(t) = 2tu(t) & t \in [0, 1], \\ u(0) = 1, \end{cases}$$

dont la solution exacte est  $u(t) = e^{t^2}$ .

La méthode d'Euler s'écrit

$$\begin{cases} U_{n+1} = U_n + 2ht_n U_n & t \in [0, 2], \\ U_0 = 1. \end{cases}$$

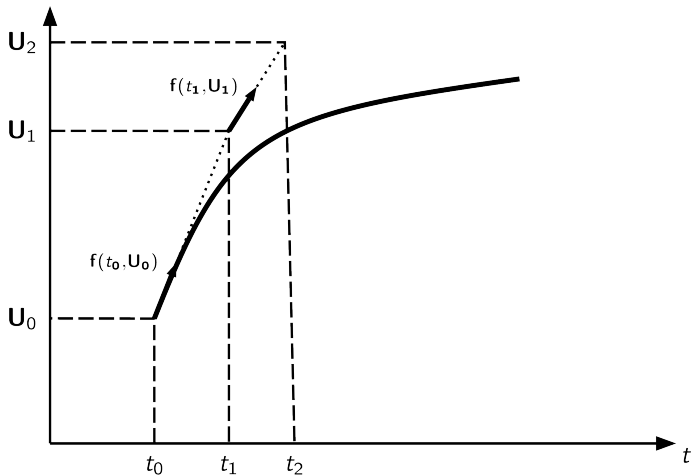
- ▶ La méthode d'Euler n'est pas exacte,
- ▶ l'erreur augmente avec le temps,
- ▶ l'erreur diminue si  $h$  diminue.





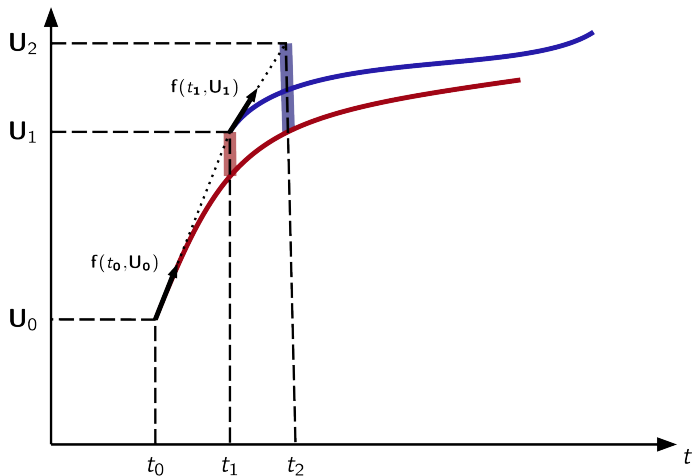
# Approximation des EDO

## Analyse d'erreur



# Approximation des EDO

## Analyse d'erreur



# Approximation des EDO

Consistance, stabilité, convergence

- **Convergence** : L'erreur globale du schéma tend vers 0

$$\max_{0 \leq n \leq N_h} \|U_n - u(t_n)\| \xrightarrow[h \rightarrow 0]{?} 0.$$

# Approximation des EDO

Consistance, stabilité, convergence

- ▶ **Convergence** : L'erreur globale du schéma tend vers 0

$$\max_{0 \leq n \leq N_h} \|U_n - u(t_n)\| \xrightarrow[h \rightarrow 0]{?} 0.$$

- ▶ **Analyse en 2 temps** :
  - ▶ **Consistance** : analyse de l'erreur locale (commise à chaque pas).

# Approximation des EDO

Consistance, stabilité, convergence

- ▶ **Convergence** : L'erreur globale du schéma tend vers 0

$$\max_{0 \leq n \leq N_h} \|U_n - u(t_n)\| \xrightarrow[h \rightarrow 0]{?} 0.$$

- ▶ **Analyse en 2 temps** :
  - ▶ **Consistance** : analyse de l'erreur locale (commise à chaque pas).
  - ▶ **Stabilité** : maîtrise de la propagation des erreurs locales.

# Approximation des EDO

## Consistance, stabilité, convergence

- ▶ **Convergence** : L'erreur globale du schéma tend vers 0

$$\max_{0 \leq n \leq N_h} \|U_n - u(t_n)\| \xrightarrow[h \rightarrow 0]{?} 0.$$

- ▶ **Analyse en 2 temps** :
  - ▶ **Consistance** : analyse de l'erreur locale (commise à chaque pas).
  - ▶ **Stabilité** : maîtrise de la propagation des erreurs locales.

### Théorème de Lax.

Consistance et Stabilité  $\Rightarrow$  Convergence.

## Approximation des EDO

### Consistance

On note  $u$  la solution exacte du problème de Cauchy.

**Définition.** L'erreur de consistance du schéma d'Euler est la suite

$$\varepsilon_n^h := \frac{u(t_{n+1}) - u(t_n)}{h} - f(t_n, u(t_n)), \quad 0 \leq n \leq N_h - 1.$$

## Approximation des EDO

### Consistance

On note  $u$  la solution exacte du problème de Cauchy.

**Définition.** L'erreur de consistance du schéma d'Euler est la suite

$$\varepsilon_n^h := \frac{u(t_{n+1}) - u(t_n)}{h} - f(t_n, u(t_n)), \quad 0 \leq n \leq N_h - 1.$$

**Remarque :** Lien avec l'approximation de l'intégration de  $u'$  sur  $[t_n, t_n + h]$  par la méthode des rectangles à gauche :

$$\varepsilon_n^h := \int_0^1 u'(t_n + hs) ds - u'(t_n).$$



Rappel :  $u$  désigne la solution exacte du problème de Cauchy.

**Définition.** L'erreur de consistance du schéma d'Euler est la suite

$$\varepsilon_n^h := \frac{u(t_{n+1}) - u(t_n)}{h} - f(t_n, u(t_n)), \quad 0 \leq n \leq N_h - 1.$$

**Définition.** Le schéma est consistant si l'erreur de consistance converge vers 0 :

$$\max_{0 \leq n \leq N_h - 1} \|\varepsilon_n^h\| \rightarrow 0 \quad \text{quand} \quad h \rightarrow 0.$$

Si de plus il existe  $k > 0$  tel que

$$\max_{0 \leq n \leq N_h - 1} \|\varepsilon_n^h\| = \mathcal{O}(h^k),$$

le schéma est dit consistant d'ordre  $k$ .

# Approximation des EDO

## Consistance pour Euler

**Proposition.** Si la solution exacte  $u$  est de classe  $\mathcal{C}^2$ , alors la méthode d'Euler est consistante d'ordre 1.

# Approximation des EDO

## Consistance pour Euler

**Proposition.** Si la solution exacte  $u$  est de classe  $\mathcal{C}^2$ , alors la méthode d'Euler est consistante d'ordre 1.

**Preuve :** Par Taylor-Lagrange,

$$u(t_{n+1}) = u(t_n + h) = u(t_n) + hu'(t_n) + h^2R_n(h),$$

avec  $R_n(h)$  bornée. Plus précisément,  $\|R_n(h)\| \leq C := \frac{1}{2} \sup_{t \in [0, T]} \|u''(t)\|$

$$\varepsilon_n^h := \frac{u(t_{n+1}) - u(t_n)}{h} - f(t_n, u(t_n)),$$

$$\varepsilon_n^h := u'(t_n) + hR_n(h) - f(t_n, u(t_n)),$$

$$\varepsilon_n^h := hR_n(h),$$

Ainsi

$$\max_{0 \leq n \leq N_h - 1} \|\varepsilon_n^h\| \leq Ch.$$

□

# Approximation des EDO

## Stabilité pour Euler

On considère le schéma d'Euler

$$(E) : \begin{cases} U_{n+1} = U_n + h f(t_n, U_n), & n \geq 0, \\ U_0 = u_0. \end{cases}$$

et on le perturbe en ajoutant une suite d'erreurs  $\mu_n$

# Approximation des EDO

## Stabilité pour Euler

On considère le schéma d'Euler

$$(E) : \begin{cases} U_{n+1} = U_n + h f(t_n, U_n), & n \geq 0, \\ U_0 = u_0. \end{cases}$$

et on le perturbe en ajoutant une suite d'erreurs  $\mu_n$

$$(E_{\text{pert}}) : \begin{cases} V_{n+1} = V_n + h f(t_n, V_n) + \mu_n, & n \geq 0, \\ V_0 = u_0. \end{cases}$$

# Approximation des EDO

## Stabilité pour Euler

On considère le schéma d'Euler

$$(E) : \begin{cases} U_{n+1} = U_n + h f(t_n, U_n), & n \geq 0, \\ U_0 = u_0. \end{cases}$$

et on le perturbe en ajoutant une suite d'erreurs  $\mu_n$

$$(E_{\text{pert}}) : \begin{cases} V_{n+1} = V_n + h f(t_n, V_n) + \mu_n, & n \geq 0, \\ V_0 = u_0. \end{cases}$$

**Définition.** Le schéma est stable s'il existe une constante  $C > 0$  telle que

$$\max_{0 \leq n \leq N_h} \|V_n - U_n\| \leq C \sum_{0 \leq n \leq N_h - 1} \|\mu_n\|.$$

# Approximation des EDO

## Stabilité pour Euler

**Proposition.** Si  $f$  est  $L$ -lipschitzienne, la méthode d'Euler est stable et l'on a

$$\max_{0 \leq n \leq N_h} |V_n - U_n| \leq e^{LT} \sum_{0 \leq n \leq N_h - 1} \|\mu_n\| .$$

# Approximation des EDO

## Stabilité pour Euler

**Proposition.** Si  $f$  est  $L$ -lipschitzienne, la méthode d'Euler est stable et l'on a

$$\max_{0 \leq n \leq N_h} |V_n - U_n| \leq e^{LT} \sum_{0 \leq n \leq N_h - 1} \|\mu_n\|.$$

**Preuve :** Par soustraction

$$\begin{aligned} V_{n+1} - U_{n+1} &= V_n - U_n + h(f(t_n, V_n) - f(t_n, U_n)) + \mu_n, \\ \|V_{n+1} - U_{n+1}\| &\leq \|V_n - U_n\| + h \|f(t_n, V_n) - f(t_n, U_n)\| + \|\mu_n\|, \\ \|V_{n+1} - U_{n+1}\| &\leq (1 + hL) \|V_n - U_n\| + \|\mu_n\|. \end{aligned}$$

Posons  $e_n = \|V_n - U_n\|$ , et divisons par  $(1 + hL)^{n+1}$  ;

$$\begin{aligned} \frac{e_{n+1}}{(1 + hL)^{n+1}} &\leq \frac{e_n}{(1 + hL)^n} + \frac{\|\mu_n\|}{(1 + hL)^{n+1}}, \\ \frac{e_{n+1}}{(1 + hL)^{n+1}} &\leq \frac{e_n}{(1 + hL)^n} + \|\mu_n\|, \end{aligned}$$



# Approximation des EDO

## Stabilité pour Euler

Preuve (suite) : On a

$$\frac{e_{n+1}}{(1+hL)^{n+1}} - \frac{e_n}{(1+hL)^n} \leq \|\mu_n\|,$$

En sommant, on obtient

$$\frac{e_n}{(1+hL)^n} \leq \sum_{k=0}^{n-1} \|\mu_k\|, \quad \forall n \in \mathbb{N},$$

$$e_n \leq (1+hL)^n \sum_{k=0}^{n-1} \|\mu_k\|, \quad \forall n \in \mathbb{N}.$$

Or pour tout  $n \leq N_h$ ,

$$(1+hL)^n \leq e^{Ltn} \leq e^{N_h hL} = e^{LT}.$$

Ainsi,

$$\|V_n - U_n\| \leq e^{LT} \sum_{k=0}^{n-1} \|\mu_k\|, \quad \forall n = 0, 1, \dots, N_h.$$

# Approximation des EDO

## Convergence pour Euler

**Définition.** Le schéma converge si

$$\max_{0 \leq n \leq N_h} |U_n - u(t_n)| \longrightarrow 0 \quad \text{quand} \quad h \rightarrow 0.$$

# Approximation des EDO

## Convergence pour Euler

**Définition.** Le schéma converge si

$$\max_{0 \leq n \leq N_h} |U_n - u(t_n)| \longrightarrow 0 \quad \text{quand} \quad h \rightarrow 0.$$

**Théorème de Lax.** Un schéma consistant et stable est convergent.

# Approximation des EDO

## Convergence pour Euler

**Définition.** Le schéma converge si

$$\max_{0 \leq n \leq N_h} |U_n - u(t_n)| \longrightarrow 0 \quad \text{quand} \quad h \rightarrow 0.$$

**Théorème de Lax.** Un schéma consistant d'ordre  $k$  et stable est convergent d'ordre  $k$ .

**Preuve (Pour Euler) :** Par définition,

$$\varepsilon_n^h := \frac{u(t_{n+1}) - u(t_n)}{h} - f(t_n, u(t_n)).$$

Donc la suite de valeurs exactes est solution du schéma perturbé :

$$\begin{cases} u(t_{n+1}) = u(t_n) + hf(t_n, u(t_n)) + h\varepsilon_n^h, \\ u(t_0) = u_0. \end{cases}$$

# Approximation des EDO

## Convergence pour Euler

**Preuve (suite) :** On utilise la stabilité du schéma :

$$\max_{0 \leq n \leq N_h} |U_n - u(t_n)| \leq e^{LT} h \sum_{0 \leq n \leq N_h - 1} \left\| \varepsilon_n^h \right\|.$$

Or,

$$\sum_{0 \leq n \leq N_h - 1} \left\| \varepsilon_n^h \right\| \leq N_h \max_{0 \leq n \leq N_h - 1} \left\| \varepsilon_n^h \right\|,$$

Ainsi,

$$\max_{0 \leq n \leq N_h} |U_n - u(t_n)| \leq Te^{LT} \max_{0 \leq n \leq N_h - 1} \left\| \varepsilon_n^h \right\|.$$

Or, par consistance d'ordre 1,

$$\max_{0 \leq n \leq N_h - 1} \left\| \varepsilon_n^h \right\| \leq Ch.$$

Finalement,

$$\max_{0 \leq n \leq N_h} |U_n - u(t_n)| \leq CTe^{LT} h.$$

□

# Approximation des EDO

## Convergence pour Euler

**Proposition.** Le schéma d'Euler est convergent d'ordre 1 :

$$\max_{0 \leq n \leq N_h} |U_n - u(t_n)| \leq CT e^{LT} h,$$

avec  $C = \frac{1}{2} \sup_{t \in [0, T]} \|u''(t)\|$ .

# Approximation des EDO

## Convergence pour Euler

**Proposition.** Le schéma d'Euler est convergent d'ordre 1 :

$$\max_{0 \leq n \leq N_h} |U_n - u(t_n)| \leq CTe^{LT} h,$$

avec  $C = \frac{1}{2} \sup_{t \in [0, T]} \|u''(t)\|$ .

Remarques :

- ▶ On a besoin que  $u \in \mathcal{C}^2([0, T])$ .
- ▶ La constante  $Te^{LT}$  augmente exponentiellement
  - ▶ avec  $T$  (problèmes en temps long) ,
  - ▶ avec  $L$  (problèmes « raides »).

**Définition.** Un schéma à un pas (constant) pour approcher la solution du problème de Cauchy

$$(C) : \begin{cases} u'(t) = f(t, u(t)) & t \in [0, T], \\ u(0) = u_0. \end{cases}$$

est une relation de récurrence de la forme

$$\begin{cases} U_{n+1} = U_n + hG_h(t_n, U_n, U_{n+1}), & n = 0, 1, \dots, N_h - 1, \\ U_0 = u_0. \end{cases}$$

où  $h > 0$  est le pas et  $G_h$  est une fonction qui définit le schéma.



## Approximation des EDO

### Schémas classiques

**Définition.** Un schéma à un pas (constant) pour approcher la solution du problème de Cauchy

$$(C) : \begin{cases} u'(t) = f(t, u(t)) & t \in [0, T], \\ u(0) = u_0. \end{cases}$$

est une relation de récurrence de la forme

$$\begin{cases} U_{n+1} = U_n + hG_h(t_n, U_n, U_{n+1}), & n = 0, 1, \dots, N_h - 1, \\ U_0 = u_0. \end{cases}$$

où  $h > 0$  est le pas et  $G_h$  est une fonction qui définit le schéma.

**Vocabulaire :** Si  $G_h$  dépend effectivement de  $U_{n+1}$  le schéma est dit implicite, sinon il est explicite.

**Définition.** Un schéma à un pas (constant) pour approcher la solution du problème de Cauchy

$$(C) : \begin{cases} u'(t) = f(t, u(t)) & t \in [0, T], \\ u(0) = u_0. \end{cases}$$

est une relation de récurrence de la forme

$$\begin{cases} U_{n+1} = U_n + hG_h(t_n, U_n, U_{n+1}), & n = 0, 1, \dots, N_h - 1, \\ U_0 = u_0. \end{cases}$$

où  $h > 0$  est le pas et  $G_h$  est une fonction qui définit le schéma.

**Vocabulaire :** Si  $G_h$  dépend effectivement de  $U_{n+1}$  le schéma est dit implicite, sinon il est explicite.

**Exemple :** Le schéma d'Euler  $U_{n+1} = U_n + hf(t_n, U_n)$  correspond à

$$G_h(t_n, U_n, U_{n+1}) = f(t_n, U_n).$$

Rappel :  $u$  désigne la solution exacte du problème de Cauchy.

**Définition.** L'erreur de consistance d'un schéma général à un pas est

$$\varepsilon_n^h := \frac{u(t_{n+1}) - u(t_n)}{h} - G_h(t_n, u(t_n), u(t_{n+1})), \quad 0 \leq n \leq N_h.$$

**Remarque :** Lien avec l'erreur de l'approximation de l'intégration de  $u'$  sur  $[t_n, t_n + h]$  :

$$\varepsilon_n^h := \int_0^1 u'(t_n + hs) ds - G_h(t_n, u(t_n), u(t_{n+1})).$$

# Approximation des EDO

## Stabilité

On considère un schéma général

$$(E) : \begin{cases} U_{n+1} = U_n + hG_h(t_n, U_n, U_{n+1}), & n = 0, 1, \dots, N_h - 1, \\ U_0 = u_0. \end{cases}$$

et on le perturbe en ajoutant une suite d'erreurs  $\mu_n$  :

$$(E_{\text{pert}}) : \begin{cases} V_{n+1} = V_n + hG_h(t_n, V_n, V_{n+1}) + \mu_n, & n = 0, 1, \dots, N_h - 1, \\ V_0 = u_0. \end{cases}$$

**Définition.** Le schéma est stable s'il existe  $C > 0$  t.q.

$$\max_{0 \leq n \leq N_h} \|V_n - U_n\| \leq C \sum_{0 \leq n \leq N_h - 1} \|\mu_n\|.$$

## Approximation des EDO

Euler, Euler implicite

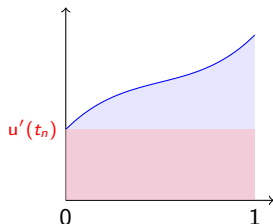
$$\int_{t_n}^{t_{n+1}} u'(t) dt = h \int_0^1 u'(t_n + hs) ds$$

Rectangle à gauche :

$$\begin{aligned} I(h) &= \int_0^1 u'(t_n + hs) ds \\ &\approx u'(t_n) = f(t_n, u(t_n)) \end{aligned}$$

conduit à poser

**Euler** :  $U_{n+1} = U_n + hf(t_n, U_n)$ .



# Approximation des EDO

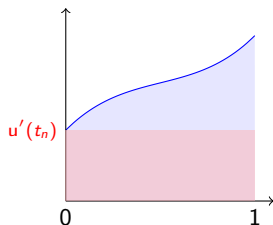
## Euler, Euler implicite

Rectangle à gauche :

$$I(h) = \int_0^1 u'(t_n + hs) ds \\ \approx u'(t_n) = f(t_n, u(t_n))$$

conduit à poser

$$\mathbf{Euler} : U_{n+1} = U_n + hf(t_n, U_n).$$

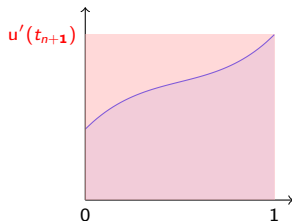


Rectangle à droite :

$$I(h) = \int_0^1 u'(t_n + hs) ds \\ \approx u'(t_{n+1}) = f(t_{n+1}, u(t_{n+1}))$$

conduit à poser

$$\mathbf{Euler (implicite)} : U_{n+1} = U_n + hf(t_{n+1}, U_{n+1})$$



# Approximation des EDO

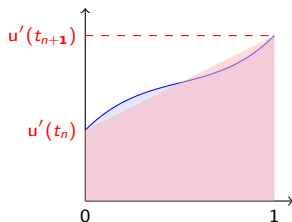
## Crank-Nicolson, Heun

Trapèze :

$$I(h) \approx \frac{u'(t_n) + u'(t_{n+1})}{2}$$

**Crank-Nicolson** (implicite)

$$U_{n+1} = U_n + \frac{h}{2} (f(t_n, U_n) + f(t_{n+1}, U_{n+1}))$$



# Approximation des EDO

## Crank-Nicolson, Heun

Trapèze :

$$I(h) \approx \frac{u'(t_n) + u'(t_{n+1})}{2}$$

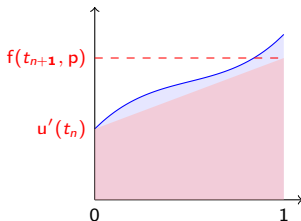
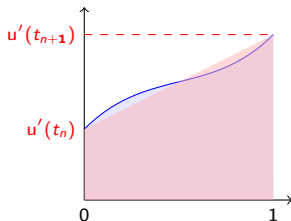
**Crank-Nicolson** (implicite)

$$U_{n+1} = U_n + \frac{h}{2} (f(t_n, U_n) + f(t_{n+1}, U_{n+1}))$$

**Trapèze approché** : Le vecteur  $p$  approche  $u(t_{n+1})$  par Euler :

**Heun** (explicite)

$$\begin{cases} p = U_n + hf(t_n, U_n). \\ U_{n+1} = U_n + \frac{h}{2} (f(t_n, U_n) + f(t_{n+1}, p)) \end{cases}$$



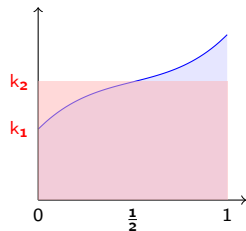


# Approximation des EDO

## Runge-Kutta

Point milieu approché : **RK-2** (explicite)

$$\begin{cases} k_1 = f(t_n, U_n). \\ k_2 = f\left(t_n + \frac{h}{2}, U_n + \frac{h}{2}k_1\right). \\ U_{n+1} = U_n + hk_2. \end{cases}$$

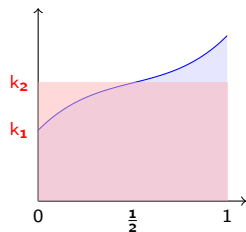


# Approximation des EDO

## Runge-Kutta

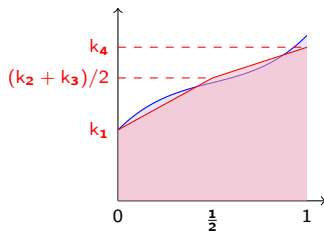
Point milieu approché : **RK-2** (explicite)

$$\begin{cases} k_1 = f(t_n, U_n). \\ k_2 = f\left(t_n + \frac{h}{2}, U_n + \frac{h}{2}k_1\right). \\ U_{n+1} = U_n + hk_2. \end{cases}$$



Méthode de Simpson approchée : **RK-4** (explicite)

$$\begin{cases} k_1 = f(t_n, U_n). \\ k_2 = f\left(t_n + \frac{h}{2}, U_n + \frac{h}{2}k_1\right). \\ k_3 = f\left(t_n + \frac{h}{2}, U_n + \frac{h}{2}k_2\right). \\ k_4 = f(t_n + h, U_n + hk_3). \\ U_{n+1} = U_n + \frac{h}{6}(k_1 + 2k_2 + 2k_3 + k_4). \end{cases}$$



## Approximation des EDO

Pourquoi les méthodes implicites ?

On considère le problème de Cauchy :

$$\begin{cases} y'(t) = -1000y(t), \\ y(0) = 1. \end{cases}$$

## Approximation des EDO

### Pourquoi les méthodes implicites ?

On considère le problème de Cauchy :

$$\begin{cases} y'(t) = -1000y(t), \\ y(0) = 1. \end{cases}$$

- ▶ Problème **raide** :  $f(y) = -1000y$  est 1000-lipschitzienne.
- ▶ Solution exacte :  $y(t) = e^{-1000t}$  (positive, converge vers 0 en  $+\infty$ ).
- ▶ Constante d'erreur pour Euler proportionnelle à  $\mathcal{T}e^{1000\mathcal{T}}$ .

## Approximation des EDO

### Pourquoi les méthodes implicites ?

On considère le problème de Cauchy :

$$\begin{cases} y'(t) = -1000y(t), \\ y(0) = 1. \end{cases}$$

- ▶ Problème **raide** :  $f(y) = -1000y$  est 1000-lipschitzienne.
- ▶ Solution exacte :  $y(t) = e^{-1000t}$  (positive, converge vers 0 en  $+\infty$ ).
- ▶ Constante d'erreur pour Euler proportionnelle à  $Te^{1000T}$ .

**Méthode d'Euler :**

$$\begin{cases} Y_{n+1} = Y_n - 1000hY_n, \\ Y_0 = 1, \end{cases}$$

soit  $Y_n = (1 - 1000h)^n$ .

## Approximation des EDO

### Pourquoi les méthodes implicites ?

On considère le problème de Cauchy :

$$\begin{cases} y'(t) = -1000y(t), \\ y(0) = 1. \end{cases}$$

- ▶ Problème **raide** :  $f(y) = -1000y$  est 1000-lipschitzienne.
- ▶ Solution exacte :  $y(t) = e^{-1000t}$  (positive, converge vers 0 en  $+\infty$ ).
- ▶ Constante d'erreur pour Euler proportionnelle à  $Te^{1000T}$ .

**Méthode d'Euler :**

$$\begin{cases} Y_{n+1} = Y_n - 1000hY_n, \\ Y_0 = 1, \end{cases}$$

soit  $Y_n = (1 - 1000h)^n$ .

La solution numérique reste positive ssi  $h \leq 10^{-3}$

## Approximation des EDO

### Pourquoi les méthodes implicites ?

On considère le problème de Cauchy :

$$\begin{cases} y'(t) = -1000y(t), \\ y(0) = 1. \end{cases}$$

- ▶ Problème **raide** :  $f(y) = -1000y$  est 1000-lipschitzienne.
- ▶ Solution exacte :  $y(t) = e^{-1000t}$  (positive, converge vers 0 en  $+\infty$ ).
- ▶ Constante d'erreur pour Euler proportionnelle à  $Te^{1000T}$ .

**Méthode d'Euler :**

$$\begin{cases} Y_{n+1} = Y_n - 1000hY_n, \\ Y_0 = 1, \end{cases}$$

soit  $Y_n = (1 - 1000h)^n$ .

La solution numérique tend vers 0 ssi  $h < 2 \cdot 10^{-3}$

## Approximation des EDO

### Stabilité absolue/asymptotique

**Euler implicite :**

$$\begin{cases} Y_{n+1} = Y_n - 1000hY_{n+1}, \\ Y_0 = 1, \end{cases}$$

soit  $Y_n = (1 + 1000h)^{-n}$ .



## Approximation des EDO

### Stabilité absolue/asymptotique

**Euler implicite :**

$$\begin{cases} Y_{n+1} = Y_n - 1000hY_{n+1}, \\ Y_0 = 1, \end{cases}$$

soit  $Y_n = (1 + 1000h)^{-n}$ .

La solution numérique **reste positive** et **converge vers 0** pour tout  $h > 0$ .

Pas de contrainte sur  $h$ .

## Approximation des EDO

### Stabilité absolue/asymptotique

**Euler implicite :**

$$\begin{cases} Y_{n+1} = Y_n - 1000hY_{n+1}, \\ Y_0 = 1, \end{cases}$$

soit  $Y_n = (1 + 1000h)^{-n}$ .

La solution numérique **reste positive** et **converge vers 0** pour tout  $h > 0$ .

Pas de contrainte sur  $h$ .

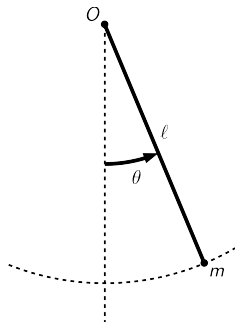
- ▶ Méthode implicite plus coûteuse (pour les problèmes non-linéaires).
- ▶ Mais utile pour les problèmes **raides** en **temps long**.

# Approximation des EDO

## Conservation d'énergie

Modélisation du pendule sans frottement :

$$\begin{cases} \theta''(t) = -\frac{g}{\ell} \sin(\theta(t)) \\ \theta(0), \theta'(0) \text{ donnés.} \end{cases}$$



Énergie du système :

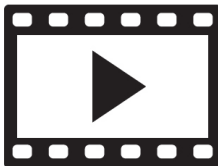
$$E(t) = \frac{1}{2} \theta'(t)^2 - \frac{g}{\ell} \cos(\theta(t)).$$

■ Résultat :  $E'(t) = 0$ .

Question : est-ce respecté par les schémas ?

# Approximation des EDO

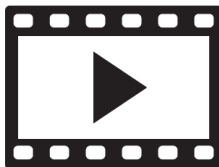
## Conservation d'énergie



*Méthode d'Euler explicite (ordre 1) pour  $h = 0.1$ .*

# Approximation des EDO

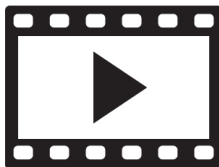
## Conservation d'énergie



*Méthode d'Euler implicite (ordre 1) pour  $h = 0.1$ .*

# Approximation des EDO

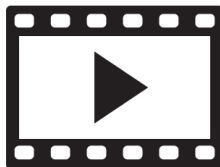
## Conservation d'énergie



*Méthode RK4 (ordre 4) pour  $h = 0.1$ .*

# Approximation des EDO

## Conservation d'énergie



*Méthode d'Euler symplectique (ordre 1) pour  $h = 0.1$ .*

---

# COURS 5

## Discrétisation des EDP

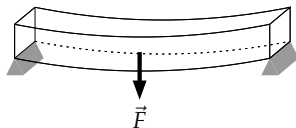
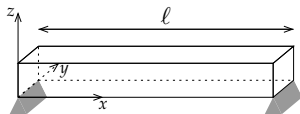
*l'équation de Laplace*

---



# Discrétisation de l'équation de Laplace

## Un modèle de poutre en flexion



### ► Modèle 1D :

- Déplacements verticaux seulement.
- Ligne moyenne donnée par  $z = u(x)$ .
- Densité linéique de force appliquée  $x \mapsto f(x)$ .

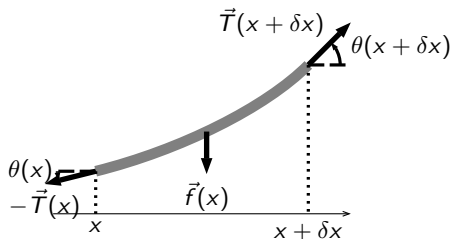
# Discrétisation de l'équation de Laplace

## Un modèle de poutre en flexion

### ► Principe de Newton

$$-\vec{T}(x) + \vec{T}(x + \delta x) = \vec{f}(x)\delta x.$$

(élément de corde situé entre  $x$  et  $x + \delta x$ ).



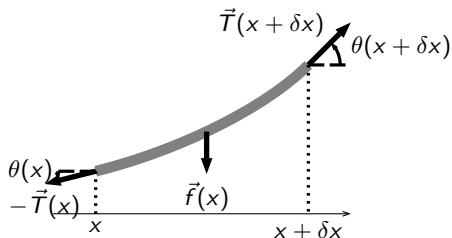
# Discrétisation de l'équation de Laplace

## Un modèle de poutre en flexion

► Principe de Newton

$$-\vec{T}(x) + \vec{T}(x + \delta x) = \vec{f}(x)\delta x.$$

(élément de corde situé entre  $x$  et  $x + \delta x$ ).



► Proj. horizontale :  $-T(x) \cos(\theta(x)) + T(x + \delta x) \cos(\theta(x + \delta x)) = 0.$

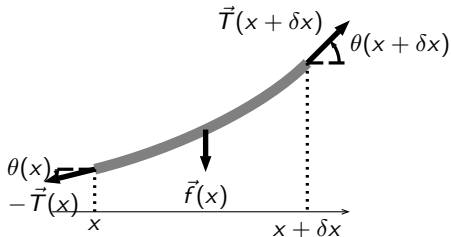
# Discrétisation de l'équation de Laplace

## Un modèle de poutre en flexion

► Principe de Newton

$$-\vec{T}(x) + \vec{T}(x + \delta x) = \vec{f}(x)\delta x.$$

(élément de corde situé entre  $x$  et  $x + \delta x$ ).



- Proj. horizontale :  $-T(x) \cos(\theta(x)) + T(x + \delta x) \cos(\theta(x + \delta x)) = 0.$   
 $\implies T(x) \cos(\theta(x)) = k.$

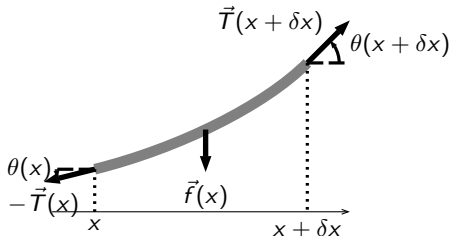
# Discrétisation de l'équation de Laplace

## Un modèle de poutre en flexion

► Principe de Newton

$$-\vec{T}(x) + \vec{T}(x + \delta x) = \vec{f}(x)\delta x.$$

(élément de corde situé entre  $x$  et  $x + \delta x$ ).



► Proj. horizontale :  $-T(x) \cos(\theta(x)) + T(x + \delta x) \cos(\theta(x + \delta x)) = 0.$   
 $\implies T(x) \cos(\theta(x)) = k.$

► Proj. verticale :  $-T(x) \sin(\theta(x)) + T(x + \delta x) \sin(\theta(x + \delta x)) = f(x)\delta x.$

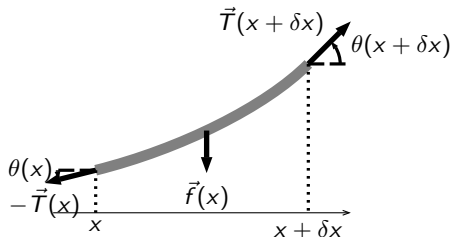
# Discrétisation de l'équation de Laplace

## Un modèle de poutre en flexion

► Principe de Newton

$$-\vec{T}(x) + \vec{T}(x + \delta x) = \vec{f}(x)\delta x.$$

(élément de corde situé entre  $x$  et  $x + \delta x$ ).



► Proj. horizontale :  $-T(x) \cos(\theta(x)) + T(x + \delta x) \cos(\theta(x + \delta x)) = 0.$   
 $\implies T(x) \cos(\theta(x)) = k.$

► Proj. verticale :  $-T(x) \sin(\theta(x)) + T(x + \delta x) \sin(\theta(x + \delta x)) = f(x)\delta x.$   
 $\implies -k \tan(\theta(x)) + k \tan(\theta(x + \delta x)) = f(x)\delta x.$

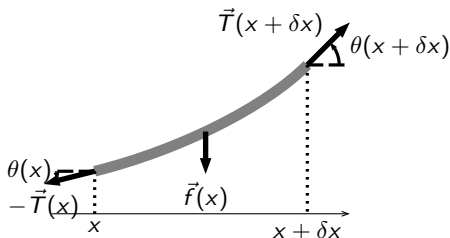
# Discrétisation de l'équation de Laplace

## Un modèle de poutre en flexion

► Principe de Newton

$$-\vec{T}(x) + \vec{T}(x + \delta x) = \vec{f}(x)\delta x.$$

(élément de corde situé entre  $x$  et  $x + \delta x$ ).



► Proj. horizontale :  $-T(x) \cos(\theta(x)) + T(x + \delta x) \cos(\theta(x + \delta x)) = 0.$   
 $\implies T(x) \cos(\theta(x)) = k.$

► Proj. verticale :  $-T(x) \sin(\theta(x)) + T(x + \delta x) \sin(\theta(x + \delta x)) = f(x)\delta x.$   
 $\implies -k \tan(\theta(x)) + k \tan(\theta(x + \delta x)) = f(x)\delta x.$

►  $\delta x \rightarrow 0$  :  $-k \frac{d}{dx}(\tan \theta(x)) = f(x)$

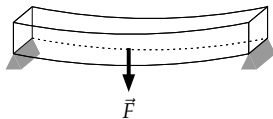
$$\implies \boxed{-ku''(x) = f(x).}$$

# Discrétisation de l'équation de Laplace

## Un modèle de poutre en flexion

### ► Problème 1D

$$\begin{cases} -ku''(x) = f(x), & x \in ]0, 1[, \\ u(0) = u(1) = 0. \end{cases}$$



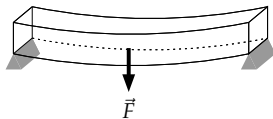


# Discrétisation de l'équation de Laplace

## Un modèle de poutre en flexion

### ► Problème 1D

$$\begin{cases} -ku''(x) = f(x), & x \in ]0, 1[, \\ u(0) = u(1) = 0. \end{cases}$$



### ► Résolution explicite dans ce cas particulier

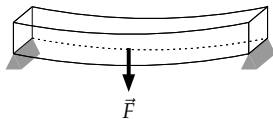
$$u(x) = \frac{1}{k} \int_0^x \left( \int_0^y f(s) ds \right) dy - \frac{x}{k} \int_0^1 \left( \int_0^y f(s) ds \right) dy.$$

# Discrétisation de l'équation de Laplace

## Un modèle de poutre en flexion

### ► Problème 1D

$$\begin{cases} -ku''(x) = f(x), & x \in ]0, 1[, \\ u(0) = u(1) = 0. \end{cases}$$



### ► Résolution explicite dans ce cas particulier

$$u(x) = \frac{1}{k} \int_0^x \left( \int_0^y f(s) ds \right) dy - \frac{x}{k} \int_0^1 \left( \int_0^y f(s) ds \right) dy.$$

### ► Problème plus général :

$$\begin{cases} -ku''(x) + b(x)u(x) = f(x), & x \in ]0, 1[, \\ u(0) = u(1) = 0. \end{cases}$$

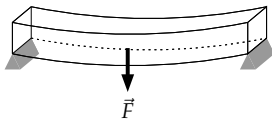
*Pas de formule explicite...*

# Discrétisation de l'équation de Laplace

## Un modèle de poutre en flexion

### ► Problème 1D

$$\begin{cases} -ku''(x) = f(x), & x \in ]0, 1[, \\ u(0) = u(1) = 0. \end{cases}$$



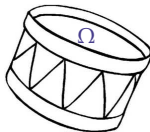
### ► Résolution explicite dans ce cas particulier

$$u(x) = \frac{1}{k} \int_0^x \left( \int_0^y f(s) ds \right) dy - \frac{x}{k} \int_0^1 \left( \int_0^y f(s) ds \right) dy.$$

### ► En dimension supérieure : ( $\Delta = \partial_x^2 + \partial_y^2$ )

$$\begin{cases} -k\Delta u(x, y) = f(x, y), & (x, y) \in \Omega \\ u(x, y) = 0, & (x, y) \in \partial\Omega. \end{cases}$$

*Pas de formule explicite...*



# Discrétisation de l'équation de Laplace

## Problème 1D : méthode de tirs

### ► Problème modèle

$$\begin{cases} -ku''(x) = f(x), & x \in ]0, 1[, \\ u(0) = \alpha, \quad u(1) = \beta. \end{cases}$$

# Discrétisation de l'équation de Laplace

## Problème 1D : méthode de tirs

- **Problème modèle aux limites / Problème de Cauchy**

$$\left\{ \begin{array}{l} -ku''(x) = f(x), \quad x \in ]0, 1[, \\ u(0) = \alpha, \quad u(1) = \beta. \end{array} \right. \quad \left\{ \begin{array}{l} -ku''(x) = f(x), \quad x \in ]0, 1[, \\ u(0) = \alpha, \quad u'(0) = q. \end{array} \right.$$

# Discrétisation de l'équation de Laplace

## Problème 1D : méthode de tirs

- ▶ **Problème modèle aux limites / Problème de Cauchy**

$$\begin{cases} -ku''(x) = f(x), & x \in ]0, 1[, \\ u(0) = \alpha, u(1) = \beta. \end{cases} \quad \begin{cases} -ku_q''(x) = f(x), & x \in ]0, 1[, \\ u_q(0) = \alpha, u_q'(0) = q. \end{cases}$$

- ▶ Pour  $q \in \mathbb{R}$ , il existe une unique solution  $u_q$ .

# Discrétisation de l'équation de Laplace

## Problème 1D : méthode de tirs

- ▶ **Problème modèle aux limites / Problème de Cauchy**

$$\begin{cases} -ku''(x) = f(x), & x \in ]0, 1[, \\ u(0) = \alpha, u(1) = \beta. \end{cases} \quad \begin{cases} -ku_q''(x) = f(x), & x \in ]0, 1[, \\ u_q(0) = \alpha, u_q'(0) = q. \end{cases}$$

- ▶ Pour  $q \in \mathbb{R}$ , il existe une unique solution  $u_q$ .
- ▶ **Question** : peut-on trouver  $q \in \mathbb{R}$  pour que  $u_q(1) = \beta$  ?

# Discrétisation de l'équation de Laplace

## Problème 1D : méthode de tirs

- ▶ **Problème modèle aux limites / Problème de Cauchy**

$$\begin{cases} -ku''(x) = f(x), & x \in ]0, 1[, \\ u(0) = \alpha, u(1) = \beta. \end{cases} \quad \begin{cases} -ku_q''(x) = f(x), & x \in ]0, 1[, \\ u_q(0) = \alpha, u_q'(0) = q. \end{cases}$$

- ▶ Pour  $q \in \mathbb{R}$ , il existe une unique solution  $u_q$ .
- ▶ **Question** : peut-on trouver  $q \in \mathbb{R}$  pour que  $u_q(1) = \beta$  ?



[Tir1.m] [Tir2.m] [Tir3.m]



# Discrétisation de l'équation de Laplace

## Problème 1D : méthode de tirs

- ▶ **Problème modèle aux limites / Problème de Cauchy**

$$\begin{cases} -ku''(x) = f(x), & x \in ]0, 1[, \\ u(0) = \alpha, u(1) = \beta. \end{cases} \quad \begin{cases} -ku_q''(x) = f(x), & x \in ]0, 1[, \\ u_q(0) = \alpha, u_q'(0) = q. \end{cases}$$

- ▶ Pour  $q \in \mathbb{R}$ , il existe une unique solution  $u_q$ .
- ▶ **Question** : peut-on trouver  $q \in \mathbb{R}$  pour que  $u_q(1) = \beta$  ?



[Tir1.m] [Tir2.m] [Tir3.m]

▮ **Théorème** : l'application  $q \mapsto u_q(1)$  est affine.

# Discrétisation de l'équation de Laplace

## Problème 1D : méthode de tirs

- ▶ **Problème modèle aux limites / Problème de Cauchy**

$$\begin{cases} -ku''(x) = f(x), & x \in ]0, 1[, \\ u(0) = \alpha, u(1) = \beta. \end{cases} \quad \begin{cases} -ku_q''(x) = f(x), & x \in ]0, 1[, \\ u_q(0) = \alpha, u_q'(0) = q. \end{cases}$$

- ▶ Pour  $q \in \mathbb{R}$ , il existe une unique solution  $u_q$ .
- ▶ **Question** : peut-on trouver  $q \in \mathbb{R}$  pour que  $u_q(1) = \beta$  ?



[Tir1.m] [Tir2.m] [Tir3.m]

- ▶ **Théorème** : l'application  $q \mapsto u_q(1)$  est affine.
- ▶ Pas généralisable en dimension supérieure !

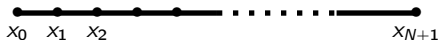
# Discrétisation de l'équation de Laplace

## Résolution numérique du problème 1D

► **Problème modèle**

$$\begin{cases} -ku''(x) = f(x), & x \in ]0, 1[, \\ u(0) = \alpha, u(1) = \beta. \end{cases}$$

► **Discrétisation** de pas  $h = \frac{1}{N+1} : x_i = ih$ .



► **Approximation** des dérivées pour  $g \in \mathcal{C}^2$

$$\begin{cases} g(x+h) = g(x) + hg'(x) + \frac{h^2}{2}g''(x) + h^2\varepsilon_+(h) \\ g(x-h) = g(x) - hg'(x) + \frac{h^2}{2}g''(x) + h^2\varepsilon_-(h) \end{cases}$$

D'où

$$g''(x) = \frac{g(x+h) + g(x-h) - 2g(x)}{h^2} + \varepsilon(h).$$

# Discrétisation de l'équation de Laplace

## Résolution numérique du problème 1D

- ▶ **Problème exact** (en  $x_i$ )

$$k \frac{-u(x_{i-1}) + 2u(x_i) - u(x_{i+1}))}{h^2} + \varepsilon_i(h) = f(x_i).$$

# Discrétisation de l'équation de Laplace

## Résolution numérique du problème 1D

► Problème discret

$$k \frac{-u_{i-1} + 2u_i - u_{i+1}}{h^2} = f(x_i).$$

# Discrétisation de l'équation de Laplace

## Résolution numérique du problème 1D

- ▶ **Problème discret**

$$k \frac{-u_{i-1} + 2u_i - u_{i+1}}{h^2} = f(x_i).$$

- ▶ **Aux extrémités**

$$k \frac{-u_0 + 2u_1 - u_2}{h^2} = f(x_1), \quad k \frac{-u_{N-1} + 2u_N - u_{N+1}}{h^2} = f(x_N)$$

# Discrétisation de l'équation de Laplace

## Résolution numérique du problème 1D

► **Problème discret**

$$k \frac{-u_{i-1} + 2u_i - u_{i+1}}{h^2} = f(x_i).$$

► **Aux extrémités**

$$k \frac{-\alpha + 2u_1 - u_2}{h^2} = f(x_1), \quad k \frac{-u_{N-1} + 2u_N - u_{N+1}}{h^2} = f(x_N)$$

# Discrétisation de l'équation de Laplace

## Résolution numérique du problème 1D

► Problème discret

$$k \frac{-u_{i-1} + 2u_i - u_{i+1}}{h^2} = f(x_i).$$

► Aux extrémités

$$k \frac{-\alpha + 2u_1 - u_2}{h^2} = f(x_1), \quad k \frac{-u_{N-1} + 2u_N - \beta}{h^2} = f(x_N)$$



# Discrétisation de l'équation de Laplace

## Résolution numérique du problème 1D

- ▶ Problème discret

$$k \frac{-u_{i-1} + 2u_i - u_{i+1}}{h^2} = f(x_i).$$

- ▶ Aux extrémités

$$k \frac{-\alpha + 2u_1 - u_2}{h^2} = f(x_1), \quad k \frac{-u_{N-1} + 2u_N - \beta}{h^2} = f(x_N)$$

- ▶ Écriture matricielle  $AU = F$  avec



# Discrétisation de l'équation de Laplace

## Simulations numériques

### ► Problème-test

$$\begin{cases} -u''(x) = 10 \sin(3x), & x \in ]0, 1[, \\ u(0) = 1, \quad u(1) = 2. \end{cases}$$

### ► Solution exacte

$$u(x) = \frac{10}{9} \sin(3x) + \left(1 - \frac{10}{9} \sin(3)\right) x + 1.$$



## Discrétisation de l'équation de Laplace

### Propriétés de la matrice $A$

**Théorème.**  $A$  est symétrique définie-positive. Ses valeurs propres sont

$$\lambda_\ell = \frac{4}{h^2} \sin^2 \left( \frac{\ell\pi h}{2} \right), \quad \ell = 1, 2, \dots, N.$$

## Discrétisation de l'équation de Laplace

### Propriétés de la matrice $A$

**Théorème.**  $A$  est symétrique **définie-positive**. Ses valeurs propres sont

$$\lambda_\ell = \frac{4}{h^2} \sin^2 \left( \frac{\ell\pi h}{2} \right), \quad \ell = 1, 2, \dots, N.$$

Preuve. Soit  $x \in \mathbb{R}^N$ .

$$h^2(Ax, x) = 2 \sum_{i=1}^N x_i^2 - 2 \sum_{i=1}^{N-1} x_i x_{i+1} = x_1^2 + \sum_{i=1}^{N-1} (x_i - x_{i+1})^2 + x_N^2 \geq 0$$

Si  $(Ax, x) = 0$ , alors  $x_1 = x_N = 0$  et  $x_i = x_{i+1}$  pour  $i = 1, 2, \dots, N-1$ .  
D'où  $x = 0$ .

Pour les  $v_p$ , on vérifie que le vecteur suivant est  $\vec{v}_p$  :

$$v_\ell = (\sin(\ell\pi h), \sin(2\ell\pi h), \dots, \sin(N\ell\pi h)).$$

□

## Discrétisation de l'équation de Laplace

### Estimation d'erreur – stabilité

On pose  $U_{\text{ex}} = (u(x_1), \dots, u(x_N))^T$ .

**Lemme.**

$$\|U_{\text{ex}} - U\| \leq \|A^{-1}\| \times \|AU_{\text{ex}} - F\|,$$

où

$$\|A^{-1}\| = \sup_{x \neq 0} \frac{\|A^{-1}x\|}{\|x\|}.$$

La quantité  $AU_{\text{ex}} - F$  est appelée **résidu**.

# Discrétisation de l'équation de Laplace

## Estimation d'erreur – stabilité

On pose  $U_{\text{ex}} = (u(x_1), \dots, u(x_N))^T$ .

**Lemme.**

$$\|U_{\text{ex}} - U\| \leq \|A^{-1}\| \times \|AU_{\text{ex}} - F\|,$$

où

$$\|A^{-1}\| = \sup_{x \neq 0} \frac{\|A^{-1}x\|}{\|x\|}.$$

La quantité  $AU_{\text{ex}} - F$  est appelée **résidu**.

**Lemme.** On a les estimations suivantes

$$\|A^{-1}\|_2 \leq \frac{1}{4} \quad \text{et} \quad \|A^{-1}\|_\infty \leq \frac{1}{8}.$$

Preuve. On a, pour la norme 2,

$$\|A^{-1}\|_2 = \frac{1}{\lambda_{\min}(A)} = \frac{h^2}{4 \sin^2\left(\frac{\pi h}{2}\right)} \leq \frac{1}{4}.$$

(en fait  $\sim \frac{1}{\pi^2}$ ). Plus difficile en norme  $\infty$ . □

# Discrétisation de l'équation de Laplace

## Estimation d'erreur – consistance

On pose  $U_{\text{ex}} = (u(x_1), \dots, u(x_N))^T$ .

**Lemme.** Si  $u \in \mathcal{C}^4([0, 1])$ , alors

$$\|AU_{\text{ex}} - F\|_{\infty} \leq \frac{h^2}{12} \sup_{x \in [0,1]} |u^{(4)}(x)|.$$



## Discrétisation de l'équation de Laplace

### Estimation d'erreur – consistance

On pose  $U_{\text{ex}} = (u(x_1), \dots, u(x_N))^T$ .

**Lemme.** Si  $u \in \mathcal{C}^4([0, 1])$ , alors

$$\|AU_{\text{ex}} - F\|_{\infty} \leq \frac{h^2}{12} \sup_{x \in [0,1]} |u^{(4)}(x)|.$$

Preuve. On a, pour  $1 \leq i \leq N$ ,

$$(AU_{\text{ex}} - F)_i = \frac{-u(x_{i-1}) + 2u(x_i) - u(x_{i+1}))}{h^2} - f(x_i).$$

À l'aide d'un développement de Taylor en  $x_i$ ,

$$(AU_{\text{ex}} - F)_i = \frac{h^2}{24} [u^{(4)}(\xi_-) + u^{(4)}(\xi_+)].$$

# Discrétisation de l'équation de Laplace

## Estimation d'erreur – consistance

On pose  $U_{\text{ex}} = (u(x_1), \dots, u(x_N))^T$ .

**Lemme.** Si  $u \in \mathcal{C}^4([0, 1])$ , alors

$$\|AU_{\text{ex}} - F\|_{\infty} \leq \frac{h^2}{12} \sup_{x \in [0,1]} |u^{(4)}(x)|.$$

**Corollaire.**  $\|AU_{\text{ex}} - F\|_2 \leq \frac{h^{\frac{3}{2}}}{12} \sup_{x \in [0,1]} |u^{(4)}(x)|.$

# Discrétisation de l'équation de Laplace

## Estimation d'erreur – consistance

On pose  $U_{\text{ex}} = (u(x_1), \dots, u(x_N))^T$ .

**Lemme.** Si  $u \in \mathcal{C}^4([0, 1])$ , alors

$$\|AU_{\text{ex}} - F\|_{\infty} \leq \frac{h^2}{12} \sup_{x \in [0,1]} |u^{(4)}(x)|.$$

**Corollaire.**  $\|AU_{\text{ex}} - F\|_2 \leq \frac{h^{\frac{3}{2}}}{12} \sup_{x \in [0,1]} |u^{(4)}(x)|.$

Preuve. Pour  $V \in \mathbb{R}^N$ ,

$$\|V\|_2^2 = \sum_{i=1}^N V_i^2 \leq N \|V\|_{\infty}^2 \leq \frac{1}{h} \|V\|_{\infty}^2.$$

# Discrétisation de l'équation de Laplace

## Estimation d'erreur – convergence

**Théorème.** Si  $u \in \mathcal{C}^4([0, 1])$ , alors

$$\|U_{\text{ex}} - U\|_{\infty} \leq \frac{h^2}{96} \sup_{x \in [0,1]} |u^{(4)}(x)|.$$

et

$$\|U_{\text{ex}} - U\|_2 \leq \frac{h^{\frac{3}{2}}}{48} \sup_{x \in [0,1]} |u^{(4)}(x)|.$$

### Remarques.

- ▶ En norme 2, l'estimation correspondant à  $L^2([0, 1])$  est

$$\sqrt{h} \|U_{\text{ex}} - U\|_2 \leq \frac{h^2}{48} \sup_{x \in [0,1]} |u^{(4)}(x)|.$$

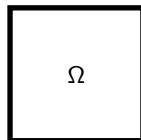
- ▶ Pour avoir  $u \in \mathcal{C}^4$ , il suffit d'avoir  $f \in \mathcal{C}^2$ .

# Discrétisation de l'équation de Laplace

En dimension 2

► **Problème modèle**

$$\begin{cases} -\Delta u = f, & \text{dans } \Omega \\ u = 0, & \text{sur } \partial\Omega. \end{cases}$$

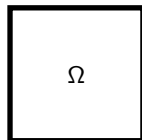


# Discrétisation de l'équation de Laplace

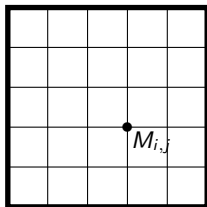
En dimension 2

## ► Problème modèle

$$\begin{cases} -\Delta u = f, & \text{dans } \Omega \\ u = 0, & \text{sur } \partial\Omega. \end{cases}$$



## ► Discrétisation



Pour  $N \in \mathbb{N}$ ,

$$\text{► } h = \frac{1}{N+1},$$

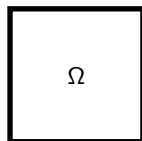
$$\text{► } M_{i,j} = \left( \frac{i}{N+1}, \frac{j}{N+1} \right).$$

# Discrétisation de l'équation de Laplace

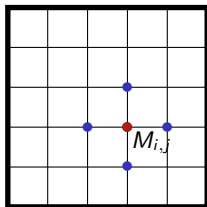
En dimension 2

## ► Problème modèle

$$\begin{cases} -\Delta u = f, & \text{dans } \Omega \\ u = 0, & \text{sur } \partial\Omega. \end{cases}$$



## ► Discrétisation



Pour  $N \in \mathbb{N}$ ,

$$\text{► } h = \frac{1}{N+1},$$

$$\text{► } M_{i,j} = \left( \frac{i}{N+1}, \frac{j}{N+1} \right).$$

$$-\Delta u(M_{i,j}) \simeq \frac{4u(M_{i,j}) - u(M_{i-1,j}) - u(M_{i+1,j}) - u(M_{i,j-1}) - u(M_{i,j+1}))}{h^2}$$

## Discrétisation de l'équation de Laplace

En dimension 2

$$-\Delta u(M_{i,j}) \simeq \frac{4u(M_{i,j}) - u(M_{i-1,j}) - u(M_{i+1,j}) - u(M_{i,j-1}) - u(M_{i,j+1}))}{h^2}$$

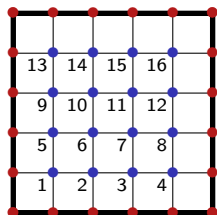




# Discrétisation de l'équation de Laplace

En dimension 2

$$-\Delta u (M_{i,j}) \simeq \frac{4u(M_{i,j}) - u(M_{i-1,j}) - u(M_{i+1,j}) - u(M_{i,j-1}) - u(M_{i,j+1}))}{h^2}$$



- ▶ Inconnues en **bleu**.
- ▶ Données en **rouge**.
- ▶  $\{6, 7, 10, 11\}$  : aucun voisin au bord.
- ▶ Autres nœuds : interaction avec bord.

$$A = \frac{1}{h^2} \left( \begin{array}{c} \text{Grid} \end{array} \right)$$











































# Discrétisation de l'équation de Laplace

En dimension 2

Cas général.

$$A = \frac{1}{h^2} \begin{pmatrix} H & -I & & \\ -I & \ddots & \ddots & \\ & \ddots & \ddots & -I \\ & & -I & H \end{pmatrix} \in \mathbb{R}^{N^2 \times N^2},$$

avec

$$H = \begin{pmatrix} 4 & & & & \\ & -1 & & & \\ & & \ddots & & \\ & & & -1 & \\ & & & & 4 \end{pmatrix} \in \mathbb{R}^{N \times N}, \quad I = I_N \in \mathbb{R}^{N \times N}.$$

# Discrétisation de l'équation de Laplace

En dimension 2

► Comme en dimension 1...

**Théorème.** Si  $u \in \mathcal{C}^4(\bar{\Omega})$ , alors

$$\|U_{\text{ex}} - U\|_{\infty} \leq \frac{h^2}{48} \sup_{(x,y) \in \bar{\Omega}} \left( \left| \frac{\partial^4 u}{\partial x^4}(x,y) \right| + \left| \frac{\partial^4 u}{\partial y^4}(x,y) \right| \right).$$

# Discrétisation de l'équation de Laplace

En dimension 2

- ▶ Comme en dimension 1...

**Théorème.** Si  $u \in \mathcal{C}^4(\bar{\Omega})$ , alors

$$\|U_{\text{ex}} - U\|_{\infty} \leq \frac{h^2}{48} \sup_{(x,y) \in \bar{\Omega}} \left( \left| \frac{\partial^4 u}{\partial x^4}(x,y) \right| + \left| \frac{\partial^4 u}{\partial y^4}(x,y) \right| \right).$$

- ▶ ... mais des difficultés supplémentaires



# Discrétisation de l'équation de Laplace

En dimension 2

- ▶ Comme en dimension 1...

**Théorème.** Si  $u \in \mathcal{C}^4(\overline{\Omega})$ , alors

$$\|U_{\text{ex}} - U\|_{\infty} \leq \frac{h^2}{48} \sup_{(x,y) \in \overline{\Omega}} \left( \left| \frac{\partial^4 u}{\partial x^4}(x,y) \right| + \left| \frac{\partial^4 u}{\partial y^4}(x,y) \right| \right).$$

- ▶ ... mais des difficultés supplémentaires

- ▶ L'hypothèse  $f \in \mathcal{C}^2(\overline{\Omega})$  n'implique  $u \in \mathcal{C}^4(\overline{\Omega})$  que si  $\Omega$  est régulier.

# Discrétisation de l'équation de Laplace

## En dimension 2

- ▶ Comme en dimension 1...

**Théorème.** Si  $u \in \mathcal{C}^4(\bar{\Omega})$ , alors

$$\|U_{\text{ex}} - U\|_{\infty} \leq \frac{h^2}{48} \sup_{(x,y) \in \bar{\Omega}} \left( \left| \frac{\partial^4 u}{\partial x^4}(x,y) \right| + \left| \frac{\partial^4 u}{\partial y^4}(x,y) \right| \right).$$

- ▶ ... mais des difficultés supplémentaires

- ▶ L'hypothèse  $f \in \mathcal{C}^2(\bar{\Omega})$  n'implique  $u \in \mathcal{C}^4(\bar{\Omega})$  que si  $\Omega$  est régulier.
- ▶ La matrice est creuse, mais la numérotation influe sur sa structure.

# Discrétisation de l'équation de Laplace

En dimension 2

- ▶ Comme en dimension 1...

**Théorème.** Si  $u \in \mathcal{C}^4(\bar{\Omega})$ , alors

$$\|U_{\text{ex}} - U\|_{\infty} \leq \frac{h^2}{48} \sup_{(x,y) \in \bar{\Omega}} \left( \left| \frac{\partial^4 u}{\partial x^4}(x,y) \right| + \left| \frac{\partial^4 u}{\partial y^4}(x,y) \right| \right).$$

- ▶ ... mais des difficultés supplémentaires

- ▶ L'hypothèse  $f \in \mathcal{C}^2(\bar{\Omega})$  n'implique  $u \in \mathcal{C}^4(\bar{\Omega})$  que si  $\Omega$  est régulier.
- ▶ La matrice est creuse, mais la numérotation influe sur sa structure.
- ▶ La prise en compte de géométries complexes n'est pas aisée.

# Discrétisation de l'équation de Laplace

## En dimension 2

- ▶ Comme en dimension 1...

**Théorème.** Si  $u \in \mathcal{C}^4(\bar{\Omega})$ , alors

$$\|U_{\text{ex}} - U\|_{\infty} \leq \frac{h^2}{48} \sup_{(x,y) \in \bar{\Omega}} \left( \left| \frac{\partial^4 u}{\partial x^4}(x,y) \right| + \left| \frac{\partial^4 u}{\partial y^4}(x,y) \right| \right).$$

- ▶ ... mais des difficultés supplémentaires

- ▶ L'hypothèse  $f \in \mathcal{C}^2(\bar{\Omega})$  n'implique  $u \in \mathcal{C}^4(\bar{\Omega})$  que si  $\Omega$  est régulier.
- ▶ La matrice est creuse, mais la numérotation influe sur sa structure.
- ▶ La prise en compte de géométries complexes n'est pas aisée.

- ▶ Problème aux valeurs propres associé à  $A$

- ▶ vibrations de la membrane.

---

# COURS 6

## Discrétisation des EDP

*l'équation de transport*

---

# Discrétisation de l'équation de transport

## Pollution d'une rivière



*Comment un polluant est-il transporté par le courant d'une rivière ?*

*Quel est l'impact du courant sur sa concentration ?*

*Comment anticiper les zones où la concentration sera la plus forte ?*

# Discrétisation de l'équation de transport

## Modélisation

- ▶ L'espace (la rivière) est modélisé par  $\Omega = \mathbb{R}$ .

# Discrétisation de l'équation de transport

## Modélisation

- ▶ L'espace (la rivière) est modélisé par  $\Omega = \mathbb{R}$ .
- ▶ Le temps est modélisé par l'intervalle  $[0, T]$ .



# Discrétisation de l'équation de transport

## Modélisation

- ▶ L'espace (la rivière) est modélisé par  $\Omega = \mathbb{R}$ .
- ▶ Le temps est modélisé par l'intervalle  $[0, T]$ .
- ▶ L'inconnue est la concentration de polluant  $u(x, t)$  avec

$$u : \Omega \times [0, T] \rightarrow \mathbb{R}^+$$

# Discrétisation de l'équation de transport

## Modélisation

- ▶ L'espace (la rivière) est modélisé par  $\Omega = \mathbb{R}$ .
- ▶ Le temps est modélisé par l'intervalle  $[0, T]$ .
- ▶ L'inconnue est la concentration de polluant  $u(x, t)$  avec

$$u : \Omega \times [0, T] \rightarrow \mathbb{R}^+$$

- ▶ Cette quantité évolue car soumise a un champ de vitesse  $v(x, t)$  supposé connu.

# Discrétisation de l'équation de transport

## Modélisation

- ▶ L'espace (la rivière) est modélisé par  $\Omega = \mathbb{R}$ .
- ▶ Le temps est modélisé par l'intervalle  $[0, T]$ .
- ▶ L'inconnue est la concentration de polluant  $u(x, t)$  avec

$$u : \Omega \times [0, T] \rightarrow \mathbb{R}^+$$

- ▶ Cette quantité évolue car soumise a un champ de vitesse  $v(x, t)$  supposé connu.
- ▶ Loi : Conservation de la masse.

## Discrétisation de l'équation de transport

### Conservation de la masse

La quantité de polluant dans un intervalle quelconque  $[a, b] \subset \mathbb{R}$ , au temps  $t$  est

$$Q(t) = \int_a^b u(x, t) dx$$



## Discrétisation de l'équation de transport

### Conservation de la masse

La quantité de polluant dans un intervalle quelconque  $[a, b] \subset \mathbb{R}$ , au temps  $t$  est

$$Q(t) = \int_a^b u(x, t) dx$$



Bilan entrées-sorties :

$$Q'(t) = u(a, t)v(a, t) - u(b, t)v(b, t).$$

## Discrétisation de l'équation de transport

### Conservation de la masse

La quantité de polluant dans un intervalle quelconque  $[a, b] \subset \mathbb{R}$ , au temps  $t$  est

$$Q(t) = \int_a^b u(x, t) dx$$



Bilan entrées-sorties :

$$Q'(t) = u(a, t)v(a, t) - u(b, t)v(b, t).$$

D'autre part,  $Q'(t) = \int_a^b \partial_t u(x, t) dx$  et ainsi

## Discrétisation de l'équation de transport

### Conservation de la masse

La quantité de polluant dans un intervalle quelconque  $[a, b] \subset \mathbb{R}$ , au temps  $t$  est

$$Q(t) = \int_a^b u(x, t) dx$$



Bilan entrées-sorties :

$$Q'(t) = u(a, t)v(a, t) - u(b, t)v(b, t).$$

D'autre part,  $Q'(t) = \int_a^b \partial_t u(x, t) dx$  et ainsi

$$\int_a^b \partial_t u(x, t) dx + u(b, t)v(b, t) - u(a, t)v(a, t) = 0.$$

## Discrétisation de l'équation de transport

### Conservation de la masse

$$\int_a^b \partial_t u(x, t) dx + u(b, t)v(b, t) - u(a, t)v(a, t) = 0,$$

$$\int_a^b [\partial_t u(x, t) + \partial_x(uv)(x, t)] dx = 0, \quad \forall t \in [0, T]$$

Ce calcul est valable pour tout intervalle  $[a, b]$ , donc on peut écrire directement

$$\partial_t u(x, t) + \partial_x(uv)(x, t) = 0, \quad \forall (x, t) \in \mathbb{R} \times [0, T]$$

C'est une EDP linéaire d'ordre 1 aussi appelée **équation de transport linéaire**

Remarque. l'EDP peut se réécrire

$$\partial_t u + v\partial_x u + u\partial_x v = 0, \quad \text{sur } \mathbb{R} \times [0, T].$$



# Discrétisation de l'équation de transport

## Généralité

**Définition.** On appelle équation de transport linéaire en dimension 1 l'EDP suivante

$$\begin{cases} \partial_t u(x, t) + v(x, t) \partial_x u(x, t) + a(x, t) u(x, t) = f(x, t), \\ u(x, 0) = u_0(x), \end{cases}$$

où  $v$ ,  $a$  et  $f$  sont des fonctions données continues sur  $[0, T] \times \mathbb{R}$  et l'inconnue  $u$  est une fonction de classe  $\mathcal{C}^1([0, T] \times \mathbb{R}, \mathbb{R})$ .

Remarques :

# Discrétisation de l'équation de transport

## Généralité

**Définition.** On appelle équation de transport linéaire en dimension 1 l'EDP suivante

$$\begin{cases} \partial_t u(x, t) + v(x, t) \partial_x u(x, t) + a(x, t) u(x, t) = f(x, t), \\ u(x, 0) = u_0(x), \end{cases}$$

où  $v$ ,  $a$  et  $f$  sont des fonctions données continues sur  $[0, T] \times \mathbb{R}$  et l'inconnue  $u$  est une fonction de classe  $\mathcal{C}^1([0, T] \times \mathbb{R}, \mathbb{R})$ .

### Remarques :

- ▶  $v$  est homogène à une vitesse et s'appelle le champ de vitesse de l'équation.

# Discrétisation de l'équation de transport

## Généralité

**Définition.** On appelle équation de transport linéaire en dimension 1 l'EDP suivante

$$\begin{cases} \partial_t u(x, t) + v(x, t) \partial_x u(x, t) + a(x, t) u(x, t) = f(x, t), \\ u(x, 0) = u_0(x), \end{cases}$$

où  $v$ ,  $a$  et  $f$  sont des fonctions données continues sur  $[0, T] \times \mathbb{R}$  et l'inconnue  $u$  est une fonction de classe  $\mathcal{C}^1([0, T] \times \mathbb{R}, \mathbb{R})$ .

### Remarques :

- ▶  $v$  est homogène à une vitesse et s'appelle le champ de vitesse de l'équation.
- ▶ Si  $f = 0$ , l'équation est dite homogène.

# Discrétisation de l'équation de transport

## Généralité

**Définition.** On appelle équation de transport linéaire en dimension 1 l'EDP suivante

$$\begin{cases} \partial_t u(x, t) + v(x, t) \partial_x u(x, t) + a(x, t) u(x, t) = f(x, t), \\ u(x, 0) = u_0(x), \end{cases}$$

où  $v$ ,  $a$  et  $f$  sont des fonctions données continues sur  $[0, T] \times \mathbb{R}$  et l'inconnue  $u$  est une fonction de classe  $\mathcal{C}^1([0, T] \times \mathbb{R}, \mathbb{R})$ .

### Remarques :

- ▶  $v$  est homogène à une vitesse et s'appelle le champ de vitesse de l'équation.
- ▶ Si  $f = 0$ , l'équation est dite homogène.
- ▶ Dans le modèle vu plus haut, les coefficients  $a$  et  $v$  sont liés.

# Méthode des caractéristiques

## Discrétisation de l'équation de transport

Cas vitesse constante,  $a = 0$  et  $f = 0$

Supposons le **champ de vitesse constant**  $v(x, t) = c$ ,  $a = 0$  et  $f = 0$ .

$$(T) \quad \begin{cases} \partial_t u + c \partial_x u = 0, & \text{sur } \mathbb{R} \times [0, T], \\ u(x, 0) = u_0(x), & \text{pour } x \in \mathbb{R}. \end{cases}$$

## Discrétisation de l'équation de transport

Cas vitesse constante,  $a = 0$  et  $f = 0$

Supposons le **champ de vitesse constant**  $v(x, t) = c$ ,  $a = 0$  et  $f = 0$ .

$$(T) \quad \begin{cases} \partial_t u + c \partial_x u = 0, & \text{sur } \mathbb{R} \times [0, T], \\ u(x, 0) = u_0(x), & \text{pour } x \in \mathbb{R}. \end{cases}$$

- ▶ La solution satisfaisant  $u(x, 0) = u_0(x)$  est donnée par

$$u(x, t) = u_0(x - ct).$$

## Discrétisation de l'équation de transport

Cas vitesse constante,  $a = 0$  et  $f = 0$

Supposons le **champ de vitesse constant**  $v(x, t) = c$ ,  $a = 0$  et  $f = 0$ .

$$(T) \quad \begin{cases} \partial_t u + c \partial_x u = 0, & \text{sur } \mathbb{R} \times [0, T], \\ u(x, 0) = u_0(x), & \text{pour } x \in \mathbb{R}. \end{cases}$$

- ▶ La solution satisfaisant  $u(x, 0) = u_0(x)$  est donnée par

$$u(x, t) = u_0(x - ct).$$

- ▶ Autrement dit, si on note  $X(t) = k + ct$ , alors

$$t \mapsto u(X(t), t) \text{ est constante.}$$



## Discrétisation de l'équation de transport

Cas vitesse constante,  $a = 0$  et  $f = 0$

**Définition.** On appelle caractéristiques associées à l'équation ( $\mathcal{T}$ ) toutes les solutions de l'équation différentielle

$$X'(t) = c.$$

Leurs graphes  $t \rightarrow (X(t), t)$  sont appelés courbes caractéristiques.

## Discrétisation de l'équation de transport

Cas vitesse constante,  $a = 0$  et  $f = 0$

**Définition.** On appelle caractéristiques associées à l'équation ( $\mathcal{T}$ ) toutes les solutions de l'équation différentielle

$$X'(t) = c.$$

Leurs graphes  $t \rightarrow (X(t), t)$  sont appelés courbes caractéristiques.

**Remarque :** Ce sont les fonctions affines  $X(t) = ct + k$ ,  $k \in \mathbb{R}$ .

## Discrétisation de l'équation de transport

Cas vitesse constante,  $a = 0$  et  $f = 0$

**Définition.** On appelle caractéristiques associées à l'équation  $(\mathcal{T})$  toutes les solutions de l'équation différentielle

$$X'(t) = c.$$

Leurs graphes  $t \rightarrow (X(t), t)$  sont appelés courbes caractéristiques.

**Remarque :** Ce sont les fonctions affines  $X(t) = ct + k$ ,  $k \in \mathbb{R}$ .

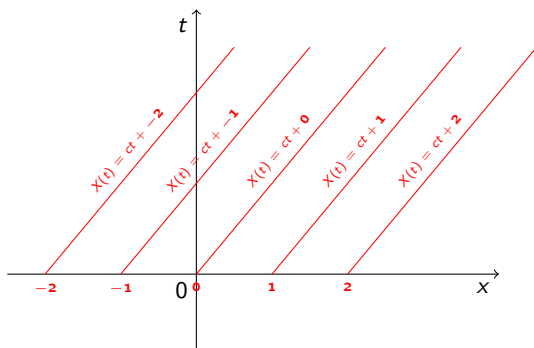
**Proposition.** La solution  $u \in \mathcal{C}^1([0, T] \times \mathbb{R})$  de  $(\mathcal{T})$ , est constante sur les courbes caractéristiques : si  $X$  est une caractéristique associée à  $(\mathcal{T})$ , alors la fonction

$$t \mapsto u(X(t), t)$$

est constante.

## Discrétisation de l'équation de transport

Cas vitesse constante,  $a = 0$  et  $f = 0$



- ▶ Les **courbes caractéristiques** sont des courbes de niveau de la solution  $u$  sur  $\mathbb{R} \times [0, T]$ .
- ▶ **Remarque** : Si on connaît la solution  $u$  pour  $t = 0$  alors on la connaît en tout temps.

# Discrétisation de l'équation de transport

## Méthodologie

Retour à notre équation de transport :

$$(T) \quad \begin{cases} \partial_t u + c \partial_x u = 0, & \text{sur } \mathbb{R} \times [0, T], \\ u(x, 0) = u_0(x), & \forall x \in \mathbb{R}. \end{cases}$$

# Discrétisation de l'équation de transport

## Méthodologie

Retour à notre équation de transport :

$$(T) \quad \begin{cases} \partial_t u + c \partial_x u = 0, & \text{sur } \mathbb{R} \times [0, T], \\ u(x, 0) = u_0(x), & \forall x \in \mathbb{R}. \end{cases}$$

**Méthodologie** : pour trouver la valeur de la solution  $u$  en un point quelconque  $(x_0, t_0) \in \mathbb{R} \times [0, T]$ ,

- ▶ on identifie l'unique caractéristique  $X_{x_0, t_0}$  qui passe par  $x_0$  en  $t = t_0$ ,

# Discrétisation de l'équation de transport

## Méthodologie

Retour à notre équation de transport :

$$(T) \quad \begin{cases} \partial_t u + c \partial_x u = 0, & \text{sur } \mathbb{R} \times [0, T], \\ u(x, 0) = u_0(x), & \forall x \in \mathbb{R}. \end{cases}$$

**Méthodologie** : pour trouver la valeur de la solution  $u$  en un point quelconque  $(x_0, t_0) \in \mathbb{R} \times [0, T]$ ,

- ▶ on identifie l'unique caractéristique  $X_{x_0, t_0}$  qui passe par  $x_0$  en  $t = t_0$ ,
- ▶ on évalue  $u$  à l'origine de cette caractéristique :  $u_0(X_{x_0, t_0}(0))$ ,

# Discrétisation de l'équation de transport

## Méthodologie

Retour à notre équation de transport :

$$(T) \quad \begin{cases} \partial_t u + c \partial_x u = 0, & \text{sur } \mathbb{R} \times [0, T], \\ u(x, 0) = u_0(x), & \forall x \in \mathbb{R}. \end{cases}$$

**Méthodologie** : pour trouver la valeur de la solution  $u$  en un point quelconque  $(x_0, t_0) \in \mathbb{R} \times [0, T]$ ,

- ▶ on identifie l'unique caractéristique  $X_{x_0, t_0}$  qui passe par  $x_0$  en  $t = t_0$ ,
- ▶ on évalue  $u$  à l'origine de cette caractéristique :  $u_0(X_{x_0, t_0}(0))$ ,
- ▶ on reporte cette valeur au point  $(x_0, t_0)$  :

$$u(x_0, t_0) = u_0(X_{x_0, t_0}(0)).$$



# Discrétisation de l'équation de transport

## Méthodologie

Retour à notre équation de transport :

$$(\mathcal{T}) \quad \begin{cases} \partial_t u + c \partial_x u = 0, & \text{sur } \mathbb{R} \times [0, T], \\ u(x, 0) = u_0(x), & \forall x \in \mathbb{R}. \end{cases}$$

**Méthodologie** : pour trouver la valeur de la solution  $u$  en un point quelconque  $(x_0, t_0) \in \mathbb{R} \times [0, T]$ ,

- ▶ on identifie l'unique caractéristique  $X_{x_0, t_0}$  qui passe par  $x_0$  en  $t = t_0$ ,
- ▶ on évalue  $u$  à l'origine de cette caractéristique :  $u_0(X_{x_0, t_0}(0))$ ,
- ▶ on reporte cette valeur au point  $(x_0, t_0)$  :

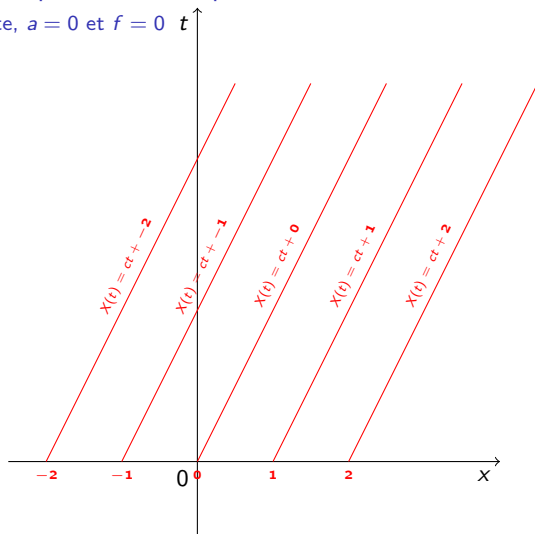
$$u(x_0, t_0) = u_0(X_{x_0, t_0}(0)).$$

**Ici** :  $X_{x_0, t_0}(t) = ct + x_0 - ct_0$  passe par  $(x_0, t_0)$ . À l'origine elle vaut  $X_{x_0, t_0}(0) = x_0 - ct_0$ . Ainsi,

$$u(x_0, t_0) = u_0(x_0 - ct_0).$$

## Discrétisation de l'équation de transport

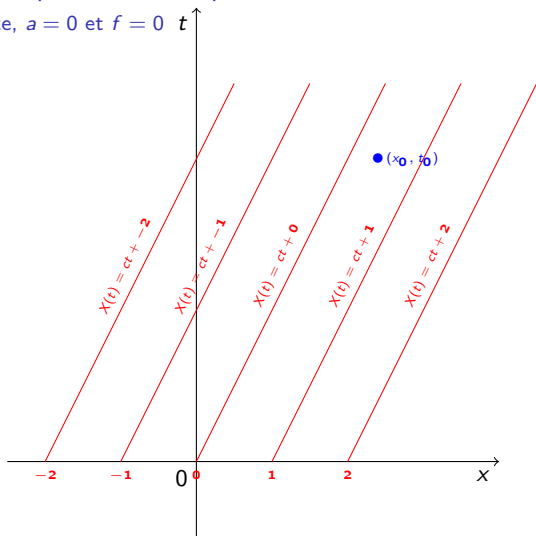
Cas vitesse constante,  $a = 0$  et  $f = 0$



$$u(x_0, t_0) = u_0(x_0 - ct_0).$$

## Discrétisation de l'équation de transport

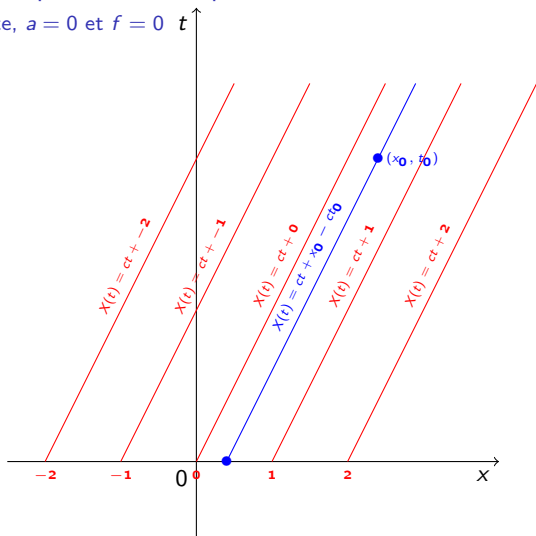
Cas vitesse constante,  $a = 0$  et  $f = 0$



$$u(x_0, t_0) = u_0(x_0 - ct_0).$$

## Discrétisation de l'équation de transport

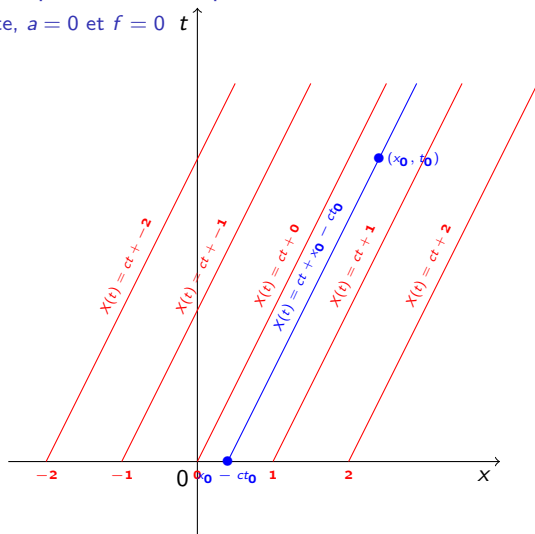
Cas vitesse constante,  $a = 0$  et  $f = 0$



$$u(x_0, t_0) = u_0(x_0 - ct_0).$$

## Discrétisation de l'équation de transport

Cas vitesse constante,  $a = 0$  et  $f = 0$



$$u(x_0, t_0) = u_0(x_0 - ct_0).$$

# Discrétisation de l'équation de transport

## Existence et unicité

**Proposition.** Soit  $c \in \mathbb{R}$ , et  $u_0 \in \mathcal{C}^1(\mathbb{R})$ , le problème de transport

$$(T) \quad \begin{cases} \partial_t u + c \partial_x u = 0, & \text{sur } \mathbb{R} \times [0, T], \\ u(x, 0) = u_0(x), & \forall x \in \mathbb{R}. \end{cases}$$

admet une unique solution  $u \in \mathcal{C}^1(\mathbb{R} \times [0, T])$  donnée par

$$u(x, t) = u_0(x - ct).$$

# Discrétisation de l'équation de transport

## Existence et unicité

**Proposition.** Soit  $c \in \mathbb{R}$ , et  $u_0 \in \mathcal{C}^1(\mathbb{R})$ , le problème de transport

$$(T) \quad \begin{cases} \partial_t u + c \partial_x u = 0, & \text{sur } \mathbb{R} \times [0, T], \\ u(x, 0) = u_0(x), & \forall x \in \mathbb{R}. \end{cases}$$

admet une unique solution  $u \in \mathcal{C}^1(\mathbb{R} \times [0, T])$  donnée par

$$u(x, t) = u_0(x - ct).$$

**Exemple :** La solution du problème

$$\begin{cases} \partial_t u + 2 \partial_x u = 0, & \text{sur } \mathbb{R} \times [0, T], \\ u(x, 0) = e^{-x^2}, & \forall x \in \mathbb{R}. \end{cases}$$

est

$$u(x, t) = e^{-(x-2t)^2}.$$

## Discrétisation de l'équation de transport

Cas vitesse non constante,  $a = 0$  et  $f = 0$

On choisit toujours que  $a = 0$  et  $f = 0$ , et on suppose :

$$\forall x, y \in \mathbb{R}, \forall t \in [0, T], \quad |v(x, t) - v(y, t)| \leq k|x - y|.$$

On considère

$$(\mathcal{T}) \quad \begin{cases} \partial_t u + v \partial_x u = 0, & \text{sur } \mathbb{R} \times [0, T], \\ u(x, 0) = u_0(x), & \forall x \in \mathbb{R}. \end{cases}$$



## Discrétisation de l'équation de transport

Cas vitesse non constante,  $a = 0$  et  $f = 0$

On choisit toujours que  $a = 0$  et  $f = 0$ , et on suppose :

$$\forall x, y \in \mathbb{R}, \forall t \in [0, T], \quad |v(x, t) - v(y, t)| \leq k|x - y|.$$

On considère

$$(\mathcal{T}) \quad \begin{cases} \partial_t u + v \partial_x u = 0, & \text{sur } \mathbb{R} \times [0, T], \\ u(x, 0) = u_0(x), & \forall x \in \mathbb{R}. \end{cases}$$

**Définition.** On appelle caractéristiques associées à l'équation  $(\mathcal{T})$  toutes les solutions de l'équation différentielle

$$X'(t) = v(X(t), t).$$

Leurs graphes  $t \mapsto (X(t), t)$  sont appelés courbes caractéristiques.

## Discrétisation de l'équation de transport

Cas vitesse non constante,  $a = 0$  et  $f = 0$

On choisit toujours que  $a = 0$  et  $f = 0$ , et on suppose :

$$\forall x, y \in \mathbb{R}, \forall t \in [0, T], \quad |v(x, t) - v(y, t)| \leq k|x - y|.$$

On considère

$$(\mathcal{T}) \quad \begin{cases} \partial_t u + v \partial_x u = 0, & \text{sur } \mathbb{R} \times [0, T], \\ u(x, 0) = u_0(x), & \forall x \in \mathbb{R}. \end{cases}$$

**Définition.** On appelle caractéristiques associées à l'équation  $(\mathcal{T})$  toutes les solutions de l'équation différentielle

$$X'(t) = v(X(t), t).$$

Leurs graphes  $t \mapsto (X(t), t)$  sont appelés courbes caractéristiques.

**Remarque :** Cauchy-Lipschitz  $\implies X \in \mathcal{C}^1([0, T])$

## Discrétisation de l'équation de transport

Cas vitesse non constante,  $a = 0$  et  $f = 0$

**Proposition.** Toute solution  $u \in \mathcal{C}^1([0, T] \times \mathbb{R})$  de  $(\mathcal{T})$ , est constante sur les courbes caractéristiques : si  $X$  est une caractéristique associée à  $(\mathcal{T})$ , alors la fonction

$$t \mapsto u(X(t), t)$$

est constante.

## Discrétisation de l'équation de transport

Cas vitesse non constante,  $a = 0$  et  $f = 0$

**Proposition.** Toute solution  $u \in \mathcal{C}^1([0, T] \times \mathbb{R})$  de  $(\mathcal{T})$ , est constante sur les courbes caractéristiques : si  $X$  est une caractéristique associée à  $(\mathcal{T})$ , alors la fonction

$$t \mapsto u(X(t), t)$$

est constante.

**Preuve :** On pose  $\varphi(t) = u(X(t), t)$ . Par dérivation composée,

$$\varphi'(t) = \partial_x u(X(t), t)X'(t) + \partial_t u(X(t), t)$$

## Discrétisation de l'équation de transport

Cas vitesse non constante,  $a = 0$  et  $f = 0$

**Proposition.** Toute solution  $u \in \mathcal{C}^1([0, T] \times \mathbb{R})$  de  $(\mathcal{T})$ , est constante sur les courbes caractéristiques : si  $X$  est une caractéristique associée à  $(\mathcal{T})$ , alors la fonction

$$t \mapsto u(X(t), t)$$

est constante.

**Preuve :** On pose  $\varphi(t) = u(X(t), t)$ . Par dérivation composée,

$$\begin{aligned}\varphi'(t) &= \partial_x u(X(t), t)X'(t) + \partial_t u(X(t), t) \\ &= \partial_x u(X(t), t)v(X(t), t) + \partial_t u(X(t), t)\end{aligned}$$

## Discrétisation de l'équation de transport

Cas vitesse non constante,  $a = 0$  et  $f = 0$

**Proposition.** Toute solution  $u \in \mathcal{C}^1([0, T] \times \mathbb{R})$  de  $(\mathcal{T})$ , est constante sur les courbes caractéristiques : si  $X$  est une caractéristique associée à  $(\mathcal{T})$ , alors la fonction

$$t \mapsto u(X(t), t)$$

est constante.

**Preuve :** On pose  $\varphi(t) = u(X(t), t)$ . Par dérivation composée,

$$\begin{aligned}\varphi'(t) &= \partial_x u(X(t), t)X'(t) + \partial_t u(X(t), t) \\ &= \partial_x u(X(t), t)v(X(t), t) + \partial_t u(X(t), t) \\ &= (v\partial_x u + \partial_t u)(X(t), t)\end{aligned}$$

## Discrétisation de l'équation de transport

Cas vitesse non constante,  $a = 0$  et  $f = 0$

**Proposition.** Toute solution  $u \in \mathcal{C}^1([0, T] \times \mathbb{R})$  de  $(\mathcal{T})$ , est constante sur les courbes caractéristiques : si  $X$  est une caractéristique associée à  $(\mathcal{T})$ , alors la fonction

$$t \mapsto u(X(t), t)$$

est constante.

**Preuve :** On pose  $\varphi(t) = u(X(t), t)$ . Par dérivation composée,

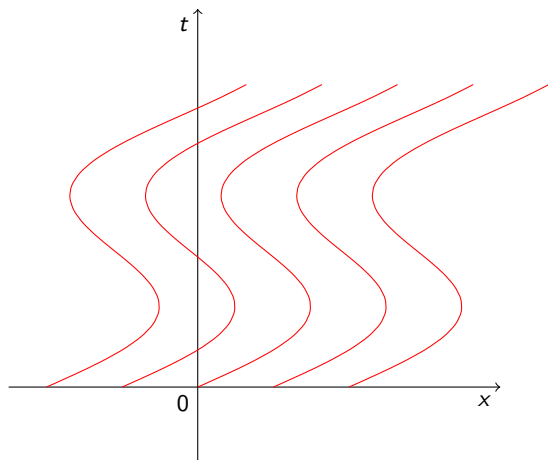
$$\begin{aligned}\varphi'(t) &= \partial_x u(X(t), t)X'(t) + \partial_t u(X(t), t) \\ &= \partial_x u(X(t), t)v(X(t), t) + \partial_t u(X(t), t) \\ &= (v\partial_x u + \partial_t u)(X(t), t) \\ &= 0.\end{aligned}$$

□

## Discrétisation de l'équation de transport

Cas vitesse non constante,  $a = 0$  et  $f = 0$

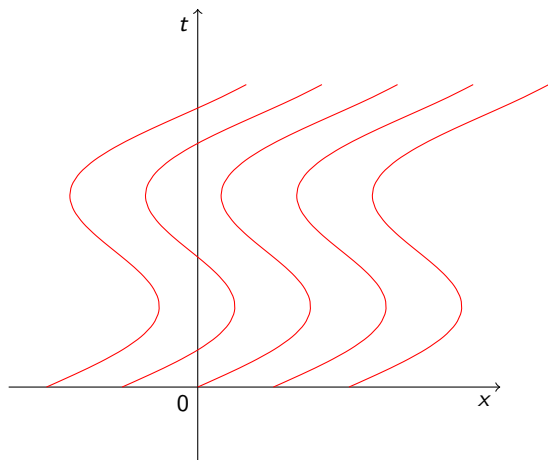
Remarques :





## Discrétisation de l'équation de transport

Cas vitesse non constante,  $a = 0$  et  $f = 0$

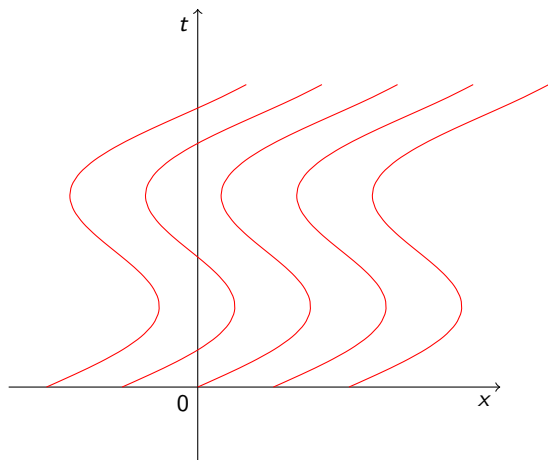


Remarques :

- Les **courbes caractéristiques** sont les **lignes de champ** associées au champ de vitesse  $v(x, t)$

## Discrétisation de l'équation de transport

Cas vitesse non constante,  $a = 0$  et  $f = 0$

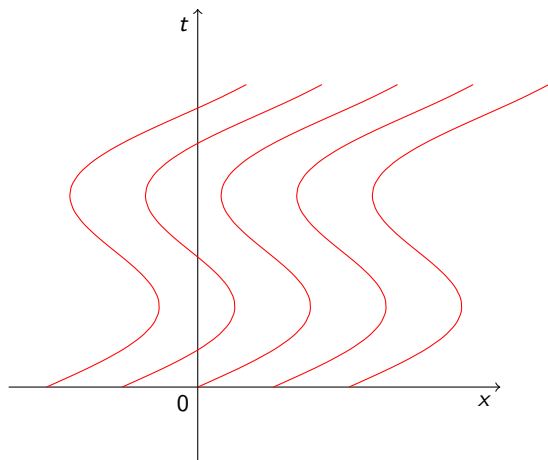


Remarques :

- ▶ Les **courbes caractéristiques** sont les **lignes de champ** associées au champ de vitesse  $v(x, t)$
- ▶ Les **courbes caractéristiques** sont les **courbes de niveau** de la solution  $u$  sur  $\mathbb{R} \times [0, T]$ .

## Discrétisation de l'équation de transport

Cas vitesse non constante,  $a = 0$  et  $f = 0$

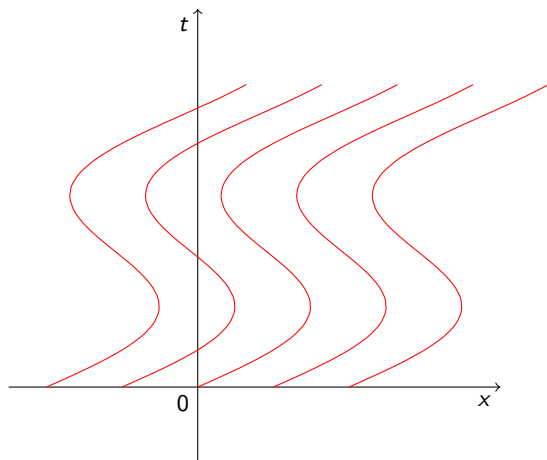


### Remarques :

- ▶ Les **courbes caractéristiques** sont les **lignes de champ** associées au champ de vitesse  $v(x, t)$
- ▶ Les **courbes caractéristiques** sont les **courbes de niveau** de la solution  $u$  sur  $\mathbb{R} \times [0, T]$ .
- ▶ Les courbes caractéristiques recouvrent le domaine d'espace/temps  $\mathbb{R} \times [0, T]$

## Discrétisation de l'équation de transport

Cas vitesse non constante,  $a = 0$  et  $f = 0$



### Remarques :

- ▶ Les **courbes caractéristiques** sont les **lignes de champ** associées au champ de vitesse  $v(x, t)$
- ▶ Les **courbes caractéristiques** sont les **courbes de niveau** de la solution  $u$  sur  $\mathbb{R} \times [0, T]$ .
- ▶ Les courbes caractéristiques recouvrent le domaine d'espace/temps  $\mathbb{R} \times [0, T]$
- ▶ Si on connaît la solution  $u$  pour  $t = 0$  alors on la connaît en tout temps.

# Discrétisation de l'équation de transport

## Méthodologie

Pour résoudre le problème

$$(T) \quad \begin{cases} \partial_t u + v \partial_x u = 0, & \text{sur } \mathbb{R} \times [0, T], \\ u(x, 0) = u_0(x), & \forall x \in \mathbb{R}. \end{cases}$$

par la méthode des caractéristiques, on procède comme suit.

# Discrétisation de l'équation de transport

## Méthodologie

Pour résoudre le problème

$$(T) \quad \begin{cases} \partial_t u + v \partial_x u = 0, & \text{sur } \mathbb{R} \times [0, T], \\ u(x, 0) = u_0(x), & \forall x \in \mathbb{R}. \end{cases}$$

par la méthode des caractéristiques, on procède comme suit.

- ▶ On choisit un point  $(x_0, t_0) \in \mathbb{R} \times [0, T]$ ,

# Discrétisation de l'équation de transport

## Méthodologie

Pour résoudre le problème

$$(T) \quad \begin{cases} \partial_t u + v \partial_x u = 0, & \text{sur } \mathbb{R} \times [0, T], \\ u(x, 0) = u_0(x), & \forall x \in \mathbb{R}. \end{cases}$$

par la méthode des caractéristiques, on procède comme suit.

- ▶ On choisit un point  $(x_0, t_0) \in \mathbb{R} \times [0, T]$ ,
- ▶ on identifie l'unique caractéristique  $X_{x_0, t_0}$  qui passe par  $(x_0, t_0)$ , unique solution du problème de Cauchy

$$(C_{x_0, t_0}) : \begin{cases} X'(t) = v(X(t), t), \\ X(t_0) = x_0. \end{cases}$$

# Discrétisation de l'équation de transport

## Méthodologie

Pour résoudre le problème

$$(T) \quad \begin{cases} \partial_t u + v \partial_x u = 0, & \text{sur } \mathbb{R} \times [0, T], \\ u(x, 0) = u_0(x), & \forall x \in \mathbb{R}. \end{cases}$$

par la méthode des caractéristiques, on procède comme suit.

- ▶ On choisit un point  $(x_0, t_0) \in \mathbb{R} \times [0, T]$ ,
- ▶ on identifie l'unique caractéristique  $X_{x_0, t_0}$  qui passe par  $(x_0, t_0)$ , unique solution du problème de Cauchy

$$(C_{x_0, t_0}) : \begin{cases} X'(t) = v(X(t), t), \\ X(t_0) = x_0. \end{cases}$$

- ▶ on évalue  $u$  à l'origine de cette caractéristique :  $u_0(X_{x_0, t_0}(0))$ ,



# Discrétisation de l'équation de transport

## Méthodologie

Pour résoudre le problème

$$(T) \quad \begin{cases} \partial_t u + v \partial_x u = 0, & \text{sur } \mathbb{R} \times [0, T], \\ u(x, 0) = u_0(x), & \forall x \in \mathbb{R}. \end{cases}$$

par la méthode des caractéristiques, on procède comme suit.

- ▶ On choisit un point  $(x_0, t_0) \in \mathbb{R} \times [0, T]$ ,
- ▶ on identifie l'unique caractéristique  $X_{x_0, t_0}$  qui passe par  $(x_0, t_0)$ , unique solution du problème de Cauchy

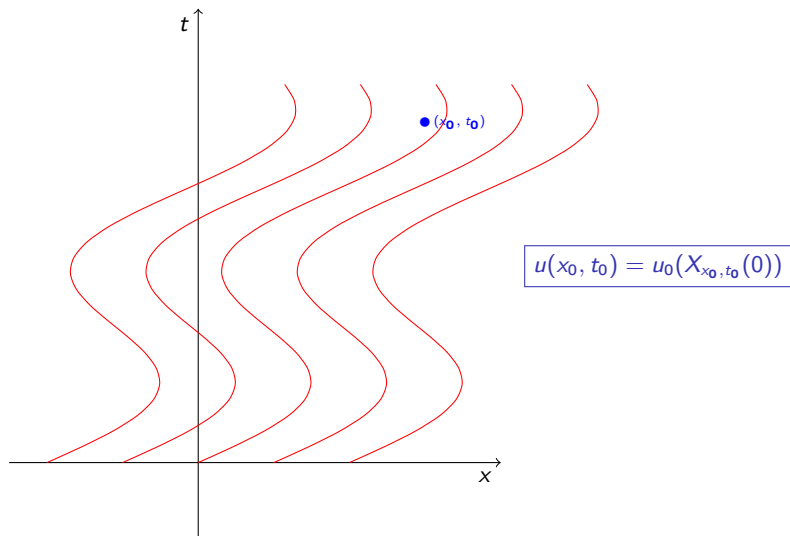
$$(C_{x_0, t_0}) : \begin{cases} X'(t) = v(X(t), t), \\ X(t_0) = x_0. \end{cases}$$

- ▶ on évalue  $u$  à l'origine de cette caractéristique :  $u_0(X_{x_0, t_0}(0))$ ,
- ▶ on reporte cette valeur au point  $(x_0, t_0)$  :

$$u(x_0, t_0) = u_0(X_{x_0, t_0}(0)).$$

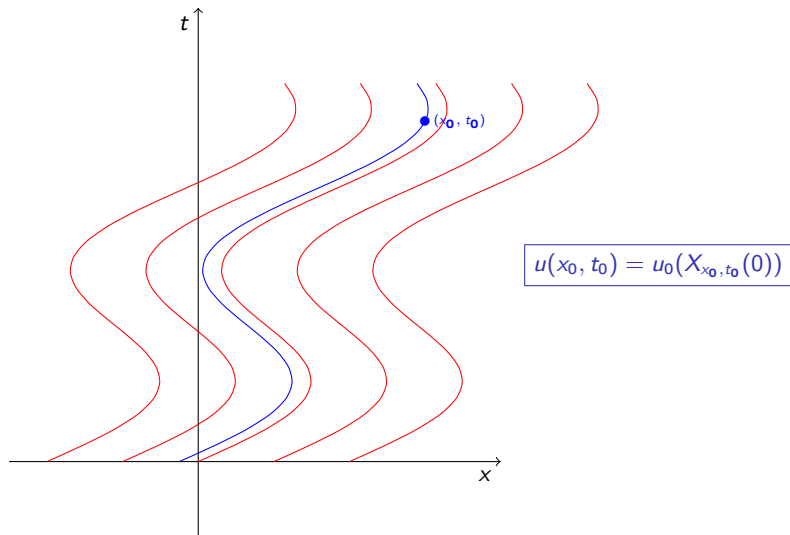
## Discrétisation de l'équation de transport

Cas vitesse non constante,  $a = 0$  et  $f = 0$



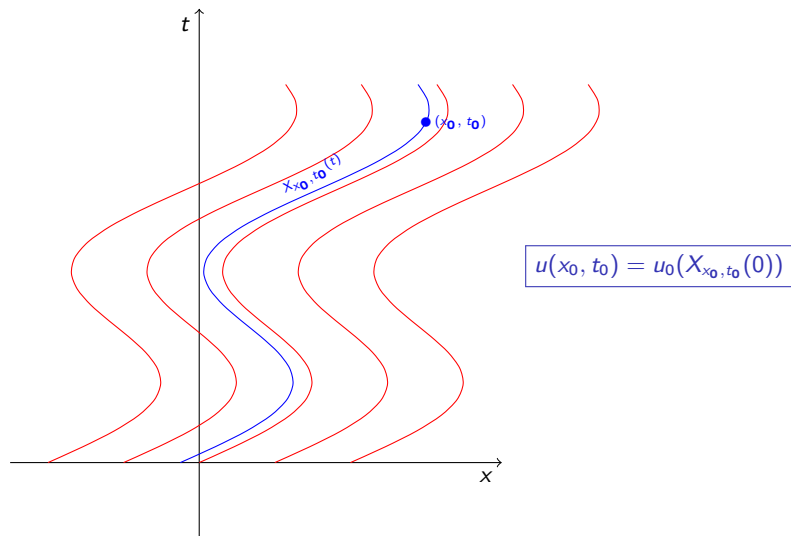
## Discrétisation de l'équation de transport

Cas vitesse non constante,  $a = 0$  et  $f = 0$



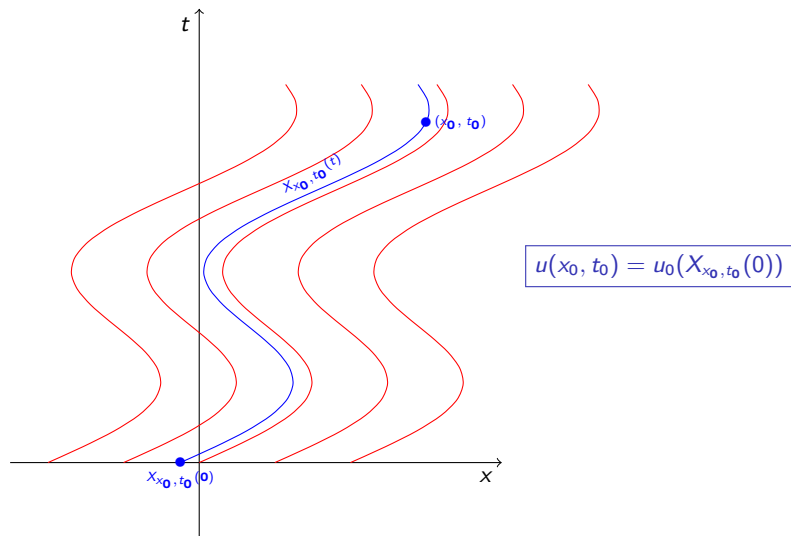
## Discrétisation de l'équation de transport

Cas vitesse non constante,  $a = 0$  et  $f = 0$



## Discrétisation de l'équation de transport

Cas vitesse non constante,  $a = 0$  et  $f = 0$



## Discrétisation de l'équation de transport

Cas général

$$(T) \quad \begin{cases} \partial_t u + v \partial_x u + au = f, & \text{sur } \mathbb{R} \times [0, T], \\ u(x, 0) = u_0(x), & \forall x \in \mathbb{R}. \end{cases}$$

avec  $v, a, f$  continue sur  $\mathbb{R} \times [0, T]$  et  $v$   $k$ -lipschitzienne en espace.

Les caractéristiques sont toujours définies comme les solutions de

$$X'(t) = v(X(t), t).$$

## Discrétisation de l'équation de transport

Cas général

$$(T) \quad \begin{cases} \partial_t u + v \partial_x u + au = f, & \text{sur } \mathbb{R} \times [0, T], \\ u(x, 0) = u_0(x), & \forall x \in \mathbb{R}. \end{cases}$$

avec  $v, a, f$  continue sur  $\mathbb{R} \times [0, T]$  et  $v$   $k$ -lipschitzienne en espace.

Les caractéristiques sont toujours définies comme les solutions de

$$X'(t) = v(X(t), t).$$

**Difficulté :** Cette fois, la solution  $u$  n'est plus constante sur les caractéristiques.

Posons  $\varphi(t) = u(X(t), t)$ , on a

$$\begin{aligned} \varphi'(t) &= \partial_x u(X(t), t)X'(t) + \partial_t u(X(t), t) \\ &= (v \partial_x u + \partial_t u)(X(t), t) \\ &= f(X(t), t) - a(X(t), t)u(X(t), t) \\ &= f(X(t), t) - a(X(t), t)\varphi(t) \end{aligned}$$

Ainsi  $\varphi$  est solution d'un EDO linéaire et n'est pas constante en général.

# Discrétisation de l'équation de transport

## Cas général

**Proposition.** Soient  $v$  continue et  $k$ -lipschitzienne en espace,  $a, f$  continues et  $u_0$  de classe  $\mathcal{C}^1$ . Le problème de transport

$$(T) \quad \begin{cases} \partial_t u + v \partial_x u + a u = f, & \text{sur } \mathbb{R} \times [0, T], \\ u(x, 0) = u_0(x), & \forall x \in \mathbb{R}. \end{cases}$$

admet une unique solution  $u \in \mathcal{C}^1(\mathbb{R} \times [0, T])$ .



# Discrétisation de l'équation de transport

## Cas général

**Proposition.** Soient  $v$  continue et  $k$ -lipschitzienne en espace,  $a, f$  continues et  $u_0$  de classe  $\mathcal{C}^1$ . Le problème de transport

$$(T) \quad \begin{cases} \partial_t u + v \partial_x u + a u = f, & \text{sur } \mathbb{R} \times [0, T], \\ u(x, 0) = u_0(x), & \forall x \in \mathbb{R}. \end{cases}$$

admet une unique solution  $u \in \mathcal{C}^1(\mathbb{R} \times [0, T])$ .

**Preuve d'unicité (constructive) :** Supposons qu'il existe une solution. Soit  $(x_0, t_0) \in \mathbb{R} \times [0, T]$ , on va calculer  $u(x_0, t_0)$ . Considérons la caractéristique  $X_{x_0, t_0}$ , elle vérifie  $X_{x_0, t_0}(t_0) = x_0$ . Posons maintenant  $\varphi_{x_0, t_0}(t) = u(X_{x_0, t_0}(t), t)$ . D'après le calcul précédent, c'est l'unique solution du problème de Cauchy

$$\begin{cases} \varphi_{x_0, t_0}(t) = f(X_{x_0, t_0}(t), t) - a(X_{x_0, t_0}(t), t) \varphi_{x_0, t_0}(t) \\ \varphi_{x_0, t_0}(0) = u_0(X_{x_0, t_0}(0)). \end{cases}$$

Cette EDO est linéaire donc  $\varphi_{x_0, t_0}$  existe et est unique. Elle est entièrement déterminée par  $f, a, u_0$  et  $X_{x_0, t_0}$  et on a  $u(x_0, t_0) = \varphi_{x_0, t_0}(t_0)$ .

# Méthode des différences finies

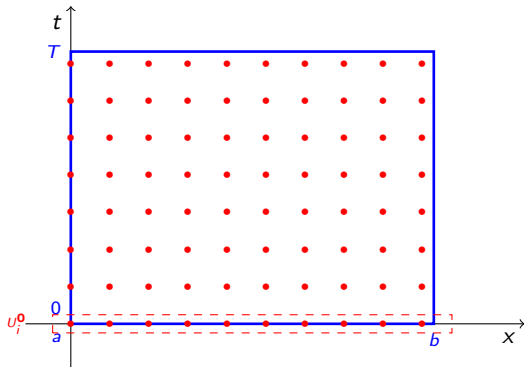
# Discrétisation de l'équation de transport

## Méthode des différences finies

**Problème :** La méthode des caractéristiques est très coûteuse s'il on veut connaître la solution  $u$  sur un domaine large. Il faut résoudre un très grand nombre d'EDO.

**Autre méthode :** La méthode des différences finies consiste à calculer directement des approximations notés  $U_i^n$  de  $u$  sur les points de la grille  $(x_i, t_n)$  par récurrence sur  $n$ .

- ▶ Les valeurs  $U_i^0$  sont définies par la condition initiale :  $U_i^0 = u_0(x_i)$
- ▶ Les valeurs  $U_i^1$  sont calculées à partir des valeurs  $U_i^0$
- ▶ Les valeurs  $U_i^2$  sont calculées à partir des valeurs  $U_i^1$
- ▶ ...



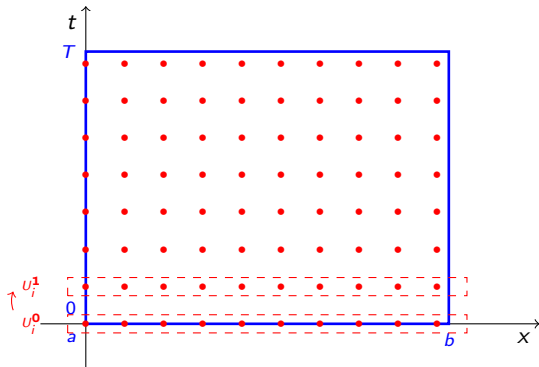
# Discrétisation de l'équation de transport

## Méthode des différences finies

**Problème :** La méthode des caractéristiques est très coûteuse s'il on veut connaître la solution  $u$  sur un domaine large. Il faut résoudre un très grand nombre d'EDO.

**Autre méthode :** La méthode des différences finies consiste à calculer directement des approximations notés  $U_i^n$  de  $u$  sur les points de la grille  $(x_i, t_n)$  par récurrence sur  $n$ .

- ▶ Les valeurs  $U_i^0$  sont définies par la condition initiale :  $U_i^0 = u_0(x_i)$
- ▶ Les valeurs  $U_i^1$  sont calculées à partir des valeurs  $U_i^0$
- ▶ Les valeurs  $U_i^2$  sont calculées à partir des valeurs  $U_i^1$
- ▶ ...



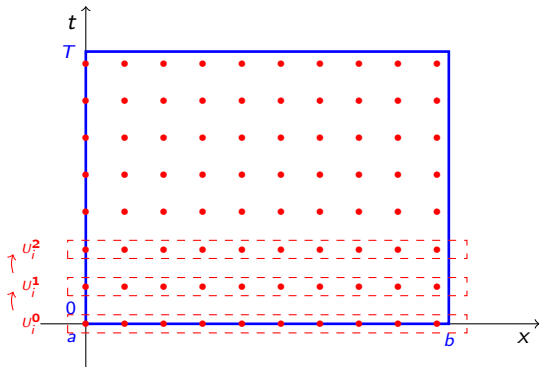
# Discrétisation de l'équation de transport

## Méthode des différences finies

**Problème :** La méthode des caractéristiques est très coûteuse s'il on veut connaître la solution  $u$  sur un domaine large. Il faut résoudre un très grand nombre d'EDO.

**Autre méthode :** La méthode des différences finies consiste à calculer directement des approximations notés  $U_i^n$  de  $u$  sur les points de la grille  $(x_i, t_n)$  par récurrence sur  $n$ .

- ▶ Les valeurs  $U_i^0$  sont définies par la condition initiale :  $U_i^0 = u_0(x_i)$
- ▶ Les valeurs  $U_i^1$  sont calculées à partir des valeurs  $U_i^0$
- ▶ Les valeurs  $U_i^2$  sont calculées à partir des valeurs  $U_i^1$
- ▶ ...



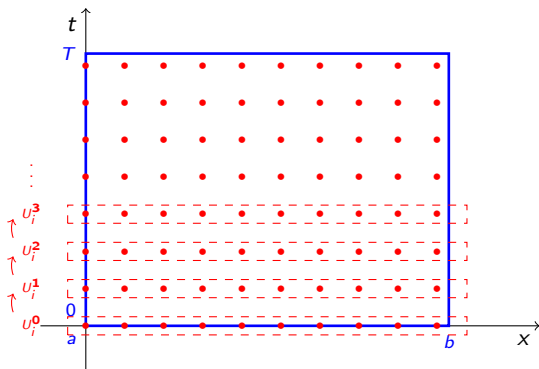
# Discrétisation de l'équation de transport

## Méthode des différences finies

**Problème :** La méthode des caractéristiques est très coûteuse s'il on veut connaître la solution  $u$  sur un domaine large. Il faut résoudre un très grand nombre d'EDO.

**Autre méthode :** La méthode des différences finies consiste à calculer directement des approximations notés  $U_i^n$  de  $u$  sur les points de la grille  $(x_i, t_n)$  par récurrence sur  $n$ .

- ▶ Les valeurs  $U_i^0$  sont définies par la condition initiale :  $U_i^0 = u_0(x_i)$
- ▶ Les valeurs  $U_i^1$  sont calculées à partir des valeurs  $U_i^0$
- ▶ Les valeurs  $U_i^2$  sont calculées à partir des valeurs  $U_i^1$
- ▶ ...



## Discrétisation de l'équation de transport

### Schéma numérique

On fixe  $\Delta x > 0$  et  $\Delta t > 0$  et on discrétise le rectangle d'espace-temps par

$$x_i = a + (i - 1)\Delta x, \quad 1 \leq i \leq N_x, \quad t_n = n\Delta t, \quad 0 \leq n \leq N_t.$$

avec  $N_x = \frac{(b-a)}{\Delta x} + 1$  et  $N_t = \frac{T}{\Delta t}$ .

## Discrétisation de l'équation de transport

### Schéma numérique

On fixe  $\Delta x > 0$  et  $\Delta t > 0$  et on discrétise le rectangle d'espace-temps par

$$x_i = a + (i - 1)\Delta x, \quad 1 \leq i \leq N_x, \quad t_n = n\Delta t, \quad 0 \leq n \leq N_t.$$

avec  $N_x = \frac{(b-a)}{\Delta x} + 1$  et  $N_t = \frac{T}{\Delta t}$ .

**Définition.** Un schéma numérique est une relation (homogène à  $\partial_t u$ ) portant sur les coefficients de  $(U_i^n)$  de la forme

$$G_{\Delta x, \Delta t} \left( (U^{n+1})_{i=1}^{N_x}, (U^n)_{i=1}^{N_x} \right) = 0, \quad 0 \leq n \leq N_t,$$

permettant de calculer ces coefficients par récurrence sur les points de la grille  $(t_n, x_i)$  à partir de la donnée initiale

$$U_i^0 = u_0(x_i), \quad 1 \leq i \leq N_x.$$



# Discrétisation de l'équation de transport

## Schéma numérique, exemple

Afin de discrétiser le problème

$$(\mathcal{T}) \quad \begin{cases} \partial_t u + c \partial_x u = 0, & \text{sur } \mathbb{R} \times [0, T], \\ u(x, 0) = u_0(x), & \forall x \in \mathbb{R}. \end{cases}$$

un exemple simple est le schéma explicite décentré à droite (ED) donné par

$$(\text{ED}) \quad \frac{U_i^{n+1} - U_i^n}{\Delta t} + c \frac{U_{i+1}^n - U_i^n}{\Delta x} = 0.$$

On peut le réécrire

$$U_i^{n+1} = U_i^n + \beta(U_i^n - U_{i+1}^n),$$

avec  $\beta = \frac{c\Delta t}{\Delta x}$ .

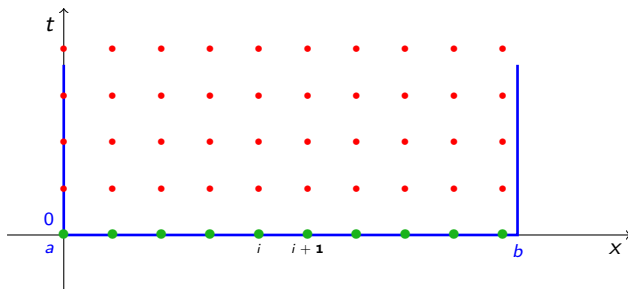
# Discrétisation de l'équation de transport

## Schéma numérique, exemple

Grâce à la formule

$$U_i^{n+1} = U_i^n + \beta(U_i^n - U_{i+1}^n),$$

on peut calculer une partie des coefficients



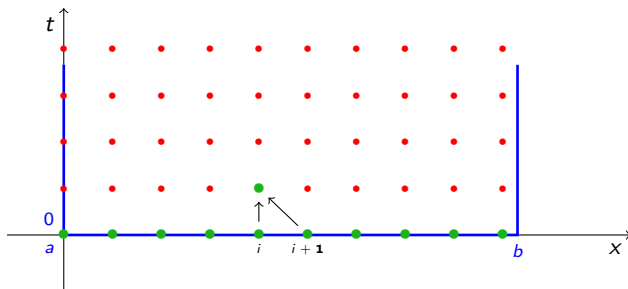
# Discrétisation de l'équation de transport

## Schéma numérique, exemple

Grâce à la formule

$$U_i^{n+1} = U_i^n + \beta(U_i^n - U_{i+1}^n),$$

on peut calculer une partie des coefficients



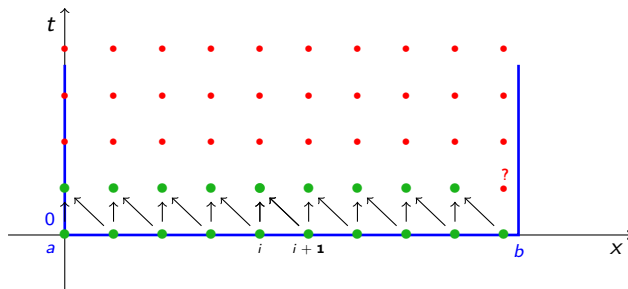
# Discrétisation de l'équation de transport

## Schéma numérique, exemple

Grâce à la formule

$$U_i^{n+1} = U_i^n + \beta(U_i^n - U_{i+1}^n),$$

on peut calculer une partie des coefficients



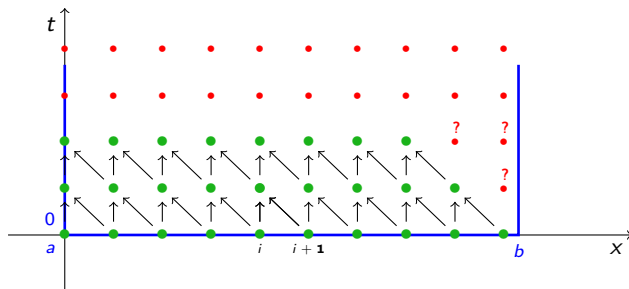
# Discrétisation de l'équation de transport

## Schéma numérique, exemple

Grâce à la formule

$$U_i^{n+1} = U_i^n + \beta(U_i^n - U_{i+1}^n),$$

on peut calculer une partie des coefficients



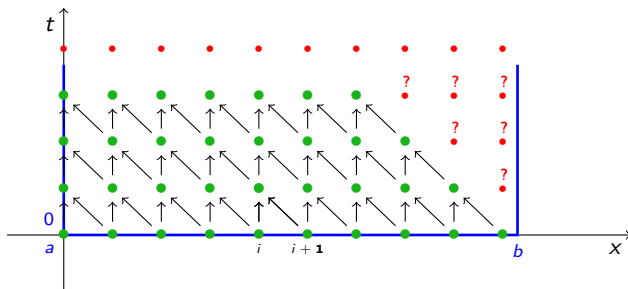
# Discrétisation de l'équation de transport

## Schéma numérique, exemple

Grâce à la formule

$$U_i^{n+1} = U_i^n + \beta(U_i^n - U_{i+1}^n),$$

on peut calculer une partie des coefficients



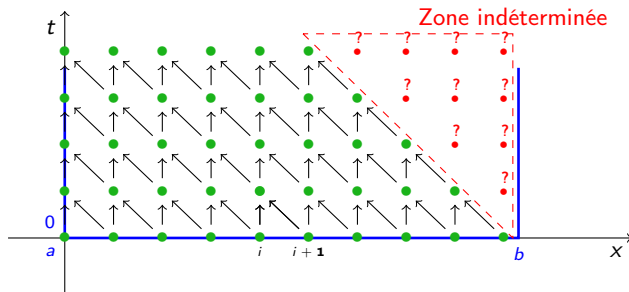
# Discrétisation de l'équation de transport

## Schéma numérique, exemple

Grâce à la formule

$$U_i^{n+1} = U_i^n + \beta(U_i^n - U_{i+1}^n),$$

on peut calculer une partie des coefficients



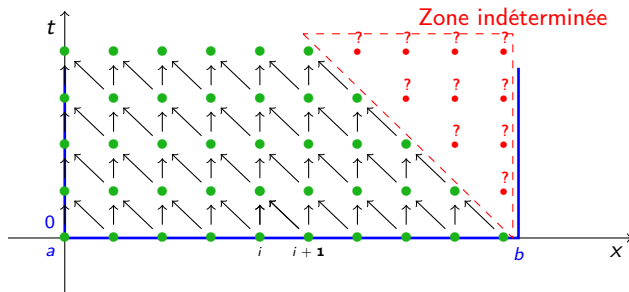
# Discrétisation de l'équation de transport

## Schéma numérique, exemple

Grâce à la formule

$$U_i^{n+1} = U_i^n + \beta(U_i^n - U_{i+1}^n),$$

on peut calculer une partie des coefficients



Pour gérer la zone indéterminée, on ajoute un condition sur le bord :  $U_{N_x}^n = 0$ .



## Discrétisation de l'équation de transport

### Schéma numérique : écriture matricielle

Il faut résoudre  $N_x$  équations pour passer des lignes  $n$  à  $n + 1$  :

$$\begin{cases} U_i^{n+1} = U_i^n + \beta(U_i^n - U_{i+1}^n), & \forall i \in \{1, \dots, N_x - 1\}, \\ U_{N_x}^{n+1} = U_{N_x}^n + \beta U_{N_x}^n, \end{cases}$$

on calcule matriciellement tout les  $(U_i^{n+1})_{i=1}^{N_x}$  d'un coup à chaque itération.

## Discrétisation de l'équation de transport

### Schéma numérique : écriture matricielle

Il faut résoudre  $N_x$  équations pour passer des lignes  $n$  à  $n + 1$  :

$$\begin{cases} U_i^{n+1} = U_i^n + \beta(U_i^n - U_{i+1}^n), & \forall i \in \{1, \dots, N_x - 1\}, \\ U_{N_x}^{n+1} = U_{N_x}^n + \beta U_{N_x}^n, \end{cases}$$

on calcule matriciellement tout les  $(U_i^{n+1})_{i=1}^{N_x}$  d'un coup à chaque itération. Posons  $U^n = (U_i^{n+1})_{i=1}^{N_x}$  et définissons

$$\mathcal{D} := \begin{bmatrix} 1 & -1 & & & \\ & \ddots & \ddots & & \\ & & \ddots & \ddots & \\ & & & \ddots & -1 \\ & & & & 1 \end{bmatrix} \in \mathcal{M}_{N_x}(\mathbb{R}),$$

## Discrétisation de l'équation de transport

### Schéma numérique : écriture matricielle

Il faut résoudre  $N_x$  équations pour passer des lignes  $n$  à  $n + 1$  :

$$\begin{cases} U_i^{n+1} = U_i^n + \beta(U_i^n - U_{i+1}^n), & \forall i \in \{1, \dots, N_x - 1\}, \\ U_{N_x}^{n+1} = U_{N_x}^n + \beta U_{N_x}^n, \end{cases}$$

on calcule matriciellement tout les  $(U_i^{n+1})_{i=1}^{N_x}$  d'un coup à chaque itération. Posons  $U^n = (U_i^{n+1})_{i=1}^{N_x}$  et définissons

$$\mathcal{D} := \begin{bmatrix} 1 & -1 & & & \\ & \ddots & \ddots & & \\ & & \ddots & \ddots & \\ & & & \ddots & -1 \\ & & & & 1 \end{bmatrix} \in \mathcal{M}_{N_x}(\mathbb{R}),$$

on obtient la suite de vecteurs par récurrence :

$$\begin{cases} U^{n+1} = (\mathcal{I} + \beta \mathcal{D})U^n, \\ U^0 = (u_0(x_i))_{i=1}^{N_x}. \end{cases}$$



**Remarque** la matrice  $\mathcal{A} := \mathcal{I} + \beta \mathcal{D}$  est appelé matrice d'itération du schéma.

## Discrétisation de l'équation de transport

Schéma numérique : constance stabilité et convergence

Pour mesurer la performance d'un schéma numérique pour résoudre une EDP donnée on introduit les même notions que pour l'approximation des EDO :

## Discrétisation de l'équation de transport

### Schéma numérique : constance stabilité et convergence

Pour mesurer la performance d'un schéma numérique pour résoudre une EDP donnée on introduit les même notions que pour l'approximation des EDO :

- ▶ **L'erreur de consistance** est l'erreur commise par le schéma à chaque pas d'espace et de temps par rapport à la solution exacte.

## Discrétisation de l'équation de transport

### Schéma numérique : constance stabilité et convergence

Pour mesurer la performance d'un schéma numérique pour résoudre une EDP donnée on introduit les mêmes notions que pour l'approximation des EDO :

- ▶ L'**erreur de consistance** est l'erreur commise par le schéma à chaque pas d'espace et de temps par rapport à la solution exacte.
- ▶ La **stabilité** contrôle la propagation des erreurs quand  $n$  varie.

## Discrétisation de l'équation de transport

### Schéma numérique : constance stabilité et convergence

Pour mesurer la performance d'un schéma numérique pour résoudre une EDP donnée on introduit les mêmes notions que pour l'approximation des EDO :

- ▶ **L'erreur de consistance** est l'erreur commise par le schéma à chaque pas d'espace et de temps par rapport à la solution exacte.
- ▶ **La stabilité** contrôle la propagation des erreurs quand  $n$  varie.
- ▶ **La convergence** est encore la conséquence de la consistance et de la stabilité. Il s'agit de la convergence vers zéro de l'erreur entre la solution du schéma et les valeurs exactes :  $|U_i^n - u(t_n, x_i)| \rightarrow 0$  uniformément en  $i$  et en  $n$ .

## Discrétisation de l'équation de transport

### Schéma numérique

On note  $u$  la solution exacte de l'EDP et  $G_{\Delta x, \Delta t}$  un schéma numérique.

**Définition.** L'erreur de consistance est donnée par

$$\varepsilon_i^n = G_{\Delta x, \Delta t}(u(x_i, t_{n+1})_{i=1}^{N_x}, u(x_i, t_n)_{i=1}^{N_x}).$$



## Discrétisation de l'équation de transport

### Schéma numérique

On note  $u$  la solution exacte de l'EDP et  $G_{\Delta x, \Delta t}$  un schéma numérique.

**Définition.** L'erreur de consistance est donnée par

$$\varepsilon_i^n = G_{\Delta x, \Delta t}(u(x_i, t_{n+1})_{i=1}^{N_x}, u(x_i, t_n)_{i=1}^{N_x}).$$

**Exemple :** Pour le schéma (ED), l'erreur de consistance est

$$\varepsilon_i^n = \frac{u(x_i, t_{n+1}) - u(x_i, t_n)}{\Delta t} + c \frac{u(x_{i+1}, t_n) - u(x_i, t_n)}{\Delta x}.$$

## Discrétisation de l'équation de transport

### Schéma numérique

On note  $u$  la solution exacte de l'EDP et  $G_{\Delta x, \Delta t}$  un schéma numérique.

**Définition.** L'erreur de consistance est donnée par

$$\varepsilon_i^n = G_{\Delta x, \Delta t}(u(x_i, t_{n+1})_{i=1}^{N_x}, u(x_i, t_n)_{i=1}^{N_x}).$$

**Exemple :** Pour le schéma (ED), l'erreur de consistance est

$$\varepsilon_i^n = \frac{u(x_i, t_{n+1}) - u(x_i, t_n)}{\Delta t} + c \frac{u(x_{i+1}, t_n) - u(x_i, t_n)}{\Delta x}.$$

**Définition.** Le schéma est consistant si

$$\max_{\substack{0 \leq i \leq N_x \\ 0 \leq n \leq N_t}} |\varepsilon_i^n| \rightarrow 0 \quad \text{quand} \quad (\Delta x, \Delta t) \rightarrow 0.$$

## Discrétisation de l'équation de transport

### Schéma numérique

On note  $u$  la solution exacte de l'EDP et  $G_{\Delta x, \Delta t}$  un schéma numérique.

**Définition.** L'erreur de consistance est donnée par

$$\varepsilon_i^n = G_{\Delta x, \Delta t}(u(x_i, t_{n+1})_{i=1}^{N_x}, u(x_i, t_n)_{i=1}^{N_x}).$$

**Exemple :** Pour le schéma (ED), l'erreur de consistance est

$$\varepsilon_i^n = \frac{u(x_i, t_{n+1}) - u(x_i, t_n)}{\Delta t} + c \frac{u(x_{i+1}, t_n) - u(x_i, t_n)}{\Delta x}.$$

**Définition.** Le schéma est consistant si

$$\max_{\substack{0 \leq i \leq N_x \\ 0 \leq n \leq N_t}} |\varepsilon_i^n| \rightarrow 0 \quad \text{quand} \quad (\Delta x, \Delta t) \rightarrow 0.$$

le schéma est constant d'ordre  $p$  en temps et  $q$  en espace si

$$\max_{\substack{0 \leq i \leq N_x \\ 0 \leq n \leq N_t}} |\varepsilon_i^n| = \mathcal{O}(\Delta t^p + \Delta x^q).$$

## Discrétisation de l'équation de transport

### Consistance du schéma (ED)

**Exemple :** Le schéma (ED) est constant d'ordre 1 en espace et 1 en temps.

## Discrétisation de l'équation de transport

### Consistance du schéma (ED)

**Exemple :** Le schéma (ED) est constant d'ordre 1 en espace et 1 en temps.

**Preuve :** On développe l'erreur de consistance

$$\varepsilon_i^n = \frac{u(x_i, t_{n+1}) - u(x_i, t_n)}{\Delta t} + c \frac{u(x_{i+1}, t_n) - u(x_i, t_n)}{\Delta x}.$$

par des développements de Taylor,

$$u(x_i, t_{n+1}) = u(x_i, t_n) + \Delta t \partial_t u(x_i, t_n) + \mathcal{O}(\Delta t^2),$$

$$u(x_{i+1}, t_n) = u(x_i, t_n) + \Delta x \partial_x u(x_i, t_n) + \mathcal{O}(\Delta x^2),$$

Ainsi

$$\begin{aligned}\varepsilon_i^n &= \partial_t u(x_i, t_n) + \mathcal{O}(\Delta t) + c \partial_x u(x_i, t_n) + \mathcal{O}(\Delta x), \\ &= \mathcal{O}(\Delta t + \Delta x).\end{aligned}$$

□

# Discrétisation de l'équation de transport

## Stabilité 1

Pour un schéma quelconque écrit sous la forme matricielle

$$(\mathcal{S}) \quad \begin{cases} U^{n+1} = \mathcal{A}U^n, \\ U^0 \in \mathbb{R}^{N_x}, \end{cases}$$

# Discrétisation de l'équation de transport

## Stabilité 1

Pour un schéma quelconque écrit sous la forme matricielle

$$(\mathcal{S}) \quad \begin{cases} U^{n+1} = \mathcal{A}U^n, \\ U^0 \in \mathbb{R}^{N_x}, \end{cases}$$

On perturbe le schéma par une suite d'erreurs  $\mu^n \in \mathbb{R}^{N_x}$  :

$$(\mathcal{S}_{\text{pert}}) \quad \begin{cases} V^{n+1} = \mathcal{A}V^n + \mu^n, \\ V^0 = U^0. \end{cases}$$

# Discrétisation de l'équation de transport

## Stabilité 1

Pour un schéma quelconque écrit sous la forme matricielle

$$(\mathcal{S}) \quad \begin{cases} U^{n+1} = \mathcal{A}U^n, \\ U^0 \in \mathbb{R}^{N_x}, \end{cases}$$

On perturbe le schéma par une suite d'erreurs  $\mu^n \in \mathbb{R}^{N_x}$  :

$$(\mathcal{S}_{\text{pert}}) \quad \begin{cases} V^{n+1} = \mathcal{A}V^n + \mu^n, \\ V^0 = U^0. \end{cases}$$

**Définition.** Le schéma  $(\mathcal{S})$  est stable pour la norme  $\infty$  s'il existe  $C > 0$  tel que pour toute perturbation  $\mu^n$  on a

$$\max_{0 \leq n \leq N_t} \|V^n - U^n\|_\infty \leq C \sum_{n=0}^{N_t-1} \|\mu^n\|_\infty.$$



# Discrétisation de l'équation de transport

## Stabilité 2

**proposition.** Si la matrice d'itération du  $\mathcal{A}$  du schéma vérifie  $\|\mathcal{A}\|_{\infty} \leq 1$ , alors le schéma est stable en norme  $\infty$ .

Preuve :

# Discrétisation de l'équation de transport

## Stabilité 2

**proposition.** Si la matrice d'itération du  $\mathcal{A}$  du schéma vérifie  $\|\mathcal{A}\|_\infty \leq 1$ , alors le schéma est stable en norme  $\infty$ .

**Preuve :** On écrit simplement par différence que

$$V^{n+1} - U^{n+1} = \mathcal{A}(V^n - U^n) + \mu^n.$$

Ainsi,

$$\begin{aligned} \|V^{n+1} - U^{n+1}\|_\infty &\leq \|\mathcal{A}(V^n - U^n)\|_\infty + \|\mu^n\|_\infty, \\ &\leq \|\mathcal{A}\|_\infty \|V^n - U^n\|_\infty + \|\mu^n\|_\infty, \\ &\leq \|V^n - U^n\|_\infty + \|\mu^n\|_\infty. \end{aligned}$$

En sommant, il vient que

$$\|V^n - U^n\|_\infty \leq \sum_{n=0}^{N_t-1} \|\mu^n\|_\infty, \quad \forall n \leq N_t.$$

□

## Discrétisation de l'équation de transport

### Stabilité et condition CFL

Le schéma (ED) s'écrit  $U^{n+1} = \mathcal{A}U^n$  avec  $\mathcal{A} = \mathcal{I} + \beta\mathcal{D}$ .

**Question** : Peut-on contrôler  $\|\mathcal{A}\|_\infty$  ?

## Discrétisation de l'équation de transport

### Stabilité et condition CFL

Le schéma (ED) s'écrit  $U^{n+1} = \mathcal{A}U^n$  avec  $\mathcal{A} = \mathcal{I} + \beta\mathcal{D}$ .

**Question :** Peut-on contrôler  $\|\mathcal{A}\|_\infty$  ?

$$\mathcal{A} := \begin{bmatrix} 1 + \beta & -\beta & & & \\ & \ddots & \ddots & & \\ & & \ddots & \ddots & \\ & & & \ddots & -\beta \\ & & & & 1 + \beta \end{bmatrix}.$$

Ainsi  $\|\mathcal{A}\|_\infty = \max_i \sum_j |\mathcal{A}_{ij}| = |1 + \beta| + |\beta|$ .

On vérifie alors aisément que  $|1 + \beta| + |\beta| \leq 1$  si et seulement si  $\beta \in [-1, 0]$ .

## Discrétisation de l'équation de transport

### Stabilité et condition CFL

Le schéma (ED) s'écrit  $U^{n+1} = \mathcal{A}U^n$  avec  $\mathcal{A} = \mathcal{I} + \beta\mathcal{D}$ .

**Question :** Peut-on contrôler  $\|\mathcal{A}\|_\infty$  ?

$$\mathcal{A} := \begin{bmatrix} 1 + \beta & -\beta & & & \\ & \ddots & \ddots & & \\ & & \ddots & \ddots & \\ & & & \ddots & -\beta \\ & & & & 1 + \beta \end{bmatrix}.$$

Ainsi  $\|\mathcal{A}\|_\infty = \max_i \sum_j |\mathcal{A}_{ij}| = |1 + \beta| + |\beta|$ .

On vérifie alors aisément que  $|1 + \beta| + |\beta| \leq 1$  si et seulement si  $\beta \in [-1, 0]$ .

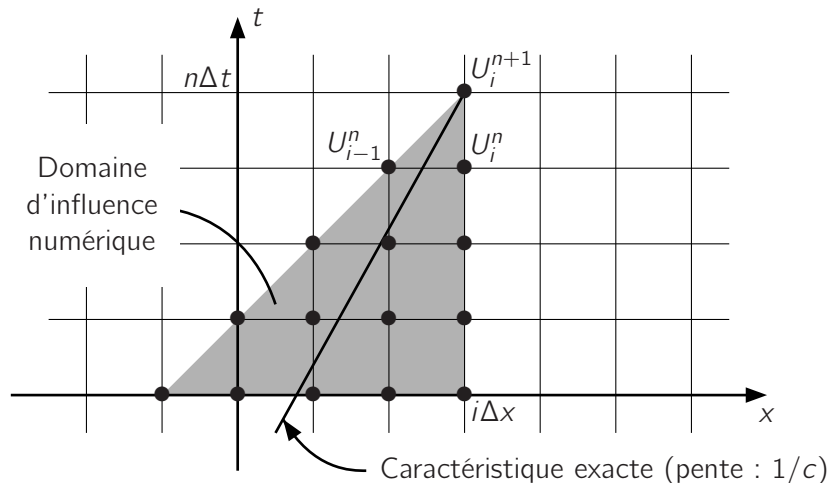
**Proposition.** Le schéma (ED) est stable si

$$-1 \leq \frac{c\Delta t}{\Delta x} \leq 0$$

Cette condition s'appelle condition CFL (Courant–Friedrichs–Lewy).

# Discrétisation de l'équation de transport

## Interprétation de la CFL



# Discrétisation de l'équation de transport

## Convergence

**Définition.** Le schéma  $(\mathcal{S})$  est convergent pour la norme  $\infty$  si

$$\max_{0 \leq n \leq N_t} \left\| (u(x_i, t_n))_{i=1}^{N_x} - U^n \right\|_{\infty} \rightarrow 0 \quad \text{quand} \quad (\Delta t, \Delta x) \rightarrow 0.$$

Si de plus on a

$$\max_{0 \leq n \leq N_t} \left\| (u(x_i, t_n))_{i=1}^{N_x} - U^n \right\|_{\infty} = \mathcal{O}(\Delta t^p + \Delta x^q).$$

le schéma est convergent d'ordre  $p$  en temps et  $q$  en espace pour la norme  $\infty$ .

# Discrétisation de l'équation de transport

## Convergence

**Définition.** Le schéma ( $\mathcal{S}$ ) est convergent pour la norme  $\infty$  si

$$\max_{0 \leq n \leq N_t} \left\| (u(x_i, t_n))_{i=1}^{N_x} - U^n \right\|_{\infty} \rightarrow 0 \quad \text{quand} \quad (\Delta t, \Delta x) \rightarrow 0.$$

Si de plus on a

$$\max_{0 \leq n \leq N_t} \left\| (u(x_i, t_n))_{i=1}^{N_x} - U^n \right\|_{\infty} = \mathcal{O}(\Delta t^p + \Delta x^q).$$

le schéma est convergent d'ordre  $p$  en temps et  $q$  en espace pour la norme  $\infty$ .

**Théorème. (Lax)** Consistance et Stabilité  $\Rightarrow$  convergence.



## Discrétisation de l'équation de transport

### Preuve de Lax pour (ED)

Preuve. pour le schéma

$$(ED) : \frac{U_i^{n+1} - U_i^n}{\Delta t} + c \frac{U_{i+1}^n - U_i^n}{\Delta x} = 0,$$

d'écriture matricielle  $U^{n+1} = \mathcal{A}U^n$  l'erreur de consistance est

$$\varepsilon_i^n = \frac{u(x_i, t_{n+1}) - u(x_i, t_n)}{\Delta t} + c \frac{u(x_{i+1}, t_n) - u(x_i, t_n)}{\Delta x}.$$

On pose  $V_i^n = u(t_n, x_i)$  qui vérifie le schéma perturbé

$$(ED_{\text{pert}}) : \frac{V_i^{n+1} - V_i^n}{\Delta t} + c \frac{V_{i+1}^n - V_i^n}{\Delta x} = \varepsilon_i^n,$$

d'écriture matricielle  $V^{n+1} = \mathcal{A}V^n + \Delta t \varepsilon^n$  avec  $\varepsilon^n = (\varepsilon_i^n)_{i=1}^{N_x}$ . On utilise la stabilité du schéma :

$$\begin{aligned} \max_{0 \leq n \leq N_t} \|V^n - U^n\|_\infty &\leq C \Delta t \sum_{n=0}^{N_t-1} \|\varepsilon^n\|_\infty \leq C \Delta t N_t \max_{0 \leq n \leq N_t} \|\varepsilon^n\|_\infty, \\ &\leq CT \max_{0 \leq n \leq N_t} \|\varepsilon^n\|_\infty. \end{aligned}$$

On conclut en utilisant la consistance du schéma. □

## Discrétisation de l'équation de transport

### D'autres schémas

Le schéma décentré à droite requiert la CFL  $c \frac{\Delta t}{\Delta x} \in [-1, 0]$  (qui impose  $c < 0$ ).

## Discrétisation de l'équation de transport

### D'autres schémas

Le schéma décentré à droite requiert la CFL  $c \frac{\Delta t}{\Delta x} \in [-1, 0]$  (qui impose  $c < 0$ ).

- ▶ Le schéma décentré à gauche :

$$\frac{U_i^{n+1} - U_i^n}{\Delta t} + c \frac{U_i^n - U_{i-1}^n}{\Delta x} = 0.$$

est adapté au cas  $c > 0$ .

⇒ décentrement « amont ».

## Discrétisation de l'équation de transport

### D'autres schémas

Le schéma décentré à droite requiert la CFL  $c \frac{\Delta t}{\Delta x} \in [-1, 0]$  (qui impose  $c < 0$ ).

- ▶ Le schéma décentré à gauche :

$$\frac{U_i^{n+1} - U_i^n}{\Delta t} + c \frac{U_i^n - U_{i-1}^n}{\Delta x} = 0.$$

est adapté au cas  $c > 0$ .

⇒ décentrement « amont ».

- ▶ Que dire du schéma centré ?

$$\frac{U_i^{n+1} - U_i^n}{\Delta t} + c \frac{U_{i+1}^n - U_{i-1}^n}{2\Delta x} = 0.$$